

МИНИСТЕРСТВО ГЕОЛОГИИ СССР

МИНИСТЕРСТВО ГЕОЛОГИИ РСФСР

КРАСНОЯРСКОЕ ТЕРРИТОРИАЛЬНОЕ ГЕОЛОГИЧЕСКОЕ УПРАВЛЕНИЕ

Уч. № 060

30.3.2.9

ГЕОЛОГИЧЕСКАЯ
КАРТА СССР

МАСШТАБ 1:200 000

СЕРИЯ МИНУСИНСКАЯ

Лист № 46-ХХIII

Объяснительная записка

Составители: Е.А.Индейцев, Б.П.Зубкус, Н.А.Сапронов

Редактор А.А.Савельев

Утверждено филиалом Научно-редакционного совета ВСЕГЕИ
при СНИИГИМС 11 января 1966г., протокол № 1

ВВЕДЕНИЕ

Территория листа № 46-ХIII ограничена координатами $54^{\circ}00'$ — $53^{\circ}20'$, с.ш., $94^{\circ}00'$ — $95^{\circ}00'$, в.д. По административному делению она относится к Кургинскому району Красноярского края и только крайняя, юго-восточная часть площади входит в Тувинскую автономную республику.

Территория листа находилась в южной части Восточного Саяна, на стыке его с Западным Саяном и Тувинским нагорьем.

По характеру рельефа она представляет собой горную резко расположенную страну. На север возвышаются хребты Крижина, в центральной части Шандын, на юге Эргак-Таррак-Тайга. Максимальные отметки вершин 2209 (Базыниная), 2178 ("Эргак"), 1900 (Бука), 1796м (Козы). Относительные превышения достигают 900-1200м, а для большей части района колеблются в пределах 300-400м. Северные и южные склоны хребтов с глубоко врезанными троговыми долинами и многоступенчатыми карьерами. Отвесные стены скал возвышаются над зоной альпийских лугов и кедрового редколесья на высоту более 500м. Близ подножия и на склонах гольцы покрыты полями сплошных курумов. Северная и центральная части района представляют расчлененное среднегорье, с отметками 800-1400м. Вогороды характеризуются спокойными и слаженными формами рельефа, с отдельными разобщенными высотами. В пределах исследованной площади широко развиты формы древнего оледенения; сюда относится район Можарских, Шабуровских, Хайрзовских озер. Многочисленные древние троговые долины, спайки моренных гряд, эрозионные валуны, озера, бараньи лбы, потоизины выраживания.

Гидросеть района отличается значительной разветленностью.

Основной водной артерией является р.Казыр, текущая в центральной части района с востока на запад. Справа она принимает притоки Базбай, Ниж. и Мал.Кизат, Табрат, слева Рынчур, Чёт, Багру и Таят. На юге района в широтном направлении проходит р.Кандал, с притоками Таррак, Мал.Кандал, Шандын и др. Все реки носят горный характер с порогами, перекатами, каньонами и ущельями; на боковых притоках деревки золопод., отвесные каменные "пещки". В районе многочисленны озера вытачивания и подикуживания, каровые и ледниковые большого и малого размеров: Тиберкульские, Тагусукские, Трилатые, Хайдыковые, Тайменное и др. Нередко они расположены цепочками, имеют лишь узкие каменные перегородки и соединяются ручейками.

на северо-востоке рассматриваемой территории много болот - Табратские, Убинские и др.

Климат района континентальный, суровый, с продолжительной холдной зимой и коротким летом. Средняя температура января минус 22,5°, июля +19,2°, среднегодовое количество осадков колеблется от 597 до 921мм. Весь район, за исключением высокогорья, покрыт густой черной тайгой, с преобладанием хвойных деревьев. В экономическом отношении район несвоен. Самая удаленная и труднодоступная территория для края. Основное передвижение в летнее время осуществляется на лодках по р.Казыру и Тиберкульским озерам.

Начало геологических исследований на данной территории относится к периоду 1909-1913гг., когда Г.И.Стальнов провел маршрутные исследования в бассейнах рек Кизир и Казыр. Работы его остались непубликованными, за исключением заметки о современных ледниках Восточного Саяна.

В 1916г. нижнее течение р.Казыр посетил А.Н.Чураков. Он упоминает старые работы на золото по рекам Табрат, Базбай и в районе Можарских озер.

В 1926г. А.Я.Булынников (1929) провел площадную съемку в районе Можарских озер. Близи оз.Тиберкуль он выделил табратскую золотоносную толщу, кратко упомянул о золотоносности истоков р.Табрат и к.Гусевского.

С 1929 по 1931гг. А.Г.Володиным (1931) были проведены маршрутные геологические исследования в бассейнах рек Кизир и Казыра. Им впервые для района предложена стратиграфическая схема, где самыми древними отложениями считались кембрийские кристаллические известники и мраморы с фауной аргониев. Красноцветными песчаниками долона заканчивался сложный разрез отложений.

В 1933г. А.С.Митроцкий (1934) провел геологическую съем-

ку в верхнем течении р.Амыл и бассейне р.Кандал. В устье р.Эргак им найдены известники с фауной археопицита; выделены карбонатная, вулканогенная и территориальная толщи кембрия. Описаны каледонские инструменты типоразмеров и габбро-нориты.

В 1950г. в бассейне р.Казыр геологические исследования проводят геологи В.В.Барентилова, В.И.Ярошевич, Е.А.Шнейдер и др. Аэрофотосъемка была выработана схема стратиграфии, широко вошедшая в практику работ. Выделены базыбайская и казынская свиты покояния, карбонатная и вулканогенная свиты кембрия и эфузивная толща сибирской-девонской, разновозрастные магматические комплексы. Открыты Тасратское месторождение железа и Окунекское месторождение свинца.

В 1951-1952гг. в районе Окунекского месторождения проводились поисковые (Чайкин, 1952) и разведочные работы В.Г.Родионовым

В 1953г. группа геологов под руководством М.В.Соловьёвина работала на водоразделе Амыл и Казыра. Ими описаны отложения в стратиграфической схеме близкой к зал.Люсанская.

В 1955г. Эргакском и Булкинском массивах В.М.Поморицем (1956) проведены поиски хрома и титана.

В 1956г. по рекам Казыр, Мал.и Ниж.Кизат проведены маршруты

Д.И.Мусатовым, В.Н.Поморицкой и К.В.Боржильой (1959). Ими описаны отложения базыбайской, кумыкской и кембрийской свит. Краматор по долинам рек Ниж. и Мал.Кизату относены к балактиловской свите. Такими образом, до 1960г. никаких полных территорий листа, за исключением районов Эргакской и Булкинской интрузий, не была охвачена геологическими исследованиями и посуществу оставалась белым пятном.

В 1959-1961гг. в северо-западной части территории, на наиболее перспективных площадях (район Тиберкульских озер) геологическая съемка масштаба 1:50 000 проводили С.И.Шеломов (1962). Стратиграфическая схема, принятая автором близка к горной легенде карт среднего масштаба. Автором подробно описаны инструменты Базыбайского и Ольховского комплексов; выявлены рудоformationы магнетита. В геофизическом отношении лучше изучена северная половина территории листа. Двухдиапльная аэрофотосъемка и пневматическая съемка проведена в 1956г. А.В.Тарасовым и Н.А.Кильдюмом (1957). Открыто Таятское месторождение магнетита, базыбайская и Тиберкульская аномалии. В 1957г. детально магнитометрические работы на выявленных участках продолжены Б.И.Тареховым и М.И.Тимченко (1958).

В этом же году аэрофотоизометрическая съемка в южной части территории листа проведена Ю.А.Долиняром (1958). Выполнены гравиметрические и

радиоактивных аномалий, изученных В.Н.Князевой и Р.Г.Хановой (1959).

В 1960г. В.И.Бычковский и Л.М.Щуцк (1960) на территории Восточного Саяна проводили аэромагнитную съемку масштаба 1:200 000 и подтвердили аномалии на массивах Озердок и Базыбайском, оконтурена зона Кандатского разлома, составлена карта изодинам. В связи с проведением геологосъемочных исследований масштаба 1:50 000 в 1960-1964гг. соответствующие панноны листа покрывают-ся детальной магнитометрической и радиометрической съемками, проводимыми партиями Кордовской экспедиции (Б.И.Кудрявцев, Н.И.Минеев и др.).

Геолого-геодинамические исследования южной части района в 1962-1964гг. проводили Е.Н.Лира и В.Н.Гурьянов (1964). Выявленырудопоясления керамического сырья. В пределах Талынского и Тобратского месторождений магнетита геологоразведочные и детальные геодинамические исследования в 1960-1963гг. проводили партии под руководством Л.И.Канытина (1964), а тематическими исследованиями занимались Д.В.Калинин (1962), Т.В.Поляков и В.Н.Саменов.

В 1961-1963гг. Е.А.Шнейдер, Б.П.Эубкус, Н.Л.Сапронов и М.А.Елисов проводили геологическую съемку территории листа №46-ХIII в масштабе 1:200 000. Результаты этих работ изложены в настоящей записке. Несводки по индексам и частично по контурам ссоседними листами разрешены редактором.

СТРАТИГРАФИЯ

В геологическом строении территории листа №46-ХIII принимают участие докембрийские, кембрийские, условно ордовикские, силур-девонские, девонские и четвертичные отложения, основой для расчленения которых являлись фаунистические находки, определения абсолютного возраста, геохимическая корреляция, изучение физических констант, анализ спорово-пыльцевых комплексов, вскрытие и прослеживание контактов.

ПРОТОРОЗОЙ

НИЖНИЙ-СРЕДНИЙ ПРОТЕРОЗОЙ

Базальсы и сланцы ($Pt_{1-2} f_2$) представлены глубоко метаморфизованными отложениями слагающими кристаллический

фундамент — Базыбайский горстовой выступ. Эти образования развиты в бассейне р.Казыр и его притоков Базыбая, Ниж. и Мал.Китатов, Барезовой и Рыбной. Они состоят из гнейсов, кристаллических сланцев, амфиболитов, шпатитов и отдельных пачек мраморов. Базыбайский выступ со всех сторон отделен от других отложений тектоническими kontaktами. Внутренняя структура глыбы характеризуется наличием системы маленьких круго поставленных складок, осложненных плойчатостью и гофрировкой. Эти обстоятельства не позволяют с твердой уверенностью составить разрез санты.

Примерный склонный разрез базыбайской санты представляется в следующем виде (снизу):

1. Гнейсы кварцево-полевошпатовые гранатовые, мигматиты, плагиогнейсы и амфиболиты..... 700 м

2. Гнейсы плагиоклазовые и амфиболовые, биотитово-плагиоклавовые, кварцевые и биотитово-гранатовые амфиболиты..... 1100-1200"

3. Чародование плагиогнейсов и амфиболитов с горнозонами мраморов и кальцифиров..... 650-700"

4. Гнейсы кордиерито-ставролито-диспоровые, андалузитовые, очковые гранатовые и кристаллические сланцы двуслюдильные кварцево-актинолитовые 400"

5. Плагиогнейсы биотитово-плагиоклавовые, амфиболиты и кристаллические сланцы..... 500-600"

Мраморы пачки З неоднородные по мощности (от первых метров до десятков метров). В западной части выступа по р.Ниж.Китат мощность горизонта мраморов равна 370-450м. Этот горизонт субширотного профиля широких санитов сливается на 20км. К востоку мощность и число прослоев мраморов резко сокращается (р.Сухой Базыбай).

Общая мощность базальсской свиты равна 3350-3600м. При изучении метаморфических ассоциаций пород наблюдается сохранение однотипных минеральных комплексов на значительных площадях. Степень регионального метаморфизма определяется условиями амфиболитовой и гранулитовой фаций, что подтверждают сладующие минеральные ассоциации пород: биотит-гранат-энорт-кальцит, биотит-биотит-кальцит, листен-лабрадор-кальцит-кальцит-диопсид-кальцит, кварц-мусковит-гранат.

Процессы метаморфизма были многоэтапными. В первый прогрессивный этап метаморфизма протекал в условиях высокогемигравитационной амфиболитовой фации с частичным плавлением пород и образованием полей мигматитов и палингитовых гранитов. Для второго этапа характерно лировое развитие процессов диафтороза до зеленосланцевой

фации вблизи зон разломов, ограничивающих глыбу. Среди диафторитов сохраняются реликты глубоко метаморфизованных пород. Иногда интенсивные вторичные изменения в порфиробластических сланцах приводят к полному замещению граната и биотита хлоритом, но формируются порфиробласты оставаться.

Сопоставление разрезов, структур и литологического состава пород базыбайской, кувайской и коллинской свит, показывает отчетливые черты различия в порядке напластования и степени метаморфизма. Это позволяет решать вопрос о том, что породы базыбайской свиты регионально метаморфизованы в донижнекембрийское время. Геологические и петрологические выводы дополняются радиологическими исследованиями, проведеными в 1964 г. в лаборатории ДГЕД, под руководством Э.К.Лерлинга. По породам базыбайской глыбы имеется четыре определения: одно по биотиту и три по амфиболу (табл. I).

Таблица I

№ образца	Минерал	Кг/г	K^{40} г/г	$A^{40} \text{ см}^3/\text{г}$	A^{40} г/г	A^{40}/K^{40}	Возраст, млн. лет
I	Базальт	0,00248	$3,05 \cdot 10^{-7}$	$2,25 \cdot 10^{-5}$	$4,02 \cdot 10^{-8}$	0,133	1560
2	То же	0,00605	$7,38 \cdot 10^{-7}$	$4,72 \cdot 10^{-5}$	$8,37 \cdot 10^{-8}$	0,115	1410
3	"	0,00228	$2,78 \cdot 10^{-7}$	$6,64 \cdot 10^{-6}$	$1,19 \cdot 10^{-8}$	0,0428	651
4	Охи-						480

Примечание: 1 - амфиболовый гнейс, устье р. Баянбай (колл. Шнейдера); 2 - полевошпатовый амфиболит, р. Казыр (колл. Чайкина); 3 - амфиболовый сланец, р. Агтырая (колл. Савельева); 4 - биотит-гранатовый сланец, р. Казыр (колл. Конникова).

Цифры абсолютного возраста 1560 и 1410 млн. лет отвечают, очевидно, не региональному метаморфизму, а орогенному процессу. Осадконакопление происходило значительно ранее. Цифра по биотиту, равная 480 млн. лет, говорит о этапе калевонской орогении - палеозойском метаморфизме. Несоответствие значений возраста по слюдам и амфиболу, с разницей более миллиарда лет, связано очевидно с тем, что процессы диафторита базыбайской глыбы были низкотемпературными и не оказали существенного влияния на амфибол, а в остатке, вследствие омоложения тектонических структур, равновесие системы K/Ar было нарушено и первоначальный возраст его изменился.

По своему составу, устойчивым фациям метаморфизма, минеральным ассоциациям, петрографо-литологическим особенностям и радиологическим данным базыбайская свита относится к регионально метаморфизованным образованиям, имеющим возраст в пределах архей-нижнего протерозоя. По легенде возраст нижний-средний протерозой.

ВЕРХНИЙ ПРОТЕРОЗОЙ

Кувайская серия (Рт. 2) распространена в восточнее рек Кузьминки, Ниж. Китата, Хайдзакхи и Драмучики. В состав ее входит кварц-альбито-хлоритовые, альбито-эпилито-ектиномитовые, кварц-альбито-серцитовые, хлорито-серцито-кварцевые и другие парагенетические, мета- и аподиасзы, аполорфиры, прослои кремнистых сланцев. Отложения серии ограничены тектоническими продольными нарушениями на контакте с базыбайской свитой. Нижние горизонты кувайской серии отсутствуют. В изученных разрезах кувайская серия подразделяется на три пачки, имена следующий сводный стратиграфический разрез (снизу):

1. Сланцы кварц-эпилито-цизитовые, альбито-актинолитовые, кварц-альбито-серцитовые, кварц-альбито-серцито-альбитовые, амфибилизованные эфузивы. 1400-1500 м
2. Аполорфиры диасозовые и плагиоказовые, магматические массивные и рассланцованные прослои туфов, кремнистых и различных метаморфических сланцев. Характерно обогащение пород магнетитом (от 1-3 до 20%)... 700-800 "
3. Сланцы кварцово-серцитовые, серцито-альбито-кварцевые, карбонато-альбито-хлоритовые, хлорито-кварцевые, кварц-альбито-серцитовые 700 "

Общая мощность кувайской серии 2800-3000 м.

По составу исходных пород зеленые сланцы кувайской серии относятся к эфузивным и терригенным образованиям, преобразованным в результате метаморфизма эпилит-амфиболитовой и хлорито-сланцевой фации в парагенетические породы. Сланцы по терригенным породам представляют собой зеленые и зелено-серые интенсивно сплошные, только полосчатые породы. Количество отдельных минералов в различных частях разреза неостабильны, что приводит к обрывистому устройству разновидностей пород, уложеных в сводном разрезе.

Структуры пород осложняются, односторонними, односторонними, пологолитовыми, микрогранулитовыми и складчатыми. Оргосланцы обособлены из эфузивной основной массы и парагенетическими сланцами, мета- и аполорфирами (Рт. 1). Сланцы

массивные, реже миндалекаменные и сланцеваты, либо пластофи-
ровые, пластостигматированные и пластогликолитовые структуры. Зе-
лево-серое изменение настолько велико, что первоначальный состав
пород устанавливается лишь по реликтам. В зеленых сланцах по ту-
фогенным породам устанавливаются пластокристаллокластические
структуры, волнисто-сланцеватые и полосчатые текстуры. В разрезе
по р. Ниж.Китату в составе серии преобладают тонкоголосчатые, пло-
щадные, собранные в мелкие линейные складки парасланцы серого, зе-
лево-серого и зелено-цвета. Метадиабазы, кремнистые сланцы и
турбогенные породы встречаются в виде маломощных прислоев и линз.

В разрезах через гору Кузьмина, по рекам Канак, Дремчук и

на право берегах Казыра, севернее водомерного поста, в составе ку-

зайской серии увеличивается роль мата-, аподиабазов и метапирфи-

тов, хлоритовых сланцев по природно-литическим и туфогенным породам.

Появляются обильные, серые кремнистые сланцы мощностью от 1,0 до 10 м.

Местами находитесь частые чередования орто- и парасланцев. Для

эфузивных пород серии в районе горы Кузьмина характерны наличие

значительной вкрапленности магнетита, что обуславливает повышен-

ную магнитность пород. На водоразделе рек Ниж.Китат и Кузьмина

верхняя часть серии представлена сильно гофрированными тонкосло-

истыми серебристыми парасланцами. В среднем течении р. Дремушки

среди темно-серых и зелено-серых, сильно ожелезненных парасланцев

встречаются пачки метадиабазов мощностью 5-10 м.

Докембрийский возраст кузайской серии доказывается трансгрес-

сионными kontaktами с перекрывающей её нижней подсвитой колпинской

свиты.

О В С Я Н И К О В С К А Я С В И Т А ($Pt_3^{(o)}$)

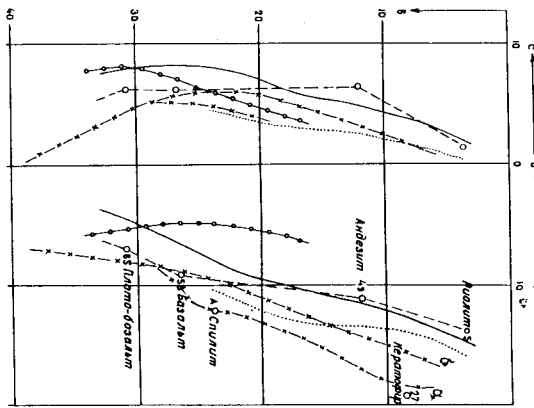
в бассейнах рек Мал. и Ниж.Китатов, Табарта, по р. Каэн, у Трид-
цатых и Бахтатских сел. Залегает свита согласно на породах ку-
зайской серии, несогласно перекрывается вулканогенными породами
нижнего кембрия. Нижние слои осянковской свиты устанавливаются в
разрезе по р. Мал.Китату и в левой вершине кл.Известняковово.

Свита состоит из известников, мраморов, доломитов, с прослои-
ми кремнистых и метаморфических сланцев. Известники имеют наиболе-
шее распространение. Они обильные, серые, темно-серые и черные, очень

часто пятнистые, почти всегда кристаллические от мелко- до средне-,
иногда крупнозернистых. Среди них часто встречаются брекчевые и
контгломератоморфные разности. Известники почти всегда битумино-
зные, грубо или тонкоглинистые, слоистые, содержит многочисленные
прокляшки белого и черного кальцита. В вершине р. Ниж.Китат, запад-
нее оз.Бахтат, у Моргашного и Центрального озер мощность антракони-
тического горизонта достигает 10 м.

Рис. I. Вариационная петрохимическая диаграмма вулканогенных
формаций верхнепротерозойского, кембрийского и девонского
веков.

Вариационные линии: 1 - средних типов эфузивов щелочнозе-
мельного ряда, по Р.Ээли (5, 27, 49, 58, 65 - номера фигуративных
точек по таблицам А.Н.Заваринского); 2 - средний состав спилита,
по Судикусу; 3 - эфузивных пород кузайской серии; 3 - эфузив-
ных пород нижнеколинской подсвиты (а - спилит-каратодорийский ряд,
б - базальт-андезитовый ряд); 4 - эфузивных пород имирской сви-
ты; 5 - эфузивных пород тонкой свиты



ров достигает 5-8м. брекчийидные известники встречаются на всех уровнях разреза, конгломератовидные известники тяготеют к верхним частям.

Конгломератовидные известники установлены по кн. Известниково-му, северо-западнее г. Освадок, по рекам Мал.Китат, Ник. и Верх. Тридатка. Составлены они из окатанных и полукатаанных обломков известника, мрамора, кремнистых пород, размер которых изменяется от 0,2 до 4 см и более. Цемент известковистый, от пльючного, погрового до базального. Почти во всех разрезах свиты встречаются пачки белых, серых мраморов и кремовых доломитов, мощность которых изменяется от 0,5 до 10м, иногда и больше. Сланцы имеют полчищное развитие, мощность их изменяется от 1,0 до 5-10м. Построенству это известковистые, известково-глинистые, кремнистые, филлитовые, хлоритовые и кварцево-хлоритовые разности.

Наиболее деятельно разрез свиты изучен по р. Мал.Китат, в 40м выше клича Попова (снизу):

1. Известники серые массивные с прослоями хлоритовых и филлитовидных сланцев, мощностью 2-3м, в верхней части пачки	100 м
2. Задерновано.....	100 "
3. Пересяживание светло-серых и черных известников	185 "
4. Сланцы глинистые филлитовидные (через залегро-ванный интервал в 50м)	5 "

5. Известники водорослевые в пересяживании с конгломератовидными и брекчийидными. В брекчийидных раз-

ностях отмечается повышенное содержание фосфора..... 20 "

6. Доломиты белые и кремовые, массивные 100 "

7. Известники темно-серые и черные, мелко- и сред-неэзернистые пересяжившиеся с птилистыми известниками

8. Через 350м идет пересяживание белых и светло-серых кристаллических и брекчийидных известниковых (через задернованный интервал 350м)

9. Известники темно-серые, черные, мелкоэзернистые слоистые

10. Известники светло-серые, четкослоистые, птичательные

11. Пересяживание грубоплитчатых, темно-серых извест-

ников с тонкоплитчатыми светло-серыми известниками.... 230 "

12. Известники черные с прослоями глинистых сланцев (через задернованный интервал в 150м)

13. Пересяживание темно-серых мелкоэзернистых извест-

ников со светло-серыми, белыми известниками..... 300 "

14. Известники темно-серые, мелкоэзернистые и мас-сивные пересяжившиеся со светлыми разностями 380 м

Мощность осянковской свиты 300м. Еще по разрезу несогласно залегают эфузивные породы нижнего камбрия.

На площади листа осянковская свита обладает выраженным литологическим составом. Неизменные фацальные изменения ее выражаются в увеличении или уменьшении роли мраморов, доломитов и сланцев. В верхней р. Ник.Китат, в разрезе по р. Мал.Китату сланцы встречаются в виде редких прослоев и пачек. По р. Табрат, ниже одноименного месторождения, разрез состоит из серых и черных кристаллических известников. Сланцы почти полностью отсутствуют. На водоразделе озер Тридатых среди сорых, черных битуминозных известников широко развиты мраморы и мраморизованные известники. Они содержат пачки и линзы глинисто-кремнистых сланцев с сульфидами.

Остатков ископаемой фауны в описанных отложениях не обнаружено. Упоминание В.Н.Немировской (Бадричская и др., 1959) о находках археолиг. по кличу Известникому в дальнейшем не подтверждось. Стратиграфическое положение свиты и относение ее к Верхнему протерозою определяются на основании залогания ее на кувайской серии и под эфузиями нижнего камбрия. Описанные отложения аналогичны паддинской, павловской свитам Восточного Саяна.

КЕМБРИЙСКАЯ СИСТЕМА

НИЖНИЙ ОГДОЛ

К о л п и н с к а я с в и т а в районе расчленяется на нижнюю и верхнюю подсвиты.

Нижняя подсвита (См. 1 //) слагает южные склоны хребтов Крыжана и Покровского, водораздельные пространства р. Табрат с озерами Таберкуль и Верх.Тагосук, район Канакского белька, нижнее течение рек Таят и Таборки, левый борт долины р. Бахат, узкая полосой вытянуты вдоль р. Большой Канат, занимая водораздельное пространство рек Канат и Эргака.

Нижнеколпинская подсвита несогласно залегает на карбонатных отложениях осянковской свиты. Севернее горы Освадок, в основании подсвиты, имеются пачки базальных конгломератов мощностью до 100м. Конгломераты темно-серого цвета, пилька хорошо окатана, не сортирована, размером от 1-2 до 30 см, представлена белыми, серыми,

черными и мраморизованными известниками, редко кремнистыми породаами и черными глинисто-улитиними сланцами, цемент известково-глинистый. Бызвильные конгломераты установлены так же на левобережье р. Казыр, вблизи устья р. Габировки. Они имеют зелено-серый цвет, обломочный материал несортирован, хорошо окатан и представлен преимущественно зелеными метаморфическими сланцами Кувайской свирьи, гнейсами деринской (базыбайской) серии и гранитоидами. Размер гальек от 0,1 до 2-5 см. Цемент пленочный или поровый по составу — серцитовый.

Литологически нижняя подсвита представлена диабазами, спилитами, диабазовыми порфиритами с прослойями вариолитов, кератофиров, албитофиров, пессчаников, туфопесчаников, хлоритовых и кремнистых сланцев, линзами яшмовидных пород и известняков. Породы испытали зеленокаменное изменение, выражавшееся в альбитизации, хлоритизации и эпилитизации. Они образуют покровы и потоки мощностью от 1-2 до 60-150 м, нередко встречаются шаровые лавы. Вулканогенные породы состоят из призматических и удлиненно-призматических лейст плагиоклаза, промежутки между которыми выполнены хлоритом, амфиболом, эпидотом, дюнитом, карбонатом, магнетитом и разложенным вулканическим стеклом. В диабазах, диабазовых и плагиоклазовых порфиритах андезин и лабрадор значительно альбитизированы. В спилитах и вариолитах плагиоклаз альбитового состава. Моноклинный диабаз сохраняется в реликтовых зонах, в большинстве случаев заложен вторичными минералами. Вулканическое стекло разложено с образованием бурых землистых масс или замещено хлоритом.

Для пород посланты характерно повышенное содержание магнетита, гематита, количество которых на отдельных участках достигает 8-10%. Вулканогенные породы переслаиваются с кристалло-литокластическими турбами диабазов и спилитов, глинистыми и кремнистыми сланцами, красными и бурыми тонкослоистыми гематит-содержащими яшмовидными породами, мощность от 0,2 до 10 м. Встречающиеся среди залежей пачки и линзы известняков не имеют широкого распространения. Западнее озер Радоных среди диабазов встречаются рифоподобные образования.

Разрез нижней подсвиты по водоразделу рек Ниж. и Мал. Китата:

1. Зеленокаменные сланцы по диабазам	200 м
2. Чертевование диабазов с плагиоклазовыми порфиритами.....	80 "
3. Задерновано	200 "
4. Диабазы и спилиты, чередующиеся с диабазовыми порфиритами.....	250 "

5. Диабазы с прослойями сланцев и линзами известняков

100 м

6. Диабазовые порфириты и диабазы с редкими прослоями хлоритовых сланцев

300 "

7. Миндалекаменные, местами рассланцованные диабазы

70 "

8. Массивные спилиты зелено-черного цвета

105 "

9. Диабазы с редкими прослойями плагиопорфиритов

100 "

10. Миндалекаменные туфолавы диабазов

200 "

II. Диабазы с прослойями гематитизированных порфиритов и линзами голубых, желтых и красных кремнистых полей

150 "

12. Массивные, местами рассланцованные диабазы

200 "

13. Светло-серые с голубоватым оттенком альбитофиры

120 "

14. Миндалекаменные диабазы с линзами кремнистых полей

250 "

15. Зелено-серые миндалекаменные диабазы

50 "

16. Пересяживание альбитовых диабазов с диабазовыми порфиритами

420 "

17. Диабазы с прослойами хлоритовых сланцев, карбонато-кремнистых и яшмовидных пород

400 "

18. Рассланцованные диабазы

65 "

Мощность подсвиты в данном разрезе 3000 м.

В разрезах северо-западной части района нижняя подсвита сложена диабазами, спилитами и диабазовыми порфиритами с редкими прослойями вариолитов, плагиопорфиритов, туфов, вулканогенных брекций, кремнистых и яшмовидных пород. В верхней половине подсвиты встречено два горизонта тундряно-осадочных пород с гематитовым оруднением. Один проходит в южной, другой в северной части Тагасукской антиклинали. Южный горизонт сложен красными яшмовидными образованиями с гематитовыми брекчиями и имеет мощность 25-28 м. Северный горизонт, мощностью 150-200 м, сложен зеленоватыми и коричнево-красными гематитсодержащими сланцами, тонкослоистыми туфами, крупно- и мелкообломочными гематитсодержащими брекчиями.

На юге района по р. Юл. Кандат и на водоразделе рек Кандат и Чиркак породы в зоне Кандатского разлома вследствие катаклизма, обстановка и наложенных процессов минерализации преобразованы в кварц-альбито-биотито-хлоритовые, эпидото-альбито-хлоритовые, альбито-хлоритовые, кварц-альбито-серцито-хлоритовые, альбито-серцито-кварцевые сланцы с порфиробластовыми и бластогородированными

структурами. Малоизмененные породы сохранились в отдельных блоках.

ках.
Таким образом, литологический состав позволяет хорошо выделять на всей изученной территории. Это спилит-диабазовая формация залегающая в основании нижнего кембрия. Общая мощность нижней

подсвіти 1000-3000.

возраст подсолнечногорской свиты. Встречается в нижней несглаженной залежи на мраморизованных известняках овсянниковой свиты верхнего протерозоя. Нижняя подсвита сопоставляется с тарбатской свитой юго-западной части Восточного Саяна (Зукус, Шнейдер, 1963) и нижней частью хамаринской свиты Тувы. Отложения сопоставимых свит окраинированы рапуной.

Верхняя подсека (см. ч. 2) ...
по р.Сухой Вазыай и ее правому притоку кишу Сланцевому, по
р.Тайменке, у озера Верх.Тагосук и по Черной речке, в верхине
р.Мал.Кандату, по р.Большому Кандату его с р.Эртакт¹. За-
лагает она согласно на вышеизложенных образованиях нижнего юрмия.

Поломка подсвиты устанавливается в разрезе. Дно котлована
меньши по смене зулканогенных пород нижней подсвиты известняками
или сланцами верхней подсвиты. Кровли ее наблюдаются в вершине
р. Мал. Кандата по смене голубовато-серых и темно-серых известко-
вистых песчаников и песчанистых сланцев розовыми и серыми аргело-
тиловыми известняками бактрийской свиты.

Нижняя подсвита состоит из известников, глинистых и углистых
сланцев, алевролитов, песчаников, кремнистых пород, меньше диафо-
зов и порфиритов.

Разрез подсвity по клюту сланцевому сладким. I. Известняки серые массивные с прослойками глинистых

Сланцев	300
2. Сланцы известково-глинистые с линзами известника	
3. Пересяживание глинистых сланцев с алевролитами,	
песчаниками и раковинами известняков мощностью 2-3м	120
4. Пересяживание известняков с известковистыми пес-	
чаниками	
5. Сланцы песчанистые тонкоплитчатые	180

Мощность подсвемы в данном разрезе 900м.
По правому берегу долины р.Таймырки подсвема состоит из серых
глинистых, кремнистых и метаморфических сланцев, переслаивающихся
с известковыми и гипсовыми пластами, алевродоломиты и

+) Объем подсвяты речей Камешковской свите или вся Колинской свите в разрезе по рекам Колив и Ялахтисон.

и песчаники имеют подчиненное значение. В нижней части разреза встречаются порфириты и диабазы. У оз. Тагусук подсводят представляющиеся светло-серыми массивами известняками, переслаивающимися с белыми серцитизированными, рассланцованными песчанистыми известняками и сланцами, содержащими кремнистые стяжания. Общая мощ-

НОСТЬ подсвиты в данном разрезе 500м.

Мощность верхней подсвиты колпинской свиты 1000-1500м.
Б а л а х н и с о н с к а я с в и т а (Сн¹ б/б) встречает-
ся в вершине р.Мал.Кандаут у озера Можарского и болоты устья р.Эр-
гак. Свита сломана светло-серыми, серыми и розовыми массивными
известниками с остатками архопиат, радиальными прослойками алевроли-
тов и песчаников. Нижняя граница свиты согласная и проходит по
литологической смене терригенно-сланцевых город карбонатными.
Разрез подсвиты по левой вершине р.Мал.Кандаут, названной
Археопиатовым Капицей следующий:

I. Известники серые и светло-серые плитчатые, мес- тами проморозившиеся	350 м
2. Известники белые и розовые, мацесивные и плитча- тые с флюзой археомелит	420 м

В данной пачке нам выделено пять горизонтов:
 а) известники розовые и серые (100м) с крупными
биогемрами археодиат, определенных И.Т.Журавлевой;
Dokidocystatus regularis Zhur., *Dictiocystatus* sp.,

+) Списки фауны и флоры по всем горизонтам значительно сокращены. Полнота они приведены в отчете за 1963г. (Шнейдер, 1964г).

Robustocyathus ijjizkii (Toll); *R.cf.policeptatus* (Vol.); *Ajaccicyathus arteintervalum* (Vol.); *A.c. amplus* (Vol.); *Nochoroicyathus cf.marininskii* Zhur., *Tersia* sp.; *Dokidocystathina* sp.; *Archaeolynthus sibiricus* (Toll);

б) известники рифогенные (120м), нередко перекристализованные, с крупными колониями археоцитов. Наиболее типичны формы: *Robustocyathus* sp.; *Archaeolynthus nalivkini* (Vol.); *A.sibiricus* (Toll); *Ajaccicyathus* sp.; *A.khemtschikensis* (Vol.), *Coscinocyathus cf.arguatus* Vol.; *Tumuliolynthus pustulatus* Vol.; *Paranacyathus* sp.; *Sesuyathus zillindricus* Vol.; *Protopharatra grandicavata* V;

в) известники серые массивные с фауной хорошей сохранности (85м). Отдельные формы археоциат достигают весьма крупных размеров. Отсюда определены окаменелости: *Tumuliolynthus tubexternus* (Vol.); *Okulitschicyathus* sp.; *Archaeolynthus nalivkini* (Vol.); *A.macrospinosus* Zhur.; *A.absolutus* (Vol.); *Nochoroicyathus chneidei* sp.r.nov.; *Leucocyathidae?* sp.; *Kotwicyathus* sp.; *Rhizocyathus* sp.; *Alataucyathus* sp.; *Ajaccicyathinae*; г) известники серые и белые (75м). Окаменелости аналогичны группе "в".

д) известники серые (50м) с редкими остатками археоцитов. Известники сильно перекристализованы.

3. Известники серые и светло-серые мраморизованные... 220м

В данном разрезе свита имеет мощность 100м. Слики рауны из первых двух горизонтов указывают на формы, переходные от камышковского к санамытакольскому комплексам, а из горизонта "з" только санамытакольского.

Второй разрез описан по р.Бол.Кандыту, близ устья р.Эргак.

Здесь светло-серые, серые и розовые известники являются небольшие прослойки желтых, серых песчаников, алевролитов, лигнитов и сланцев. Карбонатные породы залегают вдоль р.Кандыт довольно узкой полосой, постепенно наращиваясь к северу. С запада они перекрыты имирской свитой, на востоке срезаны линиями разлома. Наблюдаемая мощность разреза 700м. В нижней части разреза обнаружена скамья "Калача", в цоколе террасы впереди берегу р.Бол.Кандыт против скамьи "Калача" в цоколе террасы впереди археоциат *Leucocyathidae?* вида *A.C.Mitropol'skii* (1934ф). Им указана форма *Coscinocyathus cf. giantus* Born.; близкая к *C.Taylori* Vol., по определению А.Г.Бодлогина. В 1963г. в этой же точке скамьи "Калача" описывает авторами и Ю.М.Колобякиным. По определению Л.Н.Кашиной здесь известны формы: *Archaeocyathus* sp., *Clarus-*

cyathus solidus (Vol.), *C. cf. billingsi* (Vol.), *Tegenerocyathus abakensis* (Vol.), *T.s.p.* Данный фауна указывает на принадлежность форм к санамытакольскому и солонцовскому горизонту. Общая мощность санамытакольской свиты изменяется от 700 до 1000м. Возраст санамытакольской свиты в целом отвечает интервалу камышковского-солонцовского горизонта ленского яруса.

С р е д н и й о т д е л

О с и н о в с к а я с в и т а (См², 3) широко распространена в северной части, в бассейне верхнего течения рек Мал. и Низ. Кытата, Сухого Баябая, Табата, Галуску, Тынта, Таборовки, в районе озер Шабуринских, Тагосуских и Можарского. Она несомненно залягает на нижней, ворваной полисланых колимской и балахтинской свитах. Породы свиты относятся к построителям образований серого, сиро-зеленого, зеленого, иногда черного цвета. Среди сероцветных пород встречаются горизонты красноцветных песчаников, туфопесчаников, алевролитов, сланцев и известняков.

В бассейне рек Мал. и Низ. Кытата и Тынты в разрезах свиты развиты преимущественно сланцы глинистого, песчано-глинистого, известково-глинистого, кремнисто-глинистого, углисто-глинистого и хлорито-серидитового состава. Глинистые сланцы состоят из чередующихся слоев, имеющих рельефную пелитовую и алевролитовую структуры. Глинистые частицы пелитовых прослоев, в результате блеска в значительной степени заилены волокнисто-чешуйчатым слюдистым агрегатом. Алевролитовые прослои состоят из зерен кварца и пильных шпатов размером 0,01 до 0,1мм, сцепленных пелитовым глинистым агрегатом. Чередование полос обуславливает сплющенность, в ориентированное расположение хлорита и актинолита - сланец-эпостиль породы.

Песчаники, туфопесчаники и алевролиты большие массы развиты в разрезах по рекам Таяту, Таборовке, севернее Шабуринских озер. Среди песчаников преобладают полимиктовые разности, имеющие псамmitовую структуру, от тонко до крупнозернистых. Состав они из обломков кварца, полевого шпата, кремнистых пород, известняков. Цемент глинисто-кремнистый сазальный или породного типа. В цементе туфопесчаников присутствует пелитовый материал. Среди артиллитов широко развиты кремнистые разности с преобладанием криптоэпистого кварца.

Разрез по р.Мал.Кытату (в северном крыле синклинальной структуры в 500м выше это левый береги):

1. Алевролиты и аргиллиты темно-серые до черных с прослойками светло-серых и голубовато-серых тонкозернистых песчаников и туфопесчаников	50 м
2. Алевролиты и глинистые сланцы темно-серые тонкоизвестниковые с прослойками светло-серых средневезирийских песчаников	50 "
3. Песчаники четко слоистые кремовые средневезирийские	40 "
4. Туфы и туфопесчаники зеленые, рассланцованные	20 "
5. Пересланывание светло-серых глинистых сланцев с песчаниками и туфами	45 "
6. Песчаники известковистые серые и голубовато-серые, темно-зеленые переслаивающиеся с глинистыми сланцами	120 "
7. Туфы серые известковистые	25 "
8. Туфы и туфопесчаники зеленые через залернованный интервал в 300м	50 "
9. Сланцы глинистые серые филитизированные с прослонами песчаников	300 "
10. Известники светло-серые слоистые	10 "
II. Сланцы глинистые филитизированные с вкрашенностью пирита через залернованный интервал в 300м	20 "
12. Пересланывание серых филилитидных сланцев с черными углисто-глинистыми и граffitiстими сланцами	25 "
13. Пересланывание светло-серых известково-глинистых сланцев с темно-серыми филилитидными сланцами. Тя и другие содержит густую вкраепленность пирита	25 "
14. Сланцы филилитидные серые через 550м.....	250 "
15. Сланцы стальнно-серые филилитидные, слюдистые	520 "

К и з и р с к а с з и т а ($Cm_{2-3} f.$) пользуется ограниченным распространением, обнаруживаясь в ястоках р. Табет, севернее оз. Тайменного, на южных склонах Едимовом горы, на водоразделах рек Канатка с Каменушкой и Бахта с Усинскими озерами. Из-за плохой обнаженности взаимоотношения свиты с ниж- и вышележащими отложениями не установлены, вследствие чего она выделяется условно.

Литологический состав свиты однообразен. Она сложена андезитовыми и миндалекаменными порфритами, диказовыми порфритами, диабазами, кристалло- и лито-кристалластическими туфами и лавоконгломератами. Они имеют темно-серый цвет с зеленоватым и буроватым оттенком. Породы обладают порфировой, пилотакситовой, микропримматической зернистой, гиалоклазитовой и ойтовой структурами основной массы. Порфировые выделения принадлежат андезину и лабрадору, образующих таблитчатые кристаллы с полисинтетическими

зеленым окраску. Лиевые конгломераты наблюдались в разрезе по рекам Таборовке и Хайровской. Обломочный материал конгломератов хорошо окатан, не сортирован, представлен, существенно, известняками, кварцем, кремнистыми породами, диабазами, порфиритами, сланцами, амфиболитами, яшмами, кварцитами, диоритами и габбро. Размер гальек меняется от 0,1-0,2 до 30 см. Цемент песчанистый, извековоглинистый, базального типа. В туфоконгломератах цемент туфопесчанистый и туфовый. По р. Таборовке в гальке конгломератов обнаружены археодиаты, определенные Л.Н.Кашиной как *Coscinocerasthus sp.*

Кроме конгломератов, маркирующих горизонт в осиновской свите являются красноцветные песчаники, туфопесчаники, алевролиты, аргиллиты и сланцы. Они больше всего развиты в нижних и средних частях свиты, но встречаются и на более высоких стратиграфических уровнях. Мощность их меняется от 3-5 м до 30 м. В ряде разрезов красношпаты отсутствуют. Почти во всех разрезах осиновской свиты встречаются диабазы и порфириты.

Мощность свиты на изученной площади изменяется от 1800 до 3000 м. Наличие археодиатовых известняков в гальке конгломератов осиновской свиты свидетельствует о посленижнем кембрийском ее возрасте. В пределах площади листа № 46-ХI, в разрезах по ключу Сосновому в аналогичных отложениях имеются фауна трилобитов и брахиопод амгинского яруса (Зубкус, Шнейдер, 1960). Суммируя все скважины возраст осиновской свиты определяется как средний кембрий.

С р е д н и й - з е р х н и й о т д е л

Сланцы глинистые темно-серые, с вкрашенностью пирита	25 "
Сланцы глинистые темно-серые, с вкрашенностью пирита	25 "
Сланцы глинистые темно-серые, с вкрашенностью пирита	25 "
Сланцы глинистые темно-серые, с вкрашенностью пирита	25 "
Сланцы глинистые темно-серые, с вкрашенностью пирита	25 "

двойниками и четким зональным строением. Реже в фенокристаллах встречаются моноклинный пироксен и роговая обманка. Основная масса пород состоит из микролитов плагиоклаза, зерен рудного минерала, роговой обманки или продуктов девитрификации стекла. Из вторичных встречаются альбит, хлорит, эпилит, кальцит, карбонат. В зонах тектонических нарушений эфузивные породы приобретают сланцевые текстуры: плагиоклаз фенокристаллов и основной массы замещается кальцитом, серцитом, иногда эпилитом, гипситом и кварцем. Туфы эфузивов имеют темно-серый цвет с зеленоватым и лиловым оттенком, обычно массивные, мелко- и среднебломочные. Обломки составляют от 15 до 70% массы породы и представлены плагиоклазом, роговой обманкой и различными плагиопорфиритами с пилотакситом, роговой обманкой и различными плагиопорфиритами с пилотакситом, интэрсертальной, редко сидеронитовой основной массой. Фторита обломков угловатая, неправильная, иногда они оштывлены. Цементирующая масса либо порфирирового состава, либо состоит из туфового материала, хлорита, эпилита. Цемент базального типа, редко типа соприкосновения. Миндалины выполнены хлоритом, кальцитом и кварцем.

Общая мощность отложений кизлярской свиты порядка 1500м. Встречается среди верхнекембрийских принимается условно.

Верхний отдел

Аласугская свита пользуется ограниченным распространением и обнаруживается в верховых рек Айны и Систиг-Хема, в районе хребта Эргак-Таргак-Тайга. Залегает она трансгрессивно на породах колпинской свиты. В состав аласугской свиты входит песчаники, аргиллиты, глинистые сланцы, среди которых наблюдаются прослои конгломератов, конгломератовидных песчаников, туфов, туфитов, очень редко порфиритов. Преобладающая окраска пород зеленая, зелено-серая. Среди скважин встречаются бурые, красные и фиолетовые аргиллиты и песчаники, мощностью до 50м. Отложения аласугской свиты разделены на две подсвиты.

Нижняя подсвита (*Ст₃а₁*) — песчаники, алевролиты, глинистые сланцы, конгломераты, туфы, туфиты, иногда порфириты. Песчаники разнозернистые, от мелко- до крупнозернистых, по составу полимиктовые, редко кварцевые. В крупнозернистых разностях песчаников иногда появляются отдельные гальки размером до 1-2см. В таких гальках, в вершине Айны, установлены тоннели и пистолеты Минского инструментального комплекса. Цемент алевролитистый базальный, пленочный или тип пор, по составу кварц-серцитовый, кварц-серцит-хлоритовый, известково-кварцевый с эпилитом. Текстуры массивные,

Мощность подсвиты в данном разрезе 1500м.	150 м
<i>Верхняя подсвита</i> (<i>Ст₃а₂</i>) залегает согласно с осадками нижней подсвиты. Она представлена алевролитами с прослоями песчаников. Алевролиты имеют голубовато-зеленый цвет и только иногда, в нижних подсвитах, встречаются красноцветные разности. Состав алевролитов и песчаников аналогичен описанному выше. Граница между подсвятами проводится по появлению в разрезе пачек алевролитов.	
Мощность верхней подсвиты не превышает 500м.	200 "
Общая мощность аласугской свиты 2000м. Фауна в ней не установлена. Возраст свиты по аналогии с соседними районами считается верхнекембрийским.	100 "
7. Чередование зеленых песчаников с редкими прослоями голубовато-зеленых кремнистых сланцев	150 "
6. Песчаники голубовато-зеленые крупнозернистые с прослоями кварцевых	550 "
5. Песчаники мелкозернистые с волногибайными знаками, чередующиеся с плотными кремнистыми сланцами	200 "
4. Песчаники грязно-зеленые крупнозернистые	150 "
3. Частое чередование мелко-средне- и крупнозернистых зеленых песчаников и сланцев. Прослои туфов и туфитов. В верхней части пачки — конгломераты и кремнистые породы	100 "
2. Песчаники мелкозернистые с волногибайными знаками, чередующиеся с плотными кремнистыми сланцами	550 "
1. Песчаники мелкозернистые с волногибайными знаками	200 "

ОГДОВИЙСКАЯ СИСТЕМА

Черноморская свита (*О(?)с₁*) пользуется весьма ограниченным распространением, обнаруживаясь в районе оз. Тиберкуль. Залегает она настолько на породах осинской свиты образуя синклинальную структуру; с севера и юга ограничена разломами. Соот-

ношения со с высшими образованными в районе отсутствуют.

шоения ее с вышележащими юрскими отложениями. Состоит свита из серовцевых песчаников, туфопесчаников, туфов, алевролитов, гравелитов, зернитов различного состава. Среди эфузионных пород встречаются андезиновые, лабрадоровые и кварцевые порфириты, фельзиты и фельзит-порфириты. Мощность покровов от 3 до 20 м. Песчаники неравномерно зернистые, от мягко- до крупнозернистых, граувакковые, содержит пирокластический материал. По простирации, а так же в разрезе они переходят в туфопесчаники и туфы. По составу туфы чаще всего кристалло-литокластические. Состоит из обломков порфиритов, фельзитов, альбитофиров, кварца и плагиоклаза. Членят пепловый с примесью глинистого материала.

Гравелиты развиты в нижней и верхней части свиты в северных бортах оз. Тоберкуль. Они состоят из обломков алевролитов, известняков, глинистых сланцев, песчаников, гравийного материала базального типа. В них

нико, кремнистых, эффузивных пород. Чаще всего в ритаках же как и в других частях разреза наблюдается отчетлива ритмичность от крупноизернистых и мелкоизернистых гравийтов и песчаников и алевролитов. В 1,2км восточнее замка Бол.Тиберкульской никелии среди туфопесчаников и туфоваверлитов, в средней части свиты имеется конгломерат. Галька их окатанная и полуокатанная, состоит из диабазов, спилитов, алевролитов и песчаников.

Разрез у оз. Тиберкуль (от р. Кильдюной, через высоту 805,6м по хребту до замка Бол.Тиберкуль):

1. Пересяживание песчаников с гранитом	30	м
срезано нарушением	25	"
2. Фельзанты светло-серые и кварцевые порфирь		
3. Песчаники зелено-серые тинкозернистые пересяжившиеся с крупнозернистыми, через задернованный интервал 200м	100	"

4. Песчаники сизо-серые мелкоизернистые, и -желтые переслаивающиеся с алевролитами	150 "
5. Алевролиты и туфовальвролиты серые переслаивающиеся с тонкоизернистыми песчаниками, туфопесчаниками, порфиритами, диабазами, турами и туфобрекчиями.....	180 "
6. Ритмичное чередование мелкоизернистых серых и зелено-серых туфопесчаников (0,2 до 1м), алевролитов и туфовальвролитов (0,01-0,02м). Иногда по границе ритмов проходят покровы порфиритов мощностью 5-10м.....	205 "
7. Песчаники и туфопесчаники светло-серые средневеликозернистые переслаивающиеся с алевролитами.....	160 "
8. Туфопесчаники серые, переслаивающиеся с алевролитами и покровами порфиритов	150 "

СИЛУРИЙСКАЯ-ДЕВОНСКАЯ СИСТЕМЫ

И м и р с к а я с в и т а ($S_2(?)$ - D_1 , im) широко развита в юго-западной части района в Амуро-Кандацкой впадине и менее на северо-востоке в пределах хребта Крыжина. Она с разским несогласием залегает на размытой поверхности кембрия и в ряде разрезов имеет сазальные контакты. Состоит слюта из различно окрашенных вишнево-красных, лиловых, серовато-белых, зеленых и черных плагиоклазиров, порфиритов, альбитофиров, кварцевых порфиров, фельзитов, ортофиров, трахитов, лавобрекций, туфолав, туфов. Иногда в прослоях и пачках встречаются красные и зеленые песчаники, туфопесчаники, алевролиты и аргиллиты.

Конгломераты серые и розовые установлены во многих пунктах района, содержит хорошо окатанные гальки известняков, сланцев, песчаников, кремнистых пород, гранитов, тоналитов, диоритов и габбро. Цемент песчанистый, сазального типа. Мощность конгломерата — 2-3 до 250 м.

Вулканические образования имеют кислый, средний и основной состав. Они образуют покровы и потоки, часто выклинивающиеся при простирации. Мощность их изменяется от 5-10 до 100 м. Плагиопорфириты имеют порфировую структуру с микрокристаллической основной массой. Вкрапленники представлены птиоликлазом, состав которого меняется от олигоклаза до андезина. Среди пород связи развиты птиолитахиты, с вкрапленниками олигоклаза и реликтами роговой обманки, замещенной хлоритом, с勤奋ом и магнетитом. Основная масса их имеет трахитовую структуру и состоит из олигоклаза. Фельзиты и фельзитовые порфириты довольно часто имеют трахитовую структу-

9. Ласчаники и туфлесчаники свяые и голубовато-озерные четкослойные, через задернованный интервал в 100 м.. 80 м

10. Туфопесчаники серые и зеленовато-серые, переслаивающиеся с алевролитами..... 100

II. ЧЕРЕДОВАНИЕ СЕРЫХ И ГРЯЗНО-СЕРЫХ ТУФПЛЕСТГНИКОВ И СИЛУСИИ ПОД СИЛУСИИ

Фирмы, через залежи которых проходит газопровод, в 800.....
песчаников с гранитами, породами и кварцитами и др.....
140 "

12. Переименование Сарда и Гюзель-Сарда в Ахшарумовы из-за независимых турецких гражданских чиновников с азербайджанскими фамилиями, через 50 м... 50 "

Мощность света в описанном разрезе 1800м, общая мощность ее пайона колеблется от 1500 до 1800м. Возраст света определяется

JOURNAL OF THE AMERICAN ASSOCIATION FOR THE ADVANCEMENT OF SCIENCE

ру с микрорельзитовой основной массой кварц-полевошпатового со-

става и вкрапленниками альбита, пирита, иногда опацитизированно-

го темноцвета. В кварцевых порфирах преобладают фонокристы квар-

ца. Основная масса в них микрополиклиновая с участками фельзито-

вой или сёрдолитовой структур.

Альбитофир состоит из альбита, хлорита, циркона, апатита, магнетита. Вкрапленники плагиоклаза и калиевого полевого шпата

навколо замещены альбитом. Основная масса слабо раскристаллизована, представлена микролитами альбита и зернами кварца. Порфиры широко развиты в составе синты. Обычно они относятся к андезито-

вым и лабрадоровым порфиритам, реже к базальтовым и микроксеновым

порфиритам. Вкрапленники плагиоклаза зональны, часто альбитизи-

рованы, замещены эпидотом, цимзитом. Реже во вкрапленниках встре-

чаются псевдоморфозы по пироксenu и роговой обманке. Трахиты и

трахитовые порфирры состоят из ориентированных микролитов ортокла-

за, составляющих основную массу породы, и редких вкрапленников.

Ортофирры имеют порфировую структуру с призматически-зернистой или

сферолитовой основной массой, состоящей из раздробленного пелитизи-

рованного ортоклаза. Вкрапленники плагиоклаза замещены агрегатом

серциита и альбита.

Все перечисленные разновидности пород имирской свиты относят-

ся к лавам, часто имеют флюидальную текстуру, содержат обломки

эффиузивных пород или минералов. Значительное место в составе син-

ты занимают пирокластические образования, представленные туфолова-

ми, лавобрекчиями, туфами и итниморитами. Ту-

фоловы и лавобрекчики состоят из обломков фельзитов, кварцевых пор-

фиров, альбитофиров, трахитов, порфиритов, диабазов, кварца и плав-

тиоклаза. Размер их меняется от пессимитовых до лапиллиевых. Цемен-

тирующая лава порфировая и амфиболовая. По составу она фельзитовая,

альбитофировая, кварц-порфировая, порфиритовая. В лавах и туфола-

виров довольно часто видны многочисленные изоморфные и лугобрекчийные

перлиты стекла. Среди туфов выделяются кристаллокластические и

ракоды туфолов и туфобрекций в лавах, что сопровождается уменьше-

нием количества обломков в туфоловах до их почти полного исчезно-

вения в лавах.

Разрез по водоразделу р. Конный Таят с р. Ниж. Тридцаткой на юг от высоты 1461:

1. Контгломераты базальтовые с хорошо окатанной, несортированной галькой кварцитов, диоритов, габбро, габро-норитов, диабазов и других эффиузивных пород 250 м

2. Порфиры андезиноэффе зелено-серые мелкокласти-

тивные 400 м

3. Порфиры, в верхней части первоходящие в квар-

ковые лавы 300 "

4. Чаредование зелено-красных лав и туфолов квар-

цовых порфиров. Лавы флюидальные с фельзитовой основой

и лавово-бурых косослоистых песчаников мощностью 2м. В

верхней части пачки наблюдаются беловато-серые туфо-

лавы фельзитов 200 "

5. Туфобрекции вишено-красные 150 "

6. Пересяживание туфобрекций с туфомэборекциями.

С вкрапленниками альбита-олигоклаза 200 "

7. Туфоловы лильевые с флюидовыми оттенками состоят

из редких обломков трахитов, фельзитов, альбита и флю-

идальной перлитовой основной массы, содержащей вкрап-

ленники альбита и калиевого полевого шпата 180 "

8. Порфировые лавы лильевые и сиреневые с обломками

минералов и пород, четко выраженные вкрапленники калиево-

го полевого шпата и альбита. Основная масса раскристо-

тилизована и окварцована, содержит редкие обломки

кварца, плагиоклаза, амфибола и плагиогордиита 150 "

9. Лава лимонная стекловатая флюидальной текстуры.. 120 "

Мощность свиты в данном разрезе 2000м.

Имирская свита обнажает известной фациальной изменчивостью.

В северной части Амыль-Канда ского прогиба в разрезах по рекам

Мал. и Конской Таятам она состоит из двух частей: нижней – ан-

дезитовых и базальтовых порфиров с конгломератами в основании,

верхней – кварцевых порфиров, фельзитов, плагиогордиев, альбита-

фиров и трахитов. Конгломераты имеются не повсеместно. В разрезе

хребта Крымия установлено пересланение альбитофиров с порфир-

итами и с флюидальными перлитовыми лавами основного и кислого сос-

тава.

В южной части Камчатской впадины по водоразделу рек Канаты

и Мал. Таята имирская свита состоит из кислых и щелочных эффиузив-

ных пород – кварцевых порфиров, олигогордов, трахитов, ортогордов

и кератогордов, туфолов и лавобрекций. Эффиузии основного соста-

ва здесь имеют меньшее развитие. И только восточнее в бассейне р. Шанды в южной и средней частях свиты снова появляются анде-

зитовые и базальтовые порфириты. Для южной и восточной части зна-

дены характерно широкое развитие лавобрекций и извонголоморитов.

Лавоконгломераты тяготеют к различным частям разреза свиты. Обломочный материал их имеет разную величину и форму, от угловатых и округлых до лапилей и бомб 10-20см в диаметре.

Мощность имирской свиты в районе 1700-2300м, она соответствует ее своему стратотипу, описанному авторами в Северо-Минусинской проводине и других частях Минусинского прогиба.

С р е д н и й о т д е л

Тонская свита (D_2^m) распространена в бассейне рек Верх.Мамата и Мал.Таяга на севере района у Тогоусских озер. Она по-видимому, несогласно залегает на породах имирской свиты.

На границе этих свит в истоках р.Шанды установлен горизонт мощностью 10м и протяженностью 2-3км песчаников, конгломератов и лавоконгломератов.

Тонская свита представлена весьма однородными породами базальтного ряда - миндалекаменными плагиоклавовыми и пироксеновыми порфиритами, оливиновыми базальтами, туфами, туфобрекчиями, туфомагматами основного, иногда цемочного состава; весьма редко встречаются порфиры, албитопорфиры, кератопорфиры, трахиты. Сводный разрез свиты представлен в следующем виде:

1. Андезиновые порфириты зелено-серые и лиловые мел- колистовые, миндалекаменные порфириты с обломками крас- ных ортофиров, лавобрекции, изредка крупнолистовые да- радоровые порфириты	200-300м
2. Пироксеновые порфириты, плагиопорфириты, туфоли- зы основного состава, лавобрекции, албитопорфиры и кера- тифиры	100п
3. Албитовые базальты, кварцевые базальты, плагиокла- зовые мелколистовые порфириты.....	300-400 "
4. Оливиновые базальты переслаивающиеся с андезино- выми порфиритами и диабазами, имеющими более раскистан- дированную основную массу, мелковзернистые туфы основных порфиритов и лавобрекций.....	250-320 "
5. Лавоконгломераты, с обломками пород среднего и кислого состава, туфы, туфолиты, чередующиеся с лиловы- ми андезиновыми порфиритами и албитопорфиритами.....	200-280 "
6. Миндалекаменные плагиоклавовые порфириты, базаль- ты, сильно пористые пироксеновые порфириты, чередующиеся с диабазами. Рововые ортофириты, их лавобрекции и туфы са- зольтового состава	250-400 "

Четвертичные отложения распространены широко и представлены различными по возрасту и генезису породами.

С р е д н е - и з в е р ж е н ч е т в е р т и ч н ы е о т л о ж е н и я (Q_4T+III)

К этому возрасту относятся ледниковые, валдо-ледниковые и озерно-аллювиальные образования, представленные валунами, галькой, серыми разновершинистыми песками, желтыми, желтовато-серыми и зеле-новатыми супесями, суглинками и глинами, слагающими боковые и ко-ночные морены, озьи, камовые и ледниковые террасы. Встречаются они в различных районах изученной территории, занимают иногда значи-тельные площади. В наив. этих отложений неоднократно наблюдались линзы плотных горизонтальнослойных голубых тонкоотщущенных глин с пропластками хорошо окатанного песчаного материала и редкими обломками различных пород. выше по разрезу они перекрываются мо-ранными отложениями. Мощность средневерхнечетвертичных отложений достигает 40-60м. Спорово-пыльцевой комплекс, определенный из раз-реза в устье кичи Аэродромного, в истоках р.Багры, показывает преобладание холдинговых форм - полыни и других травянистых разностей (67%), карликовой берески, менее - пихты, сосны, кедра и ольхи, на основании чего данные отложения относятся вероятно к следующим среднечетвертичного возраста, которые по аналогии с районами Гуны может сопоставляться с аланским.

Верхнечертничье отложение (Q_{III})

Аллювиальные отложения III и II надпойменных террас (Q_{III}) распространены преимущественно в долине р.Казыр и крупных притоков.

Аллювиальные отложения III надпойменной террасы встречены только в долине р.Казыр. Терраса сложена плохо сортированным песчано-гравийным и галечниковым материалом. Высота ее обычно колебается в пределах 20-30м.

Спорово-пыльцевые спектры отложений из террас говорят о подолдании и осушении климата, о продолжавшихся процессых оледенения. В спектрах преобладают сосна, ель, береза, встречаются подольши, ксерофильные папоротники. Изучение минералогических ассоциаций песков показывает, что для них характерно наличие амфиболов, минералов эпилот-диозитовой группы, присутствие магнетита и ильменита, количество которых увеличивается к верхним горизонтам террасы.

Аллювиальные отложения II надпойменной террасы распространены в долинах крупных рек, где террасы достигают высоты 12-18м над уровнем реки. Они представлены разнозернистыми песками, гравием и галечником с валунами. В верхней части разрезов преобладают супеси желтовато-серого и серого цветов. В строении II террасы среднего и нижнего течения рек Тихой и Ниж.Китая широко распространены тонкозернистые пески, суглинки, местами глины.

В нижней части разреза террасы содержатся междилниковые споро-пыльцевой комплекс. Здесь преобладает пыльца и споры древесных растений прежде всего ели (до 70%), сосны, папоротниковых и плауновых, субтропических мхов. В верхах разреза происходит разложение пыльцы ели, и наблюдается преобразование пыльцы кедра, сосны и карликовой бересмы, что говорит о новом похолодании, смене междилников. По всей вероятности они сопоставляются с нижней частью саргансской стадии зиринского оледенения, которое относится ко второй половине верхнечетвертичной эпохи. Минералогический спектр II террасы характеризуется увеличением количества амфиболов, пироксенита и ильменита вверх по разрезу. На геологической карте отложения II и III террас показаны совместно.

Аллювиальные отложения I надпойменной террасы (Q_{II}) распространены в долине Казыр и крупных притоков. Высота террасы 5-8м. Сложена она в нижней части гравийно-галечниковым материалом с валунами, выше залегают разнозернистые, косоглыственные пески, супеси, суглинки с прослойками валунов и галечника. Спорово-пыльцевые комплексы не характерны.

Современные отложения (Q_{IV})

К современным отложениям относятся речной аллювий - низких и высоких пойм, озёрные и болотные образования.

Аллювиальные отложения низкой и высокой поймы наблюдаются по долинам современных рек. Строение их зависит от характера вреза реки. На участках, где донная эрозия интенсивная - русла рек усилены грубообломочным материалом. Обломки плохо окатаны, галька и песок присутствуют в полчищном количестве. В местах выхода живания русла осадки более мелкозернисты, исчезают валуны, появляются большое количество гальки и разнозернистого песка. Кроме того, в отложениии пойм большую роль играют местные факторы сноса.

Торфяники, озерные и болотные образования слагают оширенные площади Табратских, Убинских, Бахтастских болот и отлагаются в многочисленных озерах. Береговые отложения из-за представлены песчано-галечниковым, а внутренние их части - глиной, супесями и илами. В заросших озерах небольших размеров берега сложены плотными торфами, хорошо спрессованными выше уровня воды моховым покровом и растительностью. Такие озера известны на хребтах Шанды, Крыжина, Покровского, в истоках Ниж.Китая и др. местах.

ИНТРУЗИВНЫЕ ОБРАЗОВАНИЯ

На территории листа интрузивные породы пользуются значительным распространением. Они весьма разнообразны по составу, возрасту, отношению к тектоническим структурам и металлогенической специализации. Среди них выделены Даргинский, Сылдинский, Шиндинский, Акторакский, Манинский, Казырский (Булкинский), Ольховский, Бельдынский, Буюджульский, Лутатский и Окуновский комплексы.

Дербенский и Нижний Копчикский (ГР₂) распространены в бассейне рек Ниж. и Нал.Китая, Базынгайский, где образуют послойные тела среди гнейсов. К наиболее крупным из них относится Горшковский массив, размерами 4x0,8км. Основные тела значительно меньше, протяженность их меняется от 0,2-0,3 до 1-2км, мощность от 5-10 до 100-200м.

В состав комплекса входит гнейс-граниты и мицматиты. Они всегда имеют ясно выраженную гнейсовидность, совпадающую с узкими телями. Иногда тела имеют нечеткие контакты и трудно отделяются от имеющихся гнейсов. Среди гнейс-гранитов комплекс можно выделить мусковитовые и биотитовые разности. Для них характерна

аллотриоморфоавенистая, гранобластовая или нематобластовая структуры. Гнейсы-граниты состоят из кварца - 30-35, плагиоклаза - 30-40, микроклина - 20-25, мусковита и биотита - до 8%. Из акцессорных присутствует: магнетит, циркон, апатит, сфен, ортит. Плагиоклаз по составу принадлежит олигоклазу №20-22 или альбиту №8-10. Микроклин имеет решетчатое двойниковое строение, присутствует далеко не во всех разностях. Мусковит развивается в бесцветных пластинках, иногда образует вrostки в плагиоклазе. Биотит почти полностью хоритизирован с выделением иголочек рутила и зерен магнетита. Довольно часто в мусковитовых гранитах встречается бесцветный гранат.

По химическому составу породы комплекса занимают промежуточное положение между аляскитами и гранитами по Р.Дэни. Содержание в них свободной кремнекислоты ($Q = 37,9-41,2$) значительно больше, чем в гранитах, цветных компонентов ($b = 3,7-4,5$) и анортитовой молекулы ($c=0,9-1,5$) меньше чем у гранитов, но больше чем у аляскитов. По соотношению щелочей и извести $a:c=7,3-13,3$ принадлежат к известково-щелочному ряду и имеют кали-нафровую специализацию ($n=63,8-64,8$).

Описываемый комплекс относится к синорогенным образованиям, связанным с процессыми палингенеза и, возможно, гранитизации сибирских гнейсов в условиях ультраметаморфизма. Возраст комплекса по легенде среднепротерозойский. По мнению авторов его следует отнести к Тукшинскому интрувакному комплексу нижнего протерозоя.

Сидинский и Нитрузинский комплексы ($1-3 \text{ Р-2}$) слагают Спирidonовский и Михайловский массивы, залягающие среди базальтических гнейсов и метаморфических сланцев кувайской серии. Они образуют дискордантные тела, тяготеющие к зонам разломов в Базыбайской глыбе и ее обрамлении. В состав комплекса входят граниты, гранодиориты, кварцевые диориты и диориты. Обычно они в значительной степени каткализированы, а в породах Спиридоновского массива наблюдаются гнейсовые текстуры. Граниты и гранодиориты имеют наибольшее развитие в Спирidonовском массиве и значительно меньше в Михайловском.

По составу среди пород комплекса можно выделить нормальные биотитовые граниты, биотит-роговообманковые плагиограниты и гранодиориты. Преобладают плагиограниты. Все разности имеют гипидиоморфную структуру, переходную к гранобластовой структуре, состоит из плагиоклаза - 35-40 и кварца - 20-30. Калиевый полевой шпат присутствует в подчиненном количестве - 10-15 и только в биотитовых гранитах содержание его возрастает до 30%. Из темноцветов почты всегда преобладает биотит - 12, роговая обманка составляет

- 5-6, увеличиваясь до 10-15% в гранодиоритах. Плагиоклаз составляет альбит-олигоклазу, олигоклаз-андезину. Калевый полевой шпат микроклин-перит. Биотит хоритизирован, удлиненные пластиники его образуют вместе с роговой обманкой струящиеся полосы между зернами плагиоклаза.

Кварцевые диориты и диориты встречаются как в Спиридоновском, так и в Михайловском массивах. Состоит они из плагиоклаза, роговобиотитов, биотита и кварца. Плагиоклаз сильно серийтизирован. Обжигованная роговая обманка замещена эпилитом и хоритом. Кварц несет следы катакластических изменений и гранулирован по периферии зерен. Из акцессорных минералов характерны апатит, сфен, циркон, магнетит.

Жильная фация комплекса представлена пегматитами, аplitами и кварцевыми жилами. Мощность их колеблется от 0,3м до нескольких метров. С кварцевыми жилами данного комплекса, вероятно, связано золото Гусевского участка. Ороговиковование и скарификация щих пород наблюдалось в западной части Михайловского и северной Спиридоновского массивов.

По химическому составу пегматиты Сидинского комплекса занимает промежуточное положение между гранитами и гранодиоритами по Р.Дэни, тяготея к гранитам всех периодов. Они относятся к плавмазитовому ряду перевьенному глиноzemом и кремнеземом ($Q = 428,7$), щедные щелочами $a:c=4$, имеют натровую специализацию ($n=86$), что отражает существенно плагиоклазовый состав пород.

Спектральными анализами в породах комплекса установлены следующие элементы: свинец, галлий - 0,002, цинк, бор, стронций - 0,003, медь - 0,005, олово - 0,0004, ванадий, марганец, кобальт - 0,001, хром - 0,006, титан - 0,2, сарий - 0,01%.

Интрувии Сидинского комплекса прорывают гнейсы базыбайской и метаморфические сланцы кувайской серии и погребены в глыбке базальных конгломератов николинской подсвиты, что позволяет отнести их к верхнему протерозою.

Шидинский и Нитрузинский комплексы ($8-1 \text{ Сид}$) наблюдаются только среди вулканогенных образований николинской подсвиты. Представлены диоритами, габбро и габбродиабазами, образующими небольшие линейные тела, лайки, реже штоки. Они ориентированы согласно с общим простиранием пород подсвиты; длина тел колеблется от 15-20м до 1-3км, мощность от 1-3 до 50-100м.

Диориты, габбро, габбродиабазы представляют собой средневозрастные породы зелено-серого и темно-серого цвета, имеющие габбродиабатовую и приматическая-зернистую структуру. Состоит из лабрадо-

ра, автита, роговой оманки, магнетита, ильменита. По структурным особенностям имеется ряд переходов от габбро-диабазов к нормальному габбру. Пиокла兹 образует в породе идиоморфные таблитчатые зерна с ясным двойниковым и зональным строением, обычно сильно изменен — альбитизирован и соссюритизирован. Пироксен, являющийся главным темноцветом габбро-диабазов и габбрю, по составу относится к авитту. Замещается с краев и по трещинам уралитом, хлоритом, редко биотитом. Роговая обманка зеленая, иногда светлокоричневая, замещается актинолитом.

Возраст интрузии габбро-диабазов, диоритов и габбрю определяется как нижнекембрийский на основании того, что галька ве обнаружена в гавзальных конгломератах осиновской свиты. Интрузии Шиндинского комплекса имеют не только пространственную, но и генетическую связь с эфузивами нижнеколинской подсвиты, симметрически обрамляющими единую интрузивно-эфузивную магматическую формацию начальных этапов развития геосинклинали.

Акторакский и нитрузинский комплексы (стол-1-2) приурочены к Кандатской зоне глубинного разлома. Располагаясь вдоль нее, ультраосновные массивы образуют Кандатский гипербазитовый пояс, прослеженный на 50 км. Он является восточным продолжением Западно-Саянского гипербазитового пояса, описанного Г.В.Линусом, В.А.Кузнецовым, И.Д.Волоховым (1958).

Гипербазитовые тела в большинстве своем образуют небольшие по размерам кругоподобные линейно-вытянутые тела линзовидной, пластообразной, жилогобной формы и только один Эргакский массив имеет изометрическую лополитообразную форму. Контакты их основнены тектоническими нарушениями, некоторые массивы имеют блоковое строение. Ориентировка длинных осей массивов совпадает с направлением зоны разлома и структурными элементами вмещающих эфузивно-осадочных отложений нижнего кембра. Протяженность тел варьирует от 0,1-0,3 до 0,7-2,5 км при ширине от 0,075 до 1 км. Площадь Эргакского массива составляет 100 км².

Это делает гипербазитовых массивов. Наиболее крупными из них являются Эргакский, восточный, западный, лагерный и дальний.

Характерными особенностями комплекса следует считать однородный достаточно хорошо выраженный минералогический состав пород, вероятно, связанный со слабой дифференциацией исходной магмы. Среди описываемых пород отсутствуют полевошпатовые разности. Ведущую роль имеет магнезиальный оливин-форстерит, сопровождаемый энстатитом и яшме лавитом. Из акессорных минералов постоянно присутствует хромит и пикрит. Дуниты, гардбуруиты, лерцолиты входящие в состав комплекса в той или иной степени серпентинизированы и лист-

венизированы с образованием аплодунитовых, апларубуритовых и других серпентинитов, а также разнородных лиственитов.

Дуниты и гардбуруиты больше всего развиты в Эргакском, восточном, западном и лагерном массивах, менее в Дальнем. В Большекандатском и других массивах они сохраняются в виде реликтов. Дуниты занимают центральную часть Эргакского и других массивов, образуя дунитовое ядро, последовательно сменяющееся зоной гардбуруитов, затем их серпентинизированными разностями и в эндоконтакте пойсом серпентинитов. Это придает концентрически-зональное строение гипербазитовым массивам. Дуниты состоят из оливина, по составу отличающему почти чистому форстериту, с незначительной примесью железа. В некоторых разностях дунитов присутствует энстатит. Он попадается по мере удаления от центральной части массива к периферии. Содержание его изменяется от 2 до 8%. Хромит является неотъемлемой частью дунитов, распределенных неравномерно, то в виде обособленных кристаллов, то образует шировье и линзообразные скопления. Наряду со свежими, малоизмененными дунитами, встречаются серпентинизированные их разности. В дунитах серпентинизированных оливин содержит 4-5% объема породы, в более серпентинизированных оливин в виде патель сохраняется среди антигорита и хризотила. Содержание серпентина в этих случаях возрастает до 20-30%.

Гардбуруиты оконтуривают выходы дунитов и имеют с ними поставленные переходы. Они состоят из оливина - 75-92, энстатита - 7-23, хромишинелидов - 1-2%. Оливин так же как и в дунитах по составу отвечает форстериту. В серпентинизированных гардбуруитах серпентин составляет до 25, магнетит до 4%, энстатит замещается псевдохромоцитами бастита. Лерцолиты пользуются незначительным распространением, образуя линзообразные тела среди гардбуруитов, имеют с последними поставленные переходы. В отличии от гардбуруитов в их составе, кроме оливина - 60-65 и энстатита - 15-20 присутствует маложелезистая известково-магнеэзимальная разность диопсида - 10-15. В нескольких случаях были установлены варлиты, содержащие до 40% диопсида.

Серпентиниты имеют значительную роль в составе Акторакского комплекса. Они слагают периферическую часть массивов, развивающиеся в тектонически более обособленных зонах, благоприятных для широкоминерализации растворов. Серпентиниты имеют зональное строение. Наружная, очень незначительная по мощности, зона сложена перекристаллизованными серпентинитами, перечикуя природу которых определить невозможно. Они имеют криптокристаллическую структуру, состоят из антигорита и хризотила. По направлению к центру массивов, степень серпентинизации уменьшается и появляются апо-

гидротермальные и алидунитовые серпентиниты. Для первых из них свойственны порфировидные структуры с псевдоморфозами бастита по «томическому пироксену». Из первичных минералов встречаются реликты оливина и шинели, замещенной шнеллитом.

Листвениты широко распространены в наиболее мелких пластовых и линзоидных телах комплекса, пророченных к южной зоне Канадского разлома. Они составляют Большекандский массив и цепочку тектонически связанных с ним лиственитовых полей. Встречались в его северо-восточной части и по р. Мал. Эргак. Среди лиственитов выделяются тальково-карбонатные, кварцево-карбонатные и кварцево-альбит-карбонатные разности. Тальково-карбонатные листвениты состоят из карбоната — 60–75, талька — 15–20, серпентина — 5–10, фуксита — 1–5%, окислов железа, тверорита, хромита, редко кварца. Иногда содержание в них серпентина и талька достигает 40–50% и они переходят в талькиты. Кварцево-карбонатные листвениты имеют ведущее значение среди данной группы пород. Они состоят, главным образом, из карбоната — 60–80 и кварца — 10–25%, встречаются минералы — фуксит 5–8%, хромит, траворит, магнетит, иногда халцедон, серпентин, тальк, брусит, серидит, хлорит.

Процесс серпентинизации пород шел в альбитоморфическую и частично аллометаморфическую фазу и связан с водными растворами, находящимися в самой матре и окружающих породах. Лиственитизация относится к более позднему — наложенному процессу, связанному с аллометаморфизмом серпентинитов. Ведущую роль при лиственитизации играли гидротермальные растворы, источником которых служили более молодые интрузии, широко развитые в районе. Изучение парagenезиса минералов, возникающих при метасоматической лиственитизации указывает на насыщенность гидротерм углекислой. На первых этапах гидротермальной деятельности серпентин переходит в тальк, образуя тальково-карбонатные листвениты. Дальнейший привнос CO_2 приводит к распаду талька и преобразованию его в карбонат маттина — брайнерит, с выделением свободного кремнезема в виде кварца и халцедона. Возникают кварцево-карбонатные листвениты. Одновременно приносится калий, частично H_2S и натрий. В лиственитах появляется фуксит, альбит, пирит. Образуются кварцево-альбит-карбонатные листвениты. Метасоматоз, вероятно, проходил при нормальной концентрации кислорода, на что указывает наличие в лиственитах преимущественно брайнерита и подчиненно маттина или даже пониженной концентрации кислорода, на что указывает наличие в лиственитах примаршальною брайнерита и подчинено маттина или же лежавая и хромовая минерализация в лиственитах связана как с первичной магматическими образованиеами — тверорит и хромит, так и с гидротермальными новообразованиями — фуксит, например.

гвардуритовые и альбунитовые серпентиниты. Для первых из них свойственны порфироидные структуры с псевдоморфозами баститов по гомойтическому пироксену. Из первичных минералов встречаются великолепные оливин и шпинели, замещенные магнетитом.

Жильные породы в Актовракском комплексе представлены дунитами, лерцитами, пироксенитами. Они образуют маломощные и неправильные кругопадающие тела. В Эргракском массиве встречаются метаморфизованные жильные образования в виде гранато-пироксеновых, амфибило-хлоритовых и других пород. Контактные изменения вмещающих пород вокруг гипербазитовых тел отсутствуют.

Характерными петрохимическими чертами комплекса следует считать высокую магнезиальность пород и пониженную титанносность. Содержание MgO изменяется от 36 до 47, TiO_2 — от 0,05 до 0,11%. Величина молекулярных отношений магния к холезу соответствует 9–11, что подтверждает, согласно Г. Хессу, принадлежность гипербазитов к производным ультрабазовой магмы или к гипермагматам по-

точно присутствуют Fe_2O_3 , FeO .
При изучении поведения малых элементов $+$ / $-$ в породах комплекса установлено повышенное, в сравнении с пакром, содержание хрома, никеля, кобальта и меди. Наибольшее количество хрома — от 0,3 и выше содержится в дунитах и гарубуритах. В серпентинизированных разностях количество его уменьшается до 0,1%. Аналогичным образом ведет себя кобальт. Никель присутствует как в первичных, так и измененных разностях. Он находится в двух формах: сульфидной и силicateйной. Сульфидный никель установлен в Эргакском массиве в ничтожно малом количестве, силикатный — в сардолитах и лиственицах (0,3%) Большое-Кандацкого и других массивов. Ванадий и титан в породах комплекса отсутствуют или содержатся в незначительных количествах.

Возраст комплекса определяется как нижне-среднекомбрисский по наличию гальки гипербазитов в конгломератах альсугской свиты верхнего юрского. Описанный комплекс соответствует дунит-гарцбургитовой или гипербазитовой формации (Кузнецков, 1964).

+ Изучение малых элементов в якорах всех интрузивных комплексов производилось по данным полуколичественных спектральных анализов.

М а и н с к и й и н т р у з и в н ы й к о м п л е к с
(*18 Сп1-2*) расположены в юго-восточной части района в бассейне р.Кандалат, в зоне смятения структур восточного и западного Саяна. К этому комплексу относятся довольно крупный Мало-Кандалатский и три малых массива: Долинный, Случайный и Незаметный. Мало-Кандалатский массив занимает водораздел рек Мал. и Больш.Кандалатов; Долинный в нижнем течении р.Эргак; Случайный и Незаметный на водоразделе рек Кандалат и Эргака. Тела имеют линзовидную форму субширотного простирания и приурочиваются к зоне Кандалатского глубинного разлома, располагаясь вдоль него в виде цепочки мелких и средних линзообразных тел. Пространственно они тяготеют к вулканическим породам нижнего кембрия, залегая согласно со структурами. Мало-Кандалатский массив имеет длину около 40 км при ширине от 1,2 до 6-7 км, площадь 180 км². Северная часть его срезана разломом. Протяженность остальных массивов от 0,16 км до 2,8 км при ширине 0,2-1,0 км.

В составе комплекса выделяются плагиограниты, плагиогранито-диориты, тоналиты, кварцевые диориты, габбро-диориты, габбро. Редко пользуются подчиненным распространением. К характерным особенностям пород комплекса следует отнести широкое развитие кварца во всех разновидностях, отсутствие калиевого полевого шпата, преобладание из темноцветных роговой обманки. Обычно это средне- и крупнокристаллические, иногда порфировидные породы массивной, гнейсово-видной или полосчатой текстуры.

Среди габбродиоритов можно выделить габбро-нориты, обыкновенные, амфиболовые и кварцевые габбо (*18 Сп1-2*). Встречаются они в центральной части Мало-Кандалатского массива в виде линейных, линзоподобных и других нетривиальных тел. Для них типичны пойкилообитовая, габбровая и призматическая-вертистая структуры. Породы состоят из биотитита №75-80 или лабрадора №65-70, диопсида, гиперстена, роговой обманки, кварца. В амфиболовых и кварцевых габбо гипарстен отсутствует, диопсид встречается в малых количествах и почти полностью замещен роговой обманкой. Кварц присутствует во всех разностях. В кварцевых габборо содержание его достигает 8-10%. Роговая обманка обильная, нередко содержит включения ромбического, моноклинного пироксена и плагиоклаза. Из вторичных образований присутствует антинолит, хлорит, тальк, эпилом, биотит. Аксессорные минералы – апатит, сфен, магнетит. Габбродиориты породы относятся к первой – наиболее ранней фазе формирования Майнского комплекса.

Плагиограниты и плагиогранодиориты (*18 Сп1-2*) составляют основную часть комплекса и относятся ко второй фазе. Они

имеют гипидиоморфно-зернистую, с участками микрогранитовой структуры. В малых телах, а так же вблизи тектонических нарушений, встречается катаклестическая и блastoциментная структура, сланцеватая текстура. Преобладающее значение в составе пород имеет кварц с характерным голубоватым или слабо фиолетовым оттенком. Субдиоморфные изометрические зерна его иногда достигают 1,4 см, образуя порфироидные выделения. Кварц присутствует в количестве 40-60, плагиоклаз – 30-40, роговая обманка – 8-17, биотит – 1-2%; апатит, циркон, сфен, рутил, магнетит до 1%. Плагиоклаз по составу отвечает альбит-олигоклазу №6-12 до олигоклаза №28 в гранодиоритах. Роговая обманка зеленая, замещается хлоритом, кальцитом, цезиитом и эпидотом. В тоналитах преобладает зональный андезин №32-36, количество роговой обманки возрастает до 25, кварц уменьшается до 30-35%. В отличии от тоналитов в кварцевых диоритах содержание кварца сокращается до 20-25%. В диоритах резко увеличивается роговая обманка до 30-35%, повышается основность андезина. Среди цветных минералов в диоритах, иногда присутствуют пироксены. В плагиогранитах и плагиогранодиоритах наблюдаются шлиры диоритов и габбро. В Мало-Кандалатском массиве встречаются остатки кровли в виде ороговикованных и эпидотизированных спилитов и порфиритов. Они имеют субпараллельную ориентировку, подчеркивая внутреннюю структуру массива.

Дайковые образования, описываемого комплекса не пользуются широким распространением. Среди них установлены плагиограниты и диорит-порфириты.

Породы Майнского комплекса испытали интенсивные авто- и алюметаморфические изменения, выразившиеся в актинолитизации, хлоритизации пироксена и роговой обманки, с образованием сапентитовых решеток, в альбитизации, эпидотизации и цирозитизации плагиоклаза. Содержание эпидота и особенно цирозита, достигает 25%. Альбит развивается в виде каскадов вокруг плагиоклаза, мелкие зерна замещает полностью. Для пород комплекса так же характерна карбонатизация с развитием кальцита не только по плагиоклазу, но и по роговой обманке. Все указанные изменения проявляются в массивах неравномерно. Расположаясь вблизи зоны Кандалатского разлома, породы комплекса подверглись сильному катаклизму. Вследствие этого были раздроблены, рассланцованны и частично парекристаллизованы. Наиболее сильно катаклизу подверглись малые массивы. В них зерна кварца и плагиоклаза деформированы, имеют угловатые очертания, ломаные края, часто группируются в полосы, придавая породам полосчатость. Дробленный и парекристаллизованный кварцевый агрегат цементирует бо-

лее круглые, не подвергшиеся дистреу обломки, соусыпанные блоками цементный характер структуры. С майинским комплексом связаны зоны суперфидной минерализации, приуроченные к эко- и эндиконтактам Мало-Кандалатского массива.

Химические анализы пород комплекса образуют на векторной диаграмме (рис. 2) две несколько разобщенные группы: одна относится к ряду кварцевых габбро и диоритов, другая — к тоналито-плагиогранитам. Основная и средняя разность имеют нормальный тип химизма, кислые пломазитовые. Породы характеризуются весьма высокими полезительными значениями ($Q=14-44,3$), говорящими о избытке свободного кальция, и в тоже время низкими содержанием щелочей ($a=3,8-9,9$). Величина отношения a/c колеблется от 0,3 до 0,9. Характерные также перевесы пород глиноzemом, повышенное содержание анофитовой извести ($C=6,4-9,9$) и высокое значение величины ($n=84-97$), говорящей о наивной спецификации пород. Малые петрографические элементы представлены Va (0,007), Sr (0,01), B (0,001), Li (0,001)⁺, характерно полное отсутствие Rb . Из группы малых элементов железа присутствуют Mn (0,15), V (0,009), Co (0,0017), Ti (0,18) и Cr (0,0025). Группа циркония не характерна. У и Th в klarковых количествах отмечается в породах южного эндоконтакта Мало-Кандалатского массива. Распределение их неравномерное. Встречается скандий. Металлогеническая специализация комплекса выражается разнообразным равномерным содержанием Cu (0,025) и Zn (0,0095).

Майинский комплекс прорывает вулканогенные отложения нижнего кембрия и попадает в гальку алаусской свиты верхнего кембрия. Более точно возраст его устанавливается в Западном Саяне, где палеогранитная галька имеется в конгломератах арашской свиты. В целом комплекс относится к типу габбро-платигранитных формаций начальных этапов эволюции, по Ю.А.Кузнецовой (1964).

Ольховский и Итрузаинский (т. \sim См.) распространены в бассейне рек Табрат, Таата, Багры, Поповчики, Чайга, Каменушки и Березовой, южнее Верхней Трилатых озер и на северной границе района, в истоках р. Нижний Китата. Породы комплекса слагают массивы Убинский, Таатский, Ефимовский, Березовский, Бархан-Четский, Ядерский, Поповчинский и Порожинский. По составу и особенностям химизма породы Ольховского комплекса различаются на две группы. К первой относятся: габбро, габбро-диориты, диориты, кварцевые диориты и гранодиориты, при преобладании диоритов. Эта группа пород характерна для перечисленных массивов (кроме Порожинского) и отвечает габбро-диорит-гранодиоритовой

+ / В скобках даются средние содержания малых элементов в %.

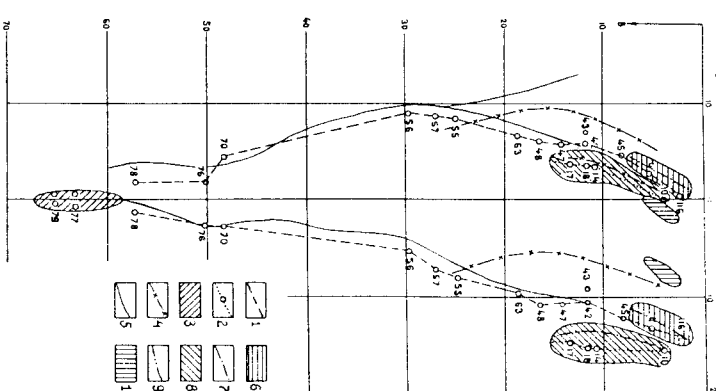


Рис. 2. Вариационная петрохимическая диаграмма интрузивных комплексов

Вариационные линии и поля: 1 — средних типов интрузивных пород ряда перлолит-перлит-габбро-гранат, по Р.Дэли; 2 — средних типов интрузивных пород ряда сиенит-шелестовой гранит, 3 — гипербазитовых пород Эргакского, Восточного и других массивов Акто-Башского комплекса; 4 — интрузивных пород Майинского комплекса (Мало-Кандалатский, Колинный и др. массивы); 5 — интрузивных пород Казырского комплекса (составлена по анализам Осередокского, Балыкского, частично Канатского, Нижне-Китайского и Буллинского массивов); 6 — гранитов и альянитов Бельгийского комплекса (массивы Г.Сухой, хр. Покровского, хр. Козя, Озерного кара и хр. Шадын); 7 — гранитоидов Бельгийского комплекса; 8 — щелочных гранитов и сиенитов Лутажского комплекса (массивы Паньзинский, Паркинсон, Правобережный, Солнечный и др.); 9 — интрузивных пород Лутажского комплекса; 10 — щелочных алпиновых пород Окуневского комплекса, на примере силикатных анализов массивов Окуневского и Сухого Лога.

Фигуративные точки по таблицам А.Н.Заваринского: 116 — альянит, 4 — гранит, 42 — кварцевый диорит, 43 — тоналит, 45 — гранодиорит, 47 и 48 — диорит, 55 и 57 — габбро, 56 — оливиновое габбро, 53 — кварцевое габбро, 70 — пикрит, 73 — бердо-пикрит, 77 — гарбургит, 79 — дунит; 10 — щелочноzemельный гранит, 14 — бердо-повообманковый сиенит, 17 — щелочноземельный сиенит, 18 — сиенит

формации по Н.А.Кузнецкову. Имеет четкую металлогеническую специализацию (мелево) и должна быть выделена, по мнению авторов, в самостоятельный Джезэльский интрузивный комплекс. К Ольховскому комплексу они относятся условно.

Вторая группа пород представлена плагиогранитами и гранитами Порожинского массива, в истоках р.Ниж.Китата, являющейся частью Чийжикского-Шиндинского plutона — патротита Ольховского комплекса. Цветность — золото, медь.

Форма массивов линейногнутые и неправильные тела средних размеров, иногда мелкие штоки. Ориентировка их близка к простирации кембрийских структур, хотя массивы дискордантны и нередко приурочены к зонам тектонических нарушений. В комплексе выделены две группы пород среди первой существуют следующие петрографические разновидности: гранодиориты, кварцевые диориты, диориты, габбро-диориты, габбро. В целом отмечается преобладание диоритов и кварцевых диоритов.

Гранодиориты (18 см^3) состоят из олигоклаза и олигоклаз-андезина — 70, кварца — 23 и темноцветов, представленных биотитом и роговой обманкой — 5-6%. Калиевый полевой шпат встречается редко. Из акессорных — сфен, апатит, титаномагнетит. Вторичные минералы хлорит, цинцит, эпилод.

Роговообманковые и пироксеновые диориты (6 см^3) обладают зелено-серой окраской, среднеэаристым строением. Состав из зонального плагиоклаза — 60-70% (андезин №4), аугита и амфибола — 25-30%. Темноцветы замещаются итольчатым актинолитом. В диоритах встречается кварц до 16% и акессорные: магнетит, сфен, апатит. По химическому составу они близки к средним диоритам по Р.Дэли, но имеют повышенную основность ($\text{Ca} = 14-16$). Кварцевые диориты характеризуются гиппоморфно-зернистой структурой и состоят из андезина №4-45, зеленой и бурой роговой обманки, часто содержащей включения блитита, рудного минерала и кварца. В некоторых разностях кварцевых диоритов присутствуют единичные зерна кальевого полевого шпата, что обуславливает переходы к кварцевым монцонитам.

Габбро и габбро-диориты (1 см^3) имеют оливковую и пойкилофитовую структуру, состоят на 50-60% из зонального плагиоклаза, меняющегося от андезина №48 до лабрадора №5, 30-50% салинит-аугита и бурой роговой обманки, которые замещаются светло-зеленым актинолитом. Из акессорных минералов — апатит, магнетит. По химическому составу они близки к габбро и кварцевым габбро. Характерно высокое содержание темноцветных минералов (величина $\text{Ca} = 22-28$), высокая основность плагиоклазов и резко повышенное количество кварца (низкое значение Ca/C , значение Ca/Mg до — 8).

Малая фация представлена диорит-порфиритами, лампрофираами, лебрадоровыми порфиритами, микроциаоазами, альбит-порфиритами. Последние особенно часто встречаются в рудном поясе Таянского месторождения. Контактовые изменения интрузии выражаются в ороговикованиями и скарнированием вмещающих кембрийских эфузивно-осадочных образований. Роговики обычно диопсидовые, плагиоклаз-диопсидовые, с последующими стадиями альбитизации и скарнирования.

По геохимическим особенностям породы первой группы комплекса характеризуются повышенным содержанием элементов, характерных для основных пород, ванадий, хром, кобальт, никель, титан. Из металлов наиболее распространенным является медь, реже молибден, цинк, галлий. На картах изодинам диоритовые интрузии обычно выделяются как заметные положительные аномалии, со значениями от 500 до 1000 грамм.

Породы второй группы, существенно плагиогранитного состава, представлены Порожинским массивом, выходящим на водораздел рек Ниж.Китата и Тайменки. Наиболее распространены плагиограниты, и гибридные разности.

Плагиограниты (1 см^3) состоят из кварца — 20-25, плагиоклаза, обычно олигоклаз-андезина — 52-57, калиевого полевого шпата — до 8, биотита — 15% и иногда роговой обманки; из акессорных минералов обычно встречаются циркон, апатит, магнетит. В юго-восточной части массива в плагиогранитах возрастает содержание калиевого полевого шпата до 25% и они переходят в нормальные граниты. Для кварцевых диоритов и гранодиоритов в отличие от плагиогранитов характерно пониженное количество кварца — 10-18, плагиоклаз-андезин №35-40 — 53-68, роговик обманка — 10-15, биотит — 8-10%, акессорные — магнетит, сфен, ортит, циркон, апатит. Контактовые породы представлены олиготитовыми роговиками и гранатовыми скарнами, с халькопиритом.

Поведение малых элементов имеет существенное отличие от пород первой группы. Здесь наибольшим распространением пользуются литий и рубидий. Содержания титана и марганца понижены, никеля, кобальта и ванадия, а также хром незначительны или отсутствуют. Из других элементов присутствуют медь, олово, сцинц, галлий, ниобий.

Породы комплекса формировались в гипсомассивной обстановке, в условиях малых глубин. По петрографическим и геохимическим особенностям их (габбро-диорит-гранодиоритовая формация) следует считать дифференциями базальтовой магмы. Породы комплекса прорывают прозоровские и кембрийские образования, до кирилской сниты включительно. В свою очередь прорваны даиками и телки гранитов Беллык-

ского комплекса. Галька диоритов встречена в базальных комплексах имирской свиты. Возраст комплекса определяется как верхне-кембрийский.

Казирский (Булкинский) и низ - Нийкомильский (\sim Рз₁) ранее рассматривался в составе сильховского комплекса. К Казирскому комплексу относятся массивы гор Осередок, Булка, Базыбайский, Нижне-Китатский, Канатикский, Дремучинский и Таборовский. Все они объединяются общностью черт: это габброидные массивы, представленные ритмически построенной дифференцированной серией интрузивных пород от перидотитов, пироксенитов, норитов и габро до диоритов моноклиновых гранитов и сиенитов. Граниты в составе описываемого комплекса на территории массива имеют чрезвычайно малое распространение, а сиениты практически не встречаются. Зесьме характерным является псевдостратификация массивов, хорошо выраженная планка-вильельмская текстура, сочетающаяся с расслоенностью интрузивных тел; отдельные "слой" иногда выдерживаются на значительные расстояния, подчеркивая колбачевые формы массивов. Им также присущи своеобразные петрографические и металлогенические особенности, по которым они легко отличаются от других комплексов. В структурном отношении плутонии Казирского комплекса расположены в зоне расколдов Базыбайского глиболового пояса и в области ограничивающих его глубинных разломов, заложенных вдоль кембрийских троговых зон. Такая геолого-структурная обстановка с одной стороны обеспечила поступление порциймагматического расплава с большой глубины, а с другой способствовала дифференциации вещества в условиях жесткой консолидированной рамы. Наряду с чертами сходства, отдельные массивы имеют определенные черты различия, которые сводятся к колебанию состава пород, в зависимости от степени дифференциации и условий образования. Учитывая это, в описание пород Казирского комплекса заложена краткая характеристика отдельных массивов.

Массив горы Осередок находится на водоразделе рек Ниж. и Мал. Китатов и представляет собой классический пример псевдорасслоенного plutona с кольцевым концентрическим строением. Хорошо видна внутренняя зональность массива, состоящего из двух самостоятельных ритмично построенных дифференцированных интрузивных серий. Каждая кольцевая серия в своей донной части сложена пироксенитами и варлитами; вверх по разрезу наблюдается четкая дифференциация до габро-норитов, габро и лейкократовых габро. Третий особенностю Осередка является наличие гранитов в виде сокушек и постовой язовидистине.

Массив имеет воронкообразную форму и относится к типу дискордантных тел. Мощность его 1900-2400м. Внутренняя структура подчеркивается первичной расслоенностью пород, четкой дифференциацией габброидной матрицы с хорошо развитой псевдостратификацией и плашадильностью текстур. "Слой" магматических пород дает непрерывно чередующиеся серии, различающиеся по цвету, составу и структурам. Они объединяются в мега-, макро- и микроритмы. Мегаритм отвечает выше описанной серии дифференцированных пород. Мощность нижнего мегарита 900-1100м, верхнего 1000-1300м. Макроритмы имеют мощность от 10 до 100м, а микроритмы - это "слой" пород 1-3-8см, имеющих как постепенные, так и резкие переходы между собой. Внутри ритмичных серий наблюдается такая последовательность пород: варлиты, лердолиты, роговообманковые перидотиты, оливино-пироксениты, пироксениты, горнбландиты, габро-пироксениты, габро-нориты, оливиновые габро, меланократовые и лейкократовые габро, троктолиты, габро-анортозиты.

Варлиты относятся к наиболее широко развитой разности перидотитов. Состоят они из оливинов - 40-50, моноклинного пироксена (авгит) - 35-50, шпинели - 10-15%. Иногда в варлитах в незначительном количестве встречается плагиоклаз. Лердолиты развиты ограниченно. В отличии от варлитов в них кроме оливинов и авгита, важное значение приобретает ромбический пироксен.

Роговообманковые перидотиты содержат моноклинный пироксен - 45, оливин - 25, роговую обманку - 20, шпинель - 10%. В некоторых перидотитах присутствует хромит. Пироксениты состоят из моноклинного пироксена - 85-90, роговой обманки - 3-5%, авгита, плагиоклаза. В некоторых разностях авгит достигает 6, а плагиоклаз 5-10%. Моноклинный пироксен встречается в двух разновидностях: бесцветный авгит и зональный титан-авгит. Вестериты встречаются редко. Состав из авгита - 70 и титанстена - 20, бурой роговой обманки - 5, плагиоклаза - 3 и магнетита - 2%.

Оливиновые габро пользуются значительным распространением среди пород массива. Они имеют габбровую или габро-ойбитовую структуру, трахитоидную текстуру. В их состав входит: плагиоклаз - 40-45, пироксен - 25-30, оливин - 20-30, роговая обманка - 3, доломит 2%, магнетит, титаномагнетит, ильменит, авгит, сфен. Иногдарудные минералы присутствуют в количестве до 10-15%, придавая породе сидеронитовую структуру.

Характерно, что салицеские и щемильские минералы в габро имеют тенденцию к обособлению, вследствие чего наблюдается чередование лейкократовых и меланократовых полос различных по составу. Кроме того, большинство кристаллов плагиоклаза (лабрадор №55-60)

и пироксен (титан-авгит) имеют хорошо выраженную ориентирован-

ное расположение, придавая породе трахитоидность. В габбро-нори-

тах, кроме авгита, присутствует бронзит или гиперстен в количест-

ве 15-20%. Троколиты имеют темно-зеленый, с оливковым оттенком

цвет, средне и мелкоизернистую структуру, трахитоидную текстуру.

Состоит из плагиоклаза - 60-65 и оливин - 30-35%, в незначитель-

ном количестве присутствует бронзит, роговик обманка, биотит, маг-

нетит, титаномагнетит.

Меланократовые оливиновые габбро состоят из плагиоклаза-лаб-
радора №50-55 - 25, моноклинного пироксена - 30, оливина - 40,
биотита - 3, магнетита - 2%. Лейкократовые оливиновые габбро свет-
лоокрашенные, крупно- и среднезернистые породы. От оливинового и

меланократового габро отличаются большим содержанием лабрадора
- 30-35, меньше - титан-авгита - 5-15 и оливина - 5-10%. Нормаль-

ные габбо в сравнении с ранее описанными породами пользуются
меньшим распространением. Они развиты как во внешнем так и внут-
реннем кольце массива г. Осередок. Обычно средне- и крупнокристал-
лические, с типичной габбровой структурой. Для их минералогичес-
кого состава характерны лабрадор №45-50, авгит, в подчиненном ко-
личестве оливин и роговая обманка. Магнетит, титаномагнетит и иль-
менит иногда имеют существенное значение в составе габро, - при-
сутствуя в количествах до 10-20% от общего состава породы.

Граниты в массиве г. Осередок встречаются в виде сухих и по-
слойных тел, иногда кольцевых лежек. Имеют серовато-белый цвет со
слабым розовым оттенком. Структура средне- и равнокварзоизернистая,
иногда порфировидная. Микроструктура гипидиоморфноизернистая. В
состав гранитов входит кварц - 30-35, микроклин и микролерит -
25-40, зональный плагиоклаз - 25-35, биотит - 5-7%. Из аксессор-
ных минералов - циркон, орбит, апатит, магнетит.

В массиве горы Осередок, кроме описанной выше ритмичности
габбродиных пород, наблюдается рудная зональность, выраженная в
локализации меднникелевого оруденения к верхнему, пироксенитам
и габбро-пироксенитам, а титаномагнетитового - к меланократовым
габбро и габбро-коритам. На начальных стадиях кристаллизации мат-
матического расплава имела место гравитационная дифференциация, что привело к образованию перидотитов и пироксенитов, обособлен-
ных от габбро. В дальнейшем кинетически-гравитационная дифферен-
циация способствовала разделению пород на мелано- и лейкократовые
разности, обусловленные "сплюсинг" строение габбродиных серий. Образо-
вание каждой ритмической серии или кольца связано с внедрением
самостоятельных пород матмы, и ее дифференциации, разделенных
тектоническими подвижками.

В третью фазу произошло внедрение гранитомидов.

Булкинский массив имеет чашеобразную форму и разделяется на
две сплошные серии. Нижняя серия сложена переслаивающимися оливи-
новыми габбро-анортозитами, габбро-норитами, габбро, анортозитами,
изредка в подошве массива встречаются горные яйцы. Верхняя серия
представлена лейкократовыми троколитами, оливиновыми габбро-анор-
тозитами и анортозитами. Одной из характерных особенностей масси-
ва является лейкократовость пород (Орилов, 1954), среднее содерж-
ние цветных минералов составляет - 25-28%. Трахитоидность в пре-
делах массива падает к его центру под углом 30-60°, выложива-
ясь до горизонтальной. В целом он имеет асимметричное строение с
погружением оси к северу. В отличие от Осередка, в составе булкин-
ского массива нет пироксенит-перидотитовых колец, спорадически
встречаются лайки гранитоидов.

В строении канатинского массива, расположенного в бассейне
р. Табрат, принимают участие оливиновые габбро, нориты, габбро-но-
риты, габбро-диориты, лейкократовые габбро, биотит-тирестьениты
диориты и лабрадориты, связанные между собой постепенными перехо-
дами. В плане массив имеет форму неправильного эллипса с длинной
осью до 7 км. Падение плоскости контакта с эпилягами толщинами вну-
три пол. массива с углами от 40 до 70°. Вероятно, имеет форму лополита.
Базыбайский массив расположен на водоразделе рек Казира и Да-
зыбая. Восточное его окончание находится за границу района. Он
имеет изометричную форму и концентрическое строение. Вмещающие
гнейсы деринской (базыбайской) серии падают к центру массива под
углами 30-60°. Массив имеет форму лополита. В нем наблюдается чет-
кая отрицательная и плюнгаралльные текстуры. Толщина лополита
140м, что составляет 1/10 его диаметра. Внутреннее строение и
состав напоминает массив Осередок. К наиболее характерным породам
следует отнести габбро, габбро-нориты, диориты, гиперстеновые дио-
риты, пироксениты, горнбледиты и очень редко - граниты. В верхней
части plutona встречены ксантолиты амфиболитов, гнейсов и мраморов.

Аналогичное строение имеет Поповский массив в верхне р. Мал. Кигат.
Дильные образования Казырского комплекса представлены лайками
оливиновых микрогаббро, одилитов, исситов, малхитов, овербахитов,
лампрофитов, габбро-пегматитов, гранит-аплитов.
Контактовые среоды незначительны по размерам, но указывают на
активное воздействие интрузии, выражющееся в образовании бимит-
плагиоклазовых и амфиболовых роговиков, диопсид-гранатовых сар-
нов и мраморов.

Результаты химических анализов показывают хорошо выраженную

дифференциацию пород комплекса от перидотитов до гранитов. Фигуративные точки составов пород Осарадокского и других массивов об разуют единую вариационную линию, проекции которой на щелочную и известковистую плоскости тетрагона говорят о постепенном изменении главных параметров в связи с повышением общей кислотности, величина которой варьирует от 37 до 64 и от 76 до 81. Данные для базитов и гранитов будут рассмотрены раздельно, поскольку они весьма различные - часто полярны. Основные различия представляют собой дифференцированный ряд нормального состава, а граниты - плюсизитового. Породы габброидного и перидотитового ряда относятся к группе очень бедных и щелочных щелочами ($a=0,1-9,9$; $a:c=0,11-2,9$), величина параметра "a" для гранитов колеблется от 13 до 14,7, а значение $a:c$ от 1 до 14. Кварцевое число указывает на ненасыщенность базитов кремнекислотой ($q=-4$ до -34), а для гранитов плюситов очень близка к нулю ($q=25$ до $34,6$). Параметр "c" меняется от 1-2 до 14. Весьма выражена национальная специализация основных пород ($n = 76-95$), в то время как для гранитов колеблется от 51 до 63. Величина коэффициента Г.Хесса $\frac{MgO}{FeO}$ меняется от 0,9 до 6,38, что указывает на базальтическое происхождение пород (Кузанцов, 1964). Барицационная линия комплекса почти точно соответствует естественному ряду перидотит-пироксенит-габбро-гранит по Р.Дали, неизменно отклоняясь от него в сторону пород бедных щелочами и более богатых полевошпатовой известью (см.рис.2).

Наиболее характерными малыми петротипами элементами комплекса являются стронций - 0,01, барий - 0,02% распространенные во всех типах пород равномерно. Литий - 0,001 более характерен для габбро. В троктолитах, верлитах и пироксенитах он встречается реже и в меньших количествах. Очень характерна группа малых элемен тов железа. Максимальные содержания никеля - 0,4% приурочены к пироксенитам и перидотитам нижнего кольца. Одновременно повышаются концентрации хрома - 0,03, кобальта - 0,006%. В гранитах роль элемен тов группы железа резко понижается. Для них более характерны редкоземельные и редкие элементы.

Описанные массивы очень четко диагностируются дифференцированием аэрофотоснимков, при котором хорошо вырисовывается их форма и внутреннее строение. Особенной наглядностью отличаются массивы Осаредок, Баязбайский, Кана-тиксин и Нижне-Китятский. На картах изодинам Δ_a описываемые массивы характеризуются локальными магнитными аномалиями в 800-1700 гамм, а отдельные детальные магнитные планы подчеркивают концентрическое строение дифференцированных plutons. Напряженность магнитного поля в отдельных точках достигает в 15-37 тыс.гамм.

Казырский комплекс относится к раббо-пироксенит-перидотитовой формации и сопоставляется с Логоторским комплексом (Золотков, 1964).

Возраст Казырского комплекса - нижнепалеозойский, так как он прорывает алаусскую свиту верхнего кембрия и в свою очередь интрузируется белыкскими гранитами. Галька пироксенитов и габбро-норитов найдена в базальных контломератах имирской свиты в истоках р.Мал.Кандат и в левой вершине р.Конный Таят.

Б о л л и к с к и й и н т р у з и в и й к о м п л е к с (TS) слагает массивы горы Козя, расположенный на отрогах хребта Крыжана, горы Сухой Восточный озеро Тюберкуль, Бахтатский северо-восточное Заимки Верх.Казырской, Озборный, Хомутинский и два базальных массива на хребте Шандын в истоках Багры, Чота и Мал.Кандат. Площади массивов обычно 36 - 65км². Более мелкие тела площадью 1,5-2км² расположены юго-восточнее горы Княжеский облок и на правобережье р.Систиг-Чема. По форме залегания это лакколиты, штоки и трещинные интрузии, по условиям формирования среднеглу бинные. Петрографический состав пород комплекса зависит от величины денудационного среза и степени ассимиляции выдавливших пород. Массив горы Сухой, Канакский, Озерный, Хомутинский и базимянные массивы хребта Шандын, имеющие четкие крутые контакты с падением под вытянутые породы и достаточно глубоко эродированные, характеризуются монотонным, мало меняющимся составом. Они сложены равно мернозернистыми, среднекристаллическими розовыми, розово-серыми и серыми яйсицитами, биотитовыми, редко биотит-роговообманковыми гранитами. Яйсициты имеют глидиоморфо-зевернистую структуру и содержит: кварца до 27-40, калиевого полевого шата до 32-48, олигоклаза до 22, биотита до 5%. Из акцессорных минералов встречаются апатит, магнетит, циркон, сфен. Биотитовые граниты состоят из калиевого полевого шата, кислого плагиоклаза, кварца и подчинен ного количества биотита. Гибридные разности представлены гранодиоритами, кварцевыми диоритами, диоритами и гасор-диоритами с такситовыми текстурами.

Массив горы Козя, Бахтинский и Хомутинский имеют малый эрозионный срез и характеризуются пестрым петрографическим составом. Главная роль в их строении принадлежит биотитовым, биотит-роговообманковым гранитам и яйсицитам. В краевых частях массива р.Козя и в контактах Бахтатского массива широко развиты гибридные породы, отличающиеся по составу сиенито-диоритам, граносиенитам, гранодиоритам, кварцевым диоритам, диоритам, габбро-диоритам и габбро. Гибридное происхождение этих пород подчеркивается такситовыми

текстурами, резкими колебаниями в размерности минеральных компонентов, приуроченностью их к эндоконтактным массивам и наличием в породах большого числа ксенолитов вмещающих пород. Систиг-Хемский массив сложен мусковитовыми гранитами. Породы слабо катаклизированы и несут следы постмагматических изменений, выражавшиеся в залегении калиевого полевого шпата мусковитом, присутствии зерен кальцита и циркона.

К химическим исходникам Белынского комплекса относятся высокая кислотность ($s = 78-84$), большое количество свободного кремнезема ($q = 28-42$), богатство щелочами ($a:c=10-25$). Гранитоми-ди комплекса относятся к альбикам и гранитам силикам к средним типам по Р.Дали. Как правило они пересыпаны глиновым, но встречаются и породы нормального ряда. Величина α , равная 53-62, говорят о кальевой специализации и о разных соотношениях K_2O и Na_2O . Появление малых элементов характеризуется равномерным распределением в них лития — 0,006, рубидия — 0,007, бария — 0,01. Ничто не мешает содержания элементов группы железа. Цирконий присутствует в породах всех массивов в количествах до 0,01%. Из металлогенных элементов наиболее распространены: медь, молибден, сцинцелевого и галлия. В гибридных породах заметно возрастает роль эле-ментов группы железа.

возраст пород Бельгского комплекса считается сибирским и основанием прорыва пород альсугской свиты верхнего кембрия и наименованием гальки альсакитов в конгломератах имирской свиты.

Буеджульский и трузинский комплексы ($\gamma - \varepsilon D_1$) представлены Долгореческими и Айнинскими массивами. Первый расположен в бассейнах рек Долгоречки и Тартак, второй в вершине р.Айны. Массивы имеют форму ланцетов и по условиям

обра зования относятся к среднеглубинным. Попеченский массив вскрыт эрозией недостаточно глубоко, о чём свидетельствуют сохранившиеся на нем остатки кровли, частично порфировидные, разнозернистые структуры и тектитовые текстуры пород. Контакты массива четкие, крутые. Массив сложен биотит-роговообманковыми и лейкократовыми гранитами, граносланцами и кварцевыми сиенитами. В краевых зонах встречаются гибридные породы, по составу отвечающие диоритам. Граниты розового, желтовато-розового цвета средне- и крупнокристаллические, имеют гипидиоморфозернистую, пегматитовую, реже гранулитовую структуры. Часто встречаются порфировидные разности. Граниты состоят из калиевого полевого шпата - 35 до 45%, кварца - 27-30, олигоклаза - 20-30, биотита и роговой щеманки - 7-10%. Из акцессорных минералов - апатит, циркон и магнетит. Лейкократовые граниты отличаются от описанных пониженным содержанием гематитов. Айнинский массив сложен массивными, среднекристаллическими лейкократовыми биотитовыми гранитами и амфиболитами, состоящими из кварца - 30-35, калиевого полевого шпата - 40-45, кислотного плавиксала и биотита 3-5%.

Жилая фация комплекса представлена гранит-порфирями, порфирами, гранит-аплитами. Близ Айнинского массива характерно развитие большого числа **кирпично-белого кварца**. Наблюдаются четкие ореолы метаморфизма, в контактах встречаются кварц-полевошпатовые роговники с эпидотом, роговой обманкой, омитом, магнетитом. В контактах Полпереченского массива развито окварцевание, роговникование, эпидотизация и пиритизация. Мощность ореолов в песчаниках и сланцах 150–200 м, в эфузивах от 1–2 до 5 м.

Из акессорных элементов для пород Полпереченского массива характерны повышенные концентрации церия – 0,11, меди – 0,012,

Иттрий - 0,002, молибден - 0,000, серебра манган - 0,001%.

Стронций, бериллий, ванадий и цирконий распределены в породах разномерно. В 20% проб определены лантан и эисмут.

ченского массива относятся к группе гранитов — квадровых монцонитов. Они умеренно пересечены кремнеземом ($Q=20$), шелочами ($a:c=5,6$) и глиноzemом. Величина $n = 68-70$, что указывает на повышенную роль натрия. Для Айнинского массива характерны несколько иные черты. Это ультракисые породы ($Q=36-39$), богатые щелочами ($a:c=10-25$), бедные темноцветами, пересеченные глиноzemом. Они близки

Нижнедевонский возраст Буюккульского комплекса определяется на основании прорыва или луканогенных образований имирской свиты. По этим свойствам к алискитам по Р-Дэни.

Отнесение Айнинского массива к данному комплексу условно. По составу пород и данным абсолютного возраста по биомиту равно 468 млн. лет (определения Н.И.Полевом) правило это относит к Белымско-му интрузинному комплексу.

Лутагский и нитрузинский комплексы

(γ - ϵ D₂) развит в южной части территории, образуя Шандинский, Паркинский, Солнечный, Кузьминский,Правобережный массивы и серию мелких тел в бассейне р.Кандат. Значительный по площади Шандинский массив занимает водораздел рек Кзыра и Кандат, слагая одиночный хребет. Паркинский массив располагается на северных отрогах Паркина Белка. Солнечный – в верховьях р.Ниж.Тридатки, Кузьминский – юго-западнее одноименного озера, Правобережный по р.Кандат ниже устья р.Эргак.

В составе комплекса принимают участие щелочные граниты, гранофировые граниты, субаллювийные розовые и красные биотитовые и роговообманковые граниты, порфировидные граниты, граносиениты, сиениты, цевоочные сиениты, кварцевые монцониты. В краевых частях интрузивных массивов образуются гранодиориты и диориты. Для роговитов характерны гипидиоморфно-вернистые гранофировые структуры. Состоит они главным образом, из калиевого полевого шпата – 55-70% и кварца – 25-40%, в незначительном количестве алббит-плагиоклаза или олигоклаза №12-27, биотита и роговой обманки. Из акцессорных минералов встречаются магнетит, апатит, циркон, иттриевый сфен и ортит. Количества магнетита иногда возрастает до 3-4%. В биотитовых гранитах, развитых больше всего в Паркином, Солнечном и Кузьминском массивах, из титаноцветов присутствует только биотит, содержание которого изменяется от 4 до 7%. В лейкократовых разностях содержание биотита не превышает 1-2%.

Гранофировые и порфировидные граниты имеют тот же состав, отличаются широко развитым прорастанием калиевого полевого шпата квартцем или наличием порфировых выделений калиевого полевого шпата. Они развиты на щандине и Паркином Белке. В биотит-роговообманковых гранитах наряду с биотитом присутствует роговая обманка до 5%. Одновременно уменьшается количество микроклина и микроклин-пертита, увеличивается плагиоклаз. В роговообманковых разностях зеленая роговая обманка присутствует до 10%.

Роговая обманка, всевед за микроклин-пертитом, относится к характерным минералам Лутагского комплекса, присутствуя в большинстве разновидностей пород. Она как правило обыкновенная, но иногда щелочная, представленная рибекитом или арфедсонитом. Щелочные граниты широко развиты в бассейнах рек Чёт и Багра, слагая центральную часть массива Шандин. Менее распространены в Паркином и

Правобережном массивах. Они часто имеют микролепматитовую структуру и состоят, в основном, из микролептита – 50-55, кварца – 30-33 и рибекита – 8% или арфедсонита. В вершине Пряной Баты в щелочных гранитах кроме рибекита, появляется эгирии в длинопризматических кристаллах грязно-зеленого цвета. Граниты поставлены, через граносиениты, переходят в квадровые сиениты. В щелочных кварцевых сиенитах кроме рибекита присутствует эгирии.

Среди пород комплекса широко развиты гранит-порфирь, тяготеющие к красным и апикальным частям интрузивных тел. Они имеют четко выраженную порфировидную структуру с вкраплениниками калиевого полевого шпата и олигоклаза №20. Основная масса микро-аллито-морфозернистая состоит из кварца, разложенного калиевого полевого шпата и измененного плагиоклаза. Из темношпатовых минералов встречается зеленая обыкновенная роговая обманка и биотит.

В малых массивах комплекса, а так же в эндоконтактах крупных тел встречаются диориты и монцониты, представляющие вероятно гибридные разности пород. Диориты установлены на хребте Паркин Белок, в южной части одноименного массива, состоят из зонального андезина и андалуз-и-биардора – 53-55, роговой обманки – 38-39, олигита – 2-3%. Для них характерно обилие вторичных минералов: эпиломита, хлорита, кальцита, албита. В диоритах малых массивов, иногда присутствует альбит. Гранодиориты наблюдаются в юго-западной части массива Шандин, на Паркином Белок, в Солнечном и Малых массивах. Они имеют гипидиоморфно-вернистую структуру, такситовую текстуру. Состоит из редко меняющихся количественных соотношений калиевого полевого шпата – 18-36, плагиоклаза – 20-40, кварца – 20-25, роговой обманки и биотита – 15-20%. Плагиоклаз соответствует андалузину №34-37.

Щандинская фация представлена аplitами, щелочными сиенит-аплитами, порфиритами, сиенит-порфиритами и редко пегматитами. Конкактные изменения обычно выражаются в ортогнейковании, окварцеванием и зандризации змеевидных пород.

По петрохимическим особенностям породы Лутагского комплекса отличаются преобладанием в их составе щелочных гранитов, в отдельные изменения обычно выражаются в ортогнейковании, окварцеванием и зандризации змеевидных пород.

По петрохимическим особенностям породы Лутагского комплекса отличаются преобладанием в их составе щелочных гранитов, в отдельные изменения обычно выражаются в ортогнейковании, окварцеванием и зандризации змеевидных пород.

По петрохимическим особенностям породы Лутагского комплекса отличаются преобладанием в их составе щелочных гранитов, в отдельные изменения обычно выражаются в ортогнейковании, окварцеванием и зандризации змеевидных пород.

Породы богаты щелочами ($a=13-16,6$, $p=57-63$ до 68-70. Характерно высокое значение коэффициента φ районе 18-35, с отклонениями числовыми от 72 до 80, число $Q=21-26$, с единичными отклонениями до 30. Отмечается бедность известью ($c=0,5-1,9$). Породы богаты щелочами ($a=13-16,6$, $p=57-63$ до 68-70. Характерно высокое значение коэффициента φ районе 18-35, с отклонениями до 40, что говорит о наличии расщепленного пегматита, окрашивавшего породы в буровато-красный цвет. Вариационная линия пород комплекса идет через щелочные граниты, по Р.Дэли, к щелочно-земельным сиенитам.

для пород Лутагского комплекса характерно равномерное распределение малых петротрених элементов лития - 0,004, рубидия - 0,008 и бария - 0,02%. Из группы железа в повышенных концентрациях присутствуют лишь титан - 0,3 и ванадий - 0,004%. Очень характерным элементом является молибден - 0,001%, в особенности для Шанданско-го массива. Из металлогенных элементов в повышенных концентрациях присутствуют цинк и свинец. Появление элементов-примесей в постмагматическую стадию изучено по району Багринского месторождения. Оно характеризуется накоплением в жильных и грейзен-зиррованных породах молибдена, вольфрама, иттрия, иттербия.

Породы Лутагского комплекса обладают повышенной магнитностью и на картах АТИД дают положительные аномалии до 300-600 гамм. Возраст комплекса определяется как среднеалевинский по прорыву горной тонкой синты. В Идринском районе (Зуокус, Шнейдер, 1960) галька город Лутагского комплекса находится в базальных контактирах толпаковской синты жигестского яруса.

Окуневский и Итрызинский комплексы (ГРз₃) развит в пределах тектонической зоны северо-восточного простирания, и в виде цепочки малых интрузий протягивается от Истоков рек Казыр и Бахтат. В пределах этой зоны отмечены пять малых массивов, из которых два: Окуневский и интрузия Сухого Дюя изучены более детально. Высокая и повышения радиоактивность малых интрузий и их контактовых ореолов, щелочная специализация, интенсивная альбитизация, весьма характерная металлогеническая направленность, выражавшаяся в образовании редкоземельных, флюорит-бериллиевых, циркониевых и силициевыхрудопроявлений, полностью приуроченных к массивам Окуневского типа, уже давно привлекают внимание к их изучению.

Состав гранитоидов довольно постоянный. Это массивные, среднеразмерные желтоватые и голубовато-серые щелочные рибекитовые и роговообманковые граниты, реже встречаются щелочные аляскитовые разности. Гранитоиды имеют гипидроморфозернистую структуру с резким идиоморфизмом щелочного полевого шпата и ксеноморфным развитием щелочного амфиболя и кварца. Нередко встречаются катакластические и порфировидные, а также микрографические структуры. Щелочные рибекитовые граниты состоят из микроклин-пертита - 60-65, кварца - 25, рибекита - 7-10, иногда эгирин-авгита - 3-4%, акцессорных и вторичных минералов: циркона, флюорита, магнетита, эпидота и кальцита. Калиевый полевой шпат имеет грубую перитовую структуру. Местами развит щахматный альбит, почти полностью замещающий калиевый полевой шпат. По рибекиту развивается эпидот и зеленоватый игольчатый амфибол. Весьма интересен эгири-

авгит, нередко зональный, с неполным погасанием и резким пневхромизом. По данным Н.Н.Амшинского эгирин-авгит содержит повышенное количество берилла, в виде изоморфной примеси.

Роговообманковые граниты встречаются реже, имеют гранитовую и пойкилитовую структуру, состоят из олигоклаза - 40-45, кварца - 23-26, микроклин-пертита - 18-22%, щелочной и обыкновенной роговой обманки, биотита, циркона, апатита, хлорита. Жильные породы представлены дайками мицодолитов, плагиоклазовых порфиритов, гранит-аплитов, сиенит-порфиров и весьма интересными кварц-альбитовыми жилами с эльбидитом и пироклором.

Циролит контактового изменения распределены неравномерно, на отдельных участках имеют ширину от 50 до 150 м. В составе пород отмечаются тримолитовые, тримолит-скаполитовые, волластонитовые, диопсидовые, пироксен-амфиболовые и гранатовые скарны, роговники, кварциты и мраморы. Постмагматические процессы в интрузиях выражены в интенсивной альбитизации, особенно вдоль многочисленных тектонических трещин. Одновременно с этим в эндоконтактах интрузии обнаружены зоны и участки альбитизации. Природа этих явлений метасоматическая. Альбитизация имеет две стадии, одна из которых приурочена к гранитам, вторая к кварц-альбитовым жилам. Со скарнами и гидротермально-пневматолитовыми процессами связывается редкоземельная, торцевая и частично урановая минерализация.

По химизму породы Окуневского комплекса резко отличаются от других интрузий. Они относятся к агпаитовому и плюмазитовому ряду, перевешены кремнеземом ($Q = 18-32$), щелочами ($C = 0,4-7,9$) обогащены глиноэтом, имеют повышенную железистость ($F = 60-80$, $F = 31-40$), содержат чистотное количество кальция. Коэффициент агапитности рибекитовых гранитов $\gg 1$. Породы обладают калиевой специализацией, но они интенсивно альбитизированы, в связи с чем число n возрастает от 54 до 67. Характерными элементами-примесями являются иттрий, ниобий, иттербий, лантан, бериллий, олово, цирконий, литий, рубидий, свинец и цинк. Весьма разнообразна минеральная обстановка, бекелит, анклилит, торит, ураноторит, монозит, циртолит +, гельвин, пентельвин, лейкокан, даполит, иттрокальцит, иттроклорит, эльбидит.

Абсолютный возраст щелочных гранитов Окуневской интрузии, согласно данных Б.М.Жуковского был определен по биотиту и дал цифру 270±5 млн. лет (Лаборатория Уральского отделения АН СССР, 1965 г.).

+/ Первые восемь минералов определены в лаборатории ОИИРИГИМС Н.Н.Амшинским, Л.И.Орловой, А.М.Горб и др.

Химические составы интрузивных пород

Таблица 2

Оксиды	I	2	3	4	5	6	7	8	9	10	II	12	13	14	15
SiO ₂	40,56	38,64	52,48	47,90	39,02	44,04	37,16	71,42	63,64	74,82	76,08	74,78	70,68	61,76	70,91
TiO ₂	0,06	0,08	0,22	0,95	1,70	3,00	2,28	0,32	0,54	0,22	0,13	0,25	0,45	1,09	0,20
Al ₂ O ₃	1,43	0,85	18,02	18,92	20,43	9,48	10,12	14,12	16,83	13,28	12,86	12,56	13,91	15,40	II,73
Fe ₂ O ₃	4,40	4,64	4,53	3,05	7,93	8,42	8,30	0,83	2,56	0,24	0,77	1,13	1,05	2,53	1,84
FeO	4,31	4,06	5,28	5,53	8,26	7,54	7,65	1,06	2,91	1,22	0,88	0,97	1,97	4,74	1,85
MnO	0,17	0,13	0,14	0,05	0,15	0,15	0,16	0,023	0,12	0,03	0,04	0,04	0,09	0,16	0,08
MgO	41,12	47,00	4,64	6,72	6,42	9,13	24,32	0,60	1,56	0,12	0,11	0,55	0,68	2,02	0,35
CaO	0,79	0,27	8,82	12,64	12,92	19,18	17,24	2,10	6,47	0,81	0,25	0,56	0,97	3,48	0,99
Na ₂ O	0,31	0,05	3,30	2,03	1,77	1,18	0,40	3,30	3,10	4,20	3,64	3,80	4,35	3,80	4,20
K ₂ O	0,18	0,08	1,07	0,42	0,41	0,39	0,15	4,70	0,34	4,10	4,10	4,80	4,33	3,20	4,60
P ₂ O ₅	0,016	0,027	0,25	0,071	0,50	0,20	0,11	0,06	0,15	0,003	0,028	0,021	0,060	0,39	0,088
п.п.п.	7,47	3,52	0,59	2,47	1,23	2,24	1,01	0,47	1,19	0,30	0,55	0,61	0,60	1,20	0,49
Сумма	100,82	99,35	99,32	100,75	100,74	99,95	99,40	99,80	99,41	99,34	99,45	100,07	99,64	99,77	99,53

Числовые характеристики по А.Н. Заваринскому

a	0,76	0,15	9,2	5,63	4,85	2,9	1,0	13,8	7,6	14,78	13,3	14,7	16,82	13,13	15,1
c	0,40	0,25	8,0	II,47	12,52	4,6	5,5	2,4	8,0	0,92	0,3	0,7	0,80	3,87	0,2
b	62,07	66,34	20,5	27,85	32,53	42,2	54,2	3,60	8,10	1,91	3,9	2,8	3,35	10,98	4,5
s	36,75	33,24	62,3	55,04	50,I	50,3	39,2	80,20	76,30	82,37	82,5	81,8	79,22	72,01	80,2
a'	-	-	-	-	-	-	-	-	-	20,69	63,0	70,0	-	-	-
c'	0,57	0,31	15,6	21,37	14,38	42,0	15,2	6,00	2,20	-	-	-	12,00	3,77	25,0
r'	10,42	8,94	44,8	32,45	49,2	28,0	17,0	67,00	63,90	68,96	32,0	63,0	56,00	64,77	63,2
m'	89,0	90,73	39,6	46,20	36,5	35,0	67,8	27,0	33,9	10,34	5,0	30,0	32,00	31,44	II,8
n	71,43	66,66	82,0	88,49	87,7	83,0	80,0	51,00	96,0	60,70	57,I	54,5	62,90	64,21	59,I
t	0,14	0,15	-	16,13	3,3	5,0	4,3	0,01	-	0,24	-	-	0,42	1,34	2,0
a:c	4,90	4,51	19,5	10,67	22,5	6,5	4,7	20,0	29,0	10,34	18,5	33,0	20,00	20,13	32,00
Q	1,90	0,6	I,0	0,49	0,38	0,5	0,2	7,0	0,95	16,06	33,0	21,0	20,77	3,39	75,00
-28,30	-34,05	-I,8	-12,64	-22,2	-9,8	-28,9	+30,4	+19,7	+34,28	+38,0	+33,5	+24,41	+13,90	+30,00	

Примечание: I - обр. 5629, гарцурит, Эргакский массив; 2 - обр. 4565, дунит, Эргакский массив; 3 - обр. 5001, лейнократовое габбро, Базыбайский массив; 4 - обр. 5283, меланократовое габбро, г. Осередок; 5 - обр. 5013, оливиновое габбро, Базыбайский массив; 6 - обр. 598, троктолит, г. Осередок; 7 - обр. 3051, верлит, г. Осередок; 8 - обр. 647, гранит, г. Осередок; 9 - обр. 3732, тоналит, р. Б.Канд; 10 - обр. 950, альянит, г. Сухая; II - обр. 32, гранит, хр. Шандын; I2 - обр. 3556, гранит; галька из лавы имирской свиты, хр. Шандын; I3 - обр. 1005, щелочный гранит, истоки р. Бегры, хр. Шандын; I4 - обр. 3383, роговообманиковый сиенит, истоки р. Малый Таят, хр. Шандын; I5 - обр. 7091, рибенитовый гранит, Окуневский массив. Анализы выполнены в Центральной лаборатории КГУ.

При тектоническом районировании в северной и центральной частях плоскости листа выделяются структуры Восточного Саяна, на юге Западного Саяна, Систиг-Хемского прогиба и восточного окончания Минусинской межгорной впадины. К структурам Восточного Саяна относятся Базыбайский выступ, ряд обрамляющих его грабенов, сложенных породами верхнего протерозоя и восточная часть кембрийского Сисим-Казирского синклиниория. Минусинская впадина представляет собой приразломный наложенный Амуро-Кандский прогиб и отдельные мелкие мульды, разбитые в северной части района.

Внутреннее строение крупных структурных элементов является гетерогенным. Они смягчаются геологическими формациями четырех структурных комплексов, один из которых подразделяется на две зоны или яруса. Линии сопряжения структур обычно являются разломами. Внутреннее строение отдельных блоков осложнено дислокационными нарушениями. Последние неоднократно подновлялись и служили путями проникновения эфузивных и интрузивных образований протерозойского, кембрийского и девонского возраста (рис. 3).

И И Н - И С Р Е Д Н Е П Р О З О И С К И Й С Т Р У К Т У Р Н Ы Й К О М П Л Е К С . Докембрийские складчатые сооружения, входящие в состав первого структурного комплекса, сложены породами базыбайской свиты. Главным структурным элементом этого комплекса является крупный Базыбайский горстовой выступ, а также, по-видимому, ряд невскихих эрозий погруженных глыб. Базыбайский выступ имеет форму клина, длинная ось которого вытянута в широтном направлении. Его размеры в пределах листа структуры, имеющие размеры 45x25 км, к востоку он постепенно сужается продолжается более чем на 40 км. Гнейсы и кристаллические сланцы интенсивно дислоцированы, собраны в систему сжатых изоклинальных и опрокинутых складок, осложненных дополнительной гофрировкой и плойчатостью. Наблюдаются

на основании этого возраст Окуневского комплекса определяется как посткарбоновый (верхнепалеозойский), слизкий к пфальцской фазе складчатости. Авторы не исключают возможность более молодого мезозойского его возраста. Он сопоставляется с Сейбинской субщельчной интрузией, цифры абсолютного возраста которой разны 238-245 млн. лет. К Окуневскому комплексу, вероятно, следует отнести порфиры и гранитпорфы, развитые по р. Кыят, ниже Хайровских озер, на водоразделе р. Спиридоновки с кл. Пирротиновым, в истоках р. Мал. Кандата и в районе озера Бахтатского.

ТЕКТОНИКА

ся элементы дистармоничной складности и только количество избыточных нарушений типа взбросов и надрывов.

Базыбайская глиба ограничена крупными региональными разломами, отделяющими ее от верхнепротероидских и комбрийских образований; в ряду других структур является наиболее устойчивой. К северу и западу от нее происходит ступенобразное погружение кристаллического фундамента. Одновременно около выступа наблюдалась постепенное нарастание и консолидация складчатых комплексов горлов, каморий, а затем и девона, с закономерным распределением осадочных и магматических формаций. Более отчетливо выражает-ся роль Базыбайской глибы и погруженных блоков фундамента в дальнейшей геологической истории района. Она является тем жестким основанием вокруг которого происходит выращивание основных ветвей каморийской антиклиналии. К югу и северу от Базыбайского выступа происходит соразмерие Кандалакшского и Лыжурского глубинных разломов, с активной магматической деятельностью в нижнем камории. Пояс мобильных тектонических блоков, периферии глибы обраузуется на севере от Базыбайского выступа, оказывавших влияние на определенную зональность в распределении интрузий гипербазитового, габброидного и гранитоидного состава.

В южной части Стругутуринско-Комбринской структуры расположаются нынешние сланцы. Структуры этого комплекса отличаются по периферии Базыбайского выступа, слагающиеся "зелеными" сланцами кунайской серии и карбонатными образованиями овсянковской свиты. По степени метаморфизма и дислокированности породы верхнего протерозоя резко отличаются от базыбайских. Слой кунайских сланцев сильно скован, сложены мелкой складчатостью, имеет углы наклона 60–90°. Наблюдаются реакции изменения в пространении метаморфических сланцев от северо-западных и меридиональных на северо-восточ-ные и широтные. Вдоль разломов образуются зоны мелких складок, флексуированные перегибы, гофрировка. В карбонатных осадках овсянковской свиты слои имеют углы наклона 40–70°, складки обычно мелкие, с небольшими амплитудами, иногда широкие симметричные, сundiрующими шарнирами. Они разбиты сетью мелких нарушений, проинзанными линиями коллинских эфузивов. К верхнепротероидским структурам относятся Кузьминский и Осередковский блоки, опущенные по отношению к Базыбайскому выступу, а также Нижне-Казырская антикли-наль, ядро которой сложено породами кунайской и овсянковской свит, крылья – камбрийскими образованиями. Нижне-Казырская структура находится на западном подгрунтии Базыбайского выступа, в зоне пересечения разломов и разбита на отдельные мелкие блоки.



Рис. 3. Тектоническая схема

-
- Рис. 3. Тектоническая схема
- 1 – нижне- и среднепротерозойский структурный комплекс; 2 – верхнепротерозойский структурный комплекс; 3–4 – кебрийский структурный комплекс; 3 – нижне- и среднекебрийский структурный этаж, 4 – верхнекебрийский структурный этаж, 5–6 – силуро-девонский структурный этаж, 5 – порорийская формация, 6 – базальтовая форма-ция; 7 – гравиицы структурных комплексов, этажей, формаций, 8 – гипербазиты актюбинского комплекса; 9 – плагиограниты маинского комплекса; 10 – габбро и пироксениты кзылордского комплекса; 11 – гранитоиды ольховского и белынского комплексов; 12 – сиениты и граносиениты лутянского и булгунского комплексов; 13 – оси антиклинальных структур, 14 – оси синклинальных структур, 15 – региональные и локальные разломы простирания и предполагаемые; 16 – зоны глубинных разломов

1 - нижне- и среднепротерозойский структурный комплекс; 2 - верхнепротерозойский структурный комплекс; 3-4 - кейбрейский структурный комплекс; 3 - нижне- и среднекимбрийский структурный этаж, 4 - верхнекимбрийский структурный этаж, 5-6 - силуро-девонский структурный этаж, 5 - портландия формация, 6 - базальтовая формация; 7 - граничные структурных комплексов, этажей, формаций; 8 - гипербазиты актовирского комплекса; 9 - плагиограниты маньского комплекса; 10 - габбро и пироксениты кзылского комплекса; 11 - гранитоиды ольховского и белинского комплексов; 12 - сиениты и граносиениты лутацкого и бедужульского комплексов; 13 - оси антиклинальных структур; 14 - оси синклинальных структур; 15 - региональные разломы простирения и предполагаемые;

16 - зоны глубинных разломов

Буквами и цифрами на схеме обозначены структуры: А - Сисим-Казырская синклиниальная - Б - Базыльская глыба; В - Систак-Хемский прогиб; Г - Канкилья и альпийский прогиб; 1 - Тагосукая, 2 - Тебаратская, 3 - Канакская, 4 - Нижне-Казырская; С - Канкилья и альпийский прогиб; 5 - Ти-беркульская, 6 - Каменушинская, 7 - Китаская, 8 - Миратинская,

К ю м б р и й с к и й с т р у к т у р н ы й к о м п л е к с с геосинклинальными отложениями разделяется на два структурных звена.

Нижне-среднекембрийский структурный звезд представлен складко-диабазово-карбатовыми, кремнисто-сланцевыми, карбонатными и тuffогенно-терригенные формациями общей мощностью более 8км. Эти отложения по типу осадков, мощности и дислокации тоже характерны для глубоких троговых зон первичных геосинклиналей. На начальном этапе залегания явились массивные излияния подводных изв

но-сланцевых осадках овсянковской свиты верхнего протерозоя. Породы этого звена образуют две самостоятельные широтные ветви, которые разделяются Баянбайским выступом. Северо-западная ветвь располагается в зоне Кизирского глубинного разлома и входит в состав Сисим-Кизирского антиклинария. Юго-западная ветвь принадлежит системе Кандатского глубинного разлома.

Степень дислоцированности и метаморфизма пород кембрийского структурного комплекса весьма различны. В пределах площади листа для кембрийских отложений типичны крупные линейные складки широтного и северо-западного простирания, ширина от 2-5 до 18км и длиной от 15 до 45-60км. Ядро складок устойчивые, массивные, крылья обычно с крутыми углами падения слоев ($40-60^{\circ}$). Погружение маркиров складок довольно полого. Центральные и периферические части крупных антиклинальных и синклинальных складок разбиты на узкие горстовые и грабеновые тектонические клины, в пределах которых (в зоне Кандатского разлома) степень дислоцированности пород резко повышается, появляются серии сжатых кругих мелких линейных складок, с ундулирующими шарнирами. Слои имеют наклоны 65-90°, иногда наблюдаются изоклинальные и опрокинутые складки. Широко развиты продольные и поперечные разломы, разделяющие элементы структур на серию мелких блоков, смешая и сдвигая их.

Тагосусская антиклиналь расположена в северо-западной части района, имеет широкое простирание, относится к крупным линейным складкам. Сложенна вулканогенным породами нижнекембрийской полосы. На крыльях — карбонатные и терригенные образования верхнеколпинской и осиновской свит. Длина складки более 40км, ширина от 10 до 15км. На севере и юге срезана разломами широтного простирания. В центральную и про-западную часть антиклинали по системе разломов залегают грабены, сложенные породами черемшанской свиты ордовика. Тагосусская антиклиналь также относится к складкам линейного типа. Ядро и крылья ее нарушены системой пересекающихся разломов.

Ядро сложено породами овсянковской и колпинской свит, на крыльях — осиновская и кизирская свиты. Простирание складки северо-восточное. По разлому она сопряжена с Тагосусской антиклиналью, прорвана диоритами Убинского массива, цепочкой Таятских штоков и гранитами. Длина складки 40км ширина до 15км. Канакская антиклиналь аналогична по строению, имеет северо-восточное простирание и полночный изгиб; ундулирует с довольно резким погружением шарнира на юго-запад и северо-восток. На юго-западном погружении складки находится Каменудинская синклиналь сложенная породами кизирской свиты.

Тисберкульская синклиналь расположена в районе одноименного озера. Она сложена породами черемшанской свиты, продолжается на землю за пределы района, собрана в широкие пологие складки, с наклоном крыльев $10-25^{\circ}$, имея обще погружение на юго-запад. Вдоль разломов слои пород погнувшись, поставлены круто и вертикально, осложнены мелкой дополнительной складчатостью.

Китатская синклиналь находится в верхнем течении рек Ниж. и Мал. Китатов. Она сложена породами осиновской свиты, которые с базальными конгломератами залегают на разных горизонтах колпинской свиты. Длина складки 40км, при ширине $10-15$ км. Простирание складки широтное; шарнир ее слабо ундулирует и полого погружается на северо-восток. Южное и северное крыло срезано разломами. Складка сильно сжата. Слои осадочных пород дислоцированы, наклон их колеблется в пределах $40-70^{\circ}$.

Систиг-Хемский прогиб составляет верхнекембрийский структурный звезд и слагается осадками алассутской свиты, которая относится к флишевому комплексу. Терригенные ритмы построение осадки алассутской свиты образуют в пределах площади листа широкую моноклиналь, полого падающую на юго-восток. Дополнительные складки имеют простую форму, углы падения не превышают $30-40^{\circ}$, и только в зоне Кандатского разлома породы стоят вертикально, с запрокидыванием на север. Систиг-Хемский прогиб является частью Хемчинско-го прогиба, развитого к югу и юго-западу за пределами района.

С и л у р - д е в о н с к и й с т р у к т у р н ы й к о м п л е к с представлен эффиузивной толщей порфиритов и базальтовых формаций, которая с резким несогласием залегает на каледонском глибово-складчатом основании. Она приурочена к зонам крупных разломов — Кандатскому и Кизирскому, вдоль которых в орогенный этап развития происходило образование приразломных прогибов. Сибирский разлом простирается по разломам складок и базальтовых формаций. Аллю-Кандатский прогиб, выполненный породами тюской свиты, а также участок Средне-Кизирской впадины граничит с ядром района имеется небольшой Можарский грабен, выполненный породами тюской свиты, а также участок Средне-Кизирской впадин-

дина, расположенный на водоразделе Кизира и Базыса.

Амуро-Канадский прогиб состоит из двух частей. Западная его половина представляет Маматинскую брахиинклиналь ядро которой сложено базальтовыми тонкими, а крылья порфирями и порфиритами имирской свиты. Форма складки напоминает овал, с шириной в 30-40 км, а длиной до 150 км. Северо-восточная часть складки сложена граносиенитовыми массивами Паркинского Белка, хребта Шандына и рядом малых интрузий. Восточная часть прогиба выполнена имирскими эфузивами. Оси небольших брахиоскалак в этой части прогиба имеют широтное и северо-восточное направление.

Среди разрывных нарушений выделяются глубинные разломы, крупные региональные нарушения, дизьюнктивы локального типа и скрытые рудоконтролирующие разломы. К глубинным разломам относятся Кандинские эфузивы.

Кандатский разлом расположен на границе различных структурно-фашиальных зон и характеризуется длительным и унаследованным развиением, значительной глубиной заложения. Разлом контролирует разведение интрузивного и эфузивного вулканизма на протяжении четырех геологических эпох (кембрий-девон). Морфологически он представляется собой узкий грабен, сложенный городами нижнего кембрия; имеет ширину от 5 до 11 км и концентрирует в своих пределах гипербазитовый пояс, мощные базальтовые покровы, интрузии основного и кислого состава, серию дайковых пород, зоны гидротермальной минерализации. По степени проникаемости магматических пород разлом относится к типу открытых. Слои кембрийских отложений в пределах глубинного разлома интенсивно перемяты, раздроблены и собраны в систему мелких линейных складок субширотного и северо-восточного простирания. Сбрасыватели, ограничивающие разлом, представлены двумя крупными тектоническими поверхностями, со ступенеобразным характером сколов, преобладающее направление которых северное, под углами 80-85°. Внутри разлома, а также к северу от него развивается диагональные нарушения, придающие дизьюнктиву перистый характер. В центральной своей части разлом представлен зоной интенсивного дробления, мILONИТИЗАЦИИ и участками рассланцевания, где слои пород стоят вертикально, иногда запрокинуты. Вышедшие из кристаллов, листовитизированы. В минерализованной зоне встречаются кварцевые и кварц-баритовые жилы, скопления колчеданных руд, вскрыпленность магнетита и треморита.

Заложение Кандатского разлома, вероятно, произошло на грани-
де среднего и верхнего протерозоя и связано с дифференциальными
движениями крупных плюс докембрийского фундамента. После средне-
го кембрия это нарушение разграничивает области салайской и ка-
левонской складчатости. В нижнедонянскую эпоху, вдоль Кандатско-
го разлома происходило изливание мощных лавовых потоков. Наблюдения показывают, что отдельные подмыки в этой зоне происходили в неогеновом и четвертичное время, что обуславливает резкий вре-
домы р. Кандат, имеющей в своем верхнем течении У-образный про-
филь, и глубину вреза до 1 км. Вблизи устья р. Эргак наступает вибрация канадского разлома на две ветви, одна из которых про-
слеживается в ю.-з.-з. направлении, вторая идет на ю.-ю.-з. и известна как Кемчикская ловная зона.

Кизирский разлом составляет лишь небольшую часть одноименно-
го глубинного разлома, проходящего по границе Восточно-Саянского
антеклиниория и Сисим-Казырской структурно-фашиальной зоны. В пре-
делах изученной площади к зоне Кизирского разлома относится поло-
са нижнеколинских эфузивно-осадочных образований, протягиваю-
щихся в субширотном направлении вдоль северной границы площа-
диста. Разлом заложен в области перехода от зон поднятия к участ-
кам погружения. Разлом относится к долгоживущим и неоднократно
подновленным, представляет собой систему крупных продольных раз-
ломов. Поверхность сместителя круглая, олигак к вертикальной. Ам-
плитуды нарушений превышают 1-1,5 км. Плоскости сбросов хорошо
видны в сплошных скальных склонах хребта Крыжна, круто обрывав-
шихся к р. Казыр.

К крупным региональным нарушениям относятся дизьюнктивы, окон-
туриющие Базыбайскую глыбу: Северо-Базыбайский, Харизовский и
Казырский. Они имеют протяжение на десяти километров, линейную
и логообразную форму, представляя собой зоны подвижного сопряже-
ния крупных тектонических блоков протерозоя и кембрия, испытавших
многократное перемещение в вертикальном и горизонтальном направ-
лениях. Описываемые нарушения контролируют распределение магмати-
ческой деятельности и жилных образований. Плоскости сбросов кру-
ты и вертикальные. Тектонические швы имеют мощность от 5-6 до
40 м, характеризуются дроблением, зеркалами скольжения, мILONИ-
ТИЗАЦИЕЙ. Сопровождаются кимаком и стягивательством.

К группе дизьюнктивов локального типа относятся многочислен-
ные тектонические нарушения, имеющие протяженность от 1-3 до 10 км.
Они параллельны, диатональны и поперечны к разрывам, описанным
выше. По своему характеру локальные разломы являются сбросами,
взбросами и сбросо-сдвигами. Обычно это вертикальные и крутые

плоскости, сопровождающиеся неширокими, но интенсивными зонами дробления, иногда с характерной гематитизацией (Лево-Четский и Тагосукский разломы). Ширина зон нарушений от первых метров до 200-300м, амплитуда не более 1км. От крупных разломов обычно отвратяется сеть опираний нарушений. В пределах плоскости листов морфологически хорошо выражены Канакский, Тагосукский, Поларечинский, Лево-Четский, Торгайский и др. разломы.

Весьма интересны радиальные дислокантивы, откастрированные в пределах массива горы Осередок, соросо-сдвиги близ озер Кругень-кого и Длинненского в бассейне р.Конный Таят, и др. разрывные деформации.

К группе скрытых рудоконтролирующих разломов относятся Оку-нейская и Таят-Хабалык-Тобрагская зоны, к которым приурочены девочки малых интрузий, пояса дюк и зоны эндогенной минерализации. Характерной чертой их является наличие широких зон мягкой субпараллельной трещиноватости, а также интенсивный катаклизм. Направление известняковых занавесок по относительно х геосинклинальным структурам, часто сечет их. Здесь нет крупных трещин и разломов. Ини, вероятно, залечены интрузиями. К этой же группе можно отнести лево-Четским разлом с мощной зоной притяжения, Батыринскую морьбленовую зону и Торгайский разлом с колчеданной минерализацией. Выделение и изучение скрытых рудоконтролирующих разломов имеет важное практическое значение для поисков и прогнозной оценки.

Площадь листа характеризуется неоднородным магнитным полем, на фоне которого выделяются локальные положительные и отрицательные зоны различной интенсивности. Аномальные поля дают довольно сложную магнитную картину. При расшифровке ее подчеркиваются элементы крупных антиклинальных и синклинальных структур, гребенок и горстовых поднятий, четко обделяются контуры интрузивных массивов и различаются комплексы пород, а при детальном картировании и отдельные горизонты, обладающие различной степенью магнитности. Достаточно хорошо устанавливаются линии крупных тектонических нарушений, по разной степени аномальных полей. Гнейсы Баязыской глыбы характеризуются нулювыми и отрицательными значениями магнитного поля. Это же характерно и для пород верхнего протерозоя, за исключением эфузивных пород кувшинской серии в пределах высоты Кузнецка. Отицающую характеристику имеют синклинальные структуры, сложные полимагнитные породы Салехтинской, осиновской, аласутской и черемшанской свит. Положительные магнитные поля фиксируются над порфиритами и диабазами нижнеколинской подсвиты. Четкое магнитное поле выражено, например, над Тагосукской антиклиналью, в виде линейной аномалии.

Весьма четкими положительными аномалиями характеризуются северо-западные гипербазитовые массивы. Особенно интересны изометрические резко очерченные положительные аномалии поля над массивами габбро-пироксен-перidotитовой формации. Совершенно иное - слабо-положительное, а иногда и отрицательное поле дают города Олховского комплекса. Нуевые и отрицательные значениями характеризуются граниты Бельгильского комплекса. Ровные положительные поля, иногда с четкими аналогиями возникают над сиенитами и гранитами Булдукульского и Лутагского комплексов. Высокой радиоактивностью отличаются интрузии Окуневского типа. Неровные магнитные поля имеют эфузивы кизирской свиты. Линейно вытянутые положительные аномалии дают породы имирской свиты, что подтверждается и замерами образцов из разных по составу пород. Неподвижна природа слабоположительного поля базальтов Токской свиты, видимо объясняемая нарушением знака поляности вследствие крупных тектонических подвижек. Как правило, на карте изодинам четко отражаются зоны разломов. На описываемой территории отмечается также ряд локальных магнитных и радиоактивных аномалий, некоторые из них являются перспективными.

ГЕОМОРФОЛОГИЯ

В зависимости от геологического строения района, молодых глыбовых движений и процессов денудации современный рельеф характеризуется сочетанием высокогорного, среднегорного и низкогорного ландшафтов, подразделяясь на три генетических категории: денудационно-тектоническая (экзарационная), эрозионно-тектоническая и эрозионно-аккумулятивная.

Дальнейшее развитие рельефа образовалось на древней поверхности выравнивания в результате новейшей глыбовой тектоники, интенсивных эрозионных и ледниковых процессов. Многообразие форм рельефа связано прежде всего с яркими проявлениями новейшей тектоники, создавшей сложную мозаику блоков, имеющих в ногогеновом и четвертичном время различную амплитуду и скорость движения. Дифференциальный характер глыбовых движений и длительная моделировка рельефа процессами экзарации, эрозии, солифлакции хорошо объясняют очертания на этой сравнительно небольшой территории альпийского высокого, сибирского горно-таежного и карельского моренно-ледникового ландшафтов. Хребты Шандын, Крыжина, Козя и их отроги являются молодыми горстовыми поднятиями и служат областям сноса.

В осевой части они увенчаны узкими зубчатыми либо образными гребнями и вершинами, на уступах которых развиваются многоступенчатые кары. Отметки вершин колеблются от 1700 до 2200 м, а относительные превышения над днищами долин - 400-500 м. Многочисленны следы последнего оледенения - разнообразные троги, цирки, каровые озера, рилели, эратические валуны, баранные лоды и курчавые скалы. К микрорельефам относятся курумы, широко развитые в гольцовых областях на склонах гор и близ вершин; отельные потоки их спускаются в долины рек (Систиг-Хем, Багра, чёт, Поперечка).

Высокогорные выравненные поверхности расположены у подножий гольцовых зон, вдоль хребтов Эргак-Таргак-Тайга, Крыжна и Шандына. Это типичные древние участки выравнивания, сохранившиеся на высотах 1400-1700 м, и представляющие ныне зону алтайских лугов. Происхождение ландшафта связано с ледникальными процессами, о чем свидетельствуют остатки мощных морен, нунатаки, цепочки ледниковых озер, штрихи на слаженных скалах, масса валунов. Следы древней поверхности выравнивания сохранились лишь на вершинах плоских гольцов, в виде сильно стертого, полого-волнистого рельефа, со следами нагорных террас и морозно-солифлюкционного выветривания (Канакский Бэллок, Осередок).

Низкогорный ледниковый рельеф (грабен Можарской депрессии)

расположен в северо-западной части района в долинах рек Табраг, Тагосук и Можарка. Это сильно заболоченный и заросший участок с цепью невысоких параллельных каменистых гряд, слаженных ледником, чередующихся с глубокими бороздами. Высоты низкогорья колеблются от 450 до 700 м. Небольшие узкие котловины ледникового происхождения заполнены остатками морен, аллювием, озерами подпруднения и выпахивания (Можарское, Тагосукское, Тоберкульское, группа Тридцати озер и др.). На процессы оледенения указывают моренные валы, рилели, озы, камовые террасы и маргинальные канавы.

Э р о з и о н н о - т е к т о н и ч е с к и й с р е д н е - г о р н ы й р е з к о р а с ч л е н е н ы й р е л ь е ф заывает центральную часть района и характеризуется сочетанием массивных куполовидных хребтов с крутыми склонами гор, иногда ступенями обрамляющимися к долинам рек (хребет Покровского, истоки р. Ниж. Китат и др.). Абсолютные отметки хребтов равны 800-1400 м, относительные превышения их над тальвегами долин - 300-600 м. Склоны гор нередко отвесны и непроходимы, как например в районе озер Крутеньких, Длинненских. Долины дrenaирующих рек резко врезаны, устьевые, с крутыми асимметричными бортами, встречаются каньоны, водопады, перекаты, пороги; русла рек завалены валунами.

Среднегорный пологосклонный рельеф имеет близкие абсолютные отметки с описанным выше типом рельефа, но характеризуется меньшей расчлененностью, отсутствием скальных вершин, общей слаженностью и множеством очертаний, относительно небольшим, но крутым врезом склонов, с относительными превышениями от 70 до 150 м. Э р о з и о н н о - а к к у м у л я т и в н ы й р е л ь е ф характерен для крупных рек: Казыра, Канда, Базыбая, имеющих широкие открыты долины; проточный проиль этих рек не выработан. Встречаются пороги (Базыбайский, Кытаский), перекаты, шиверы.

Дно долин выполнено аллювиальными отложениями трех аккумулятивных террас, высотой 5-8, 12-18 и 22-30 м. В среднем течении р. Баг-хара наблюдалась постепенный переход морен в отложения третьей наименной террасы. Ввиду того, что в аллювии описываемого района много материала ледниковых отложений параллелизация их с террасами р. Енисея затруднена, что подтверждает и анализ спорово-пыльцевых комплексов.

В рисунке речной сети весьма четко выступают два направления: древнее, субширотное и верхне-четвертичное - антecedентное, в основном меридиональное. Древняя пядюсть характеризуется хорошо выработанными долинами с боковой эрозией. Они находятся в стадии дряхлости и сохраняются в виде отдельных реликтов ледниковых долин, образуя четыре параллельные цепочки: трог в вершине р. Сухой Баянай - верхнее течение р. Ниж. Китат - р. Тайменная, р. Гылан и Шабуровские озера; линии озер Горшковых-Спиридоновских и Хайрюзовских. Последние являются сквозной ледниковой долиной, с перехватом одной из вершин р. Ниж. Китата. Днища древних долин вымощаны ледником, сейчас они заболочены, представлены небольшими старичами и озерами.

Резким контрастом является более молодая речная сеть, обраzuющая систему пологих долин прорыва с водопадами (р. Шандын, притоки р. Мал. Канда), каньонами (реки Таргак, Сухой Базыбай, Ниж. Китат, чёт), порогами (Ниж. Китат, Базыбай, Поперечка и др.) и шиверами. Наблюдаются много перехватов долин, отчего направление рек меняется иногда под прямым углом. Антecedентность речной сети связана с молодыми глыбовыми подибоями в верхне-четвертичное время. На плоскости сохраниются следы двух оледенений. Первое, алатское, по аналогии с районами тувы относится к верхнему плюстоцену, второе, хорошо сохранившееся - к эзирянскому оледенению и его сартанская фаза. Первое (древнее) оледенение носило ледничий покровный характер, второе горно-долинный.

В последовательности неотектонических блоковых движений на-

ближается определенная закономерность. Ранее всего и более активно молодые движения охватывают участки, утратившие подвижность в детстве. Затем эти движения, уже с меньшей мобильностью, распространяются на более древние кембрийские и докембрийские структурные комплексы, видимо более устойчивые. Другой особенностью является то, что кайнозойские разрывы чаще всего не считаются с древними структурами, секут их, хотя и широко используют долгоживущие губинные разломы, такие как Кандский и Кизирский. Основные подвижения разломов проходили, вероятно, в неогене, но наблюдаются подвижки и в четвертичную эпоху. По Р.Конни Тайт нами описано срезание небольшим разломом третьей надпойменной террасы. Не исключена возможность нахождения в пределахплощади листа молодых залотов, известных в соседних районах (Н.Н.Стамболовский, 1964г.).

ПОЛЕЗНЫЕ ИСКОПАЕМЫЕ

На территории листа имеются месторождения и рудопроявления железа, хрома, титана, никеля, свинца, молибдена, сернистого и редких земель, а также перспективные магнитные аномалии, шлиховые и металлогеометрические ореолы. В качестве строительных материалов пригодны инструментные и эфузивные породы, пески, глины, известняки и кремни разночтенных геологических комплексов.

МЕТАЛЛИЧЕСКИЕ ИСКОПАЕМЫЕ

Магнетитовые руды

Таятское месторождение (23) расположено в бассейне р.Табрат, в Эким восточнее села Ефимово. Открыто в 1957г. в геологическом строении месторождения принимают участие эфузивно-осадочные породы нижнего и среднего кембрия. Породы изнанко-линской подсвиты и небольших голей осиновской и кизирской свит образуют субширотную синклиналь, прорванную диоритами штокобразного интрузивного массива. Рудные тела приурочены к вулканогенным и кристаллическим образованиям, имеют форму линз и пластообразных залежей. В поле месторождения встречены рудные и пострудные лайки.

Северное рудное тело имеет форму сжатой линзы, мощностью от 18 до 45м, длину 600м, кругло падает на юго-восток. Руды подразделяются на экранильные, сплошные и полосчатые. Среднее содержание железа равно 36%. Южное рудное тело имеет линзообразную форму, мощность около 40м, длину до 400м. Падает на север под крутыми углами, подчеркивая синклинальное строение основной рудоносной структуры. Оруденение является контактово-магнетитовым.

Одной из особенностей месторождения является наличие двукратного магнетитового оруденения. Скалолит-магнетитовая фаза связана с пироксеновыми и кварцевыми диоритами. Вторая фаза магнетитового оруденения связана с жильными апатит-пироксеновыми перидотидами жильями и дайками. Позднее пропалилась одна из фаз гидротермальной деятельности с кварцем, хлоритом, карбонатом, халькопиритом и пиритом. С пиритом, количество которого в рудах неизначительно, встречается повышенное содержание кобальта от 0,02 до 0,5%. Среднее содержание серы в рудах 1,8, P_{2O_5} до 0,29%. По своему генезису Таятское месторождение относится к скалолитовому подтипу контактово-магнетитических месторождений железа. Запасы железа на 1.1.1965г. составляют 50 млн.тонн.

Табарское месторождение (45) расположено на левом берегу р.Табрат, в южной западной Таятского. Открыто В.М.Ярошевичем в 1950г. В 1958-1963гг. проводились разведочные работы, в результате которых выявлены участки Центральный, Восточный, Западный и Дальний. Месторождение расположено в южном крыле антиклинали, сложенной породами осянинской синклинали и прорванной кварцевыми диоритами юбинского массива. По своему генезису месторождение относится к типу контактово-магнетитических. Рудные тела, сложенные магнетитом, мушкетитом и магнезанитом, сопровождаются гранатовыми и эпидотовыми скарнами. Руды прожилково-экрапленные, штокверковые. Наиболее крупное Центральное рудное тело имеет линзовидную форму и размеры 480x700м. Падение кругло на юго-восток 80-82°. Выкинивается на глубине 200м. Содержание железа в залежах колеблется от 24 до 43%; сера и фосфор содержатся в количествах от 0,01 до 0,6%. Из полезных примесей встречается кобальт — от 0,01 до 0,05%. Запасы месторождения оцениваются в 120 млн. тонн.

Хабалыкское месторождение (47) расположено в Южном юго-западном Табратского. Открыто в 1958г. Находится в контакте известняков осянинской свиты с диоритами юбинского массива. Рудные тела скрыты под чехлом ледниковых отложений. По данным разведочных работ имеют неправильную и линзовидную форму. Размеры главной рудной залежи равны 210x60м. Руды магнетит-ам-

Фиболового типа; среднее содержание железа равно 27%. Протноные запасы месторождения 20 млн.тонн.

В северной части площади листа известны рудопроявления магнетита Тиберкульское (14), Покровское (22), Болотное (46), разведенные в период 1958-1963гг. Все они имеют контактово-метасоматический генезис, небольшие размеры и непромышленное значение.

Перспективные запасы Болотного и второго Хабалынского участков оцениваются в 20 млн.тонн. Аналогичны рудопроявления магнетита в районе озера Хомугунного (64,65) к северу от Базыбайского Бекка (75) и в истоках р.Мал.Канчат (104). Из большого количества магнитных аномалий к числу перспективных относятся следующие: Южная (49), в контакте Бахтатского гранитного массива с порфиритами кианитской свиты. Значения ΔZ в элипсентах равны 4540 и 6000 гамм. По данным геофизических работ Бахтатская I аномалия оценивается в 16 млн.тонн, II - 43 млн.тонн и III - 31 млн.тонн. Канакская аномалия (63) расположена в поле малой интрузии основного состава, к югу от которой приурочены скопления магнетита и высокие значения ΔZ от 10000 до 23000 гамм. Перспективная оценка аномалии - 168 млн.тонн, считая 36 млн.тонн по соседней с ней Хайразовской аномалии (Канчигин, 1963г.). Интересная аномалия до 2200 гамм встречена в вершине р.Попаречки. Она приурочена к контакту диоритового и гранитного полей и совпадает со шлиховым ореолом, имеющим содержание магнетита до 10 кг/м³.

Гематитовые руды

Чехриноческое рудное поле (6) расположено в центральной части к востоку от озера Верхне-Тагосукского. Приурочено к тuffогенно-осадочным горизонтам, залегающим в северном крыле Тагосукской антиклинали, сложенной диабазами, спилитами и метатандыбазами нижнего кембрия. Среди зеленокаменных эффузивов встречаено два горизонта с гематитовыми рудами. Северный имеет мощность от 150 до 220м и состоит из коричневато-красных туфов, крупноблочных гематит-содержащих скречий и темно-серых тuffогенных пород, переслаивающихся между собой. В центральной части пласта залегают богатые и бедные гематитовые руды. Мощность рудного тела колеблется от 8 до 18м. Оно прослежено по простиранию на 110м. Содержание железа валового колеблется от 20 до 47%. Руды сложены сплошным агрегатом гематита с прослойками ишшибильных пород. Содержание кремнезема варьирует от 25 до 53%, двуокиси фосфора от 0,05 до 0,11, серы 0,03%. Запасы, подсчитанные по первой рудной залежи, не значительны (100тыс.т.), рудопроявление является непромышленным.

На непосредственном продолжении рудоносного горизонта в 1,5км к западу был найден еще один коренной выход белых гематитовых руд.

В северном крыле структуры, в 5км западнее, обнаружено аналогичное Тагачское рудное поле в Ленинградской области (7). Выменявшими породами здесь являются джаспериты и желелистые кварциты. Они имеют вишневый и серовато-коричневый цвет, массивные и полосчатые текстуры. По составу это кремнистые образования с гематитом. Данный тип оруденения перспективен для других районов Восточного Саяна: гематитически он связан с глубокими троговыми зонами, заложившимися в нижнем кембрии и выполненными вулканогенными формациями (Зубкус, Шнейдер, 1964г.). На карте полезных ископаемых наименования также несколько рудопроявлений сливших и вкрашенных пиритиновых руд, сконцентрированных в пределах Окуновской рудной зоны (60,61,82 и 84).

Марганец

Небольшие рудопроявления марганца встречены по р.Тайменке (27), в верхнем течении р.Тихой (30) и по р.Конный Тайл. Проявления имеют минералогический интерес.

Титан

При шлиховом опробовании выявлено двенадцать ореолов с повышенным содержанием титановых минералов (ильменит, рутил). Содержание ильменита в районе рек Тайменки, Ник.Китага и Попаречки колеблется от 1 до 4кг/м³, в районе рек Чета и Багра до 3кг/м³, по рекам Конный Тайл, Канак, Казыр и Березовая до 2кг/м³. Симметрическим ильменитом встречаются единичные знаки золота, шеелита, молибденита и др.минералов, деревень которых дан в приложении (oreолы 26,31,38,43,48,51,62,68,73,83,85,107). В ореоле 147 на водоразделе рек Айны и Систиг-Хема совместно с шеелитом встречено повышенное количество рутина.

Титаномагнетит

Рудопроявления титаномагнетита встречаены в габбро-норитах массивов Освердок и Булка. Осердокское рудное поле в Ленинградской области (35) находится на водоразделе рек Ник.и Мал.Китагов. Содержание окиси титана по штуфным и бороздовым пробам колеблется от 1,5 до 6%, но ввиду малых размеров рудных тел (2-2,5х7-11м)

практического интереса не представляет. Выходы титаномагнетитовых руд отмечается магнитными аномалиями до 1000 гамм. Внутреннее габбро-норитовое кольцо перспективно на титановые руды и рекомендуется для постановки поисковых работ. Б у л к и н с к о е

р у д о п р о я в л е н и е (135) расположено в вершине р.Левый Эргак, в пределах габбрового массива. Вкрапленность титаномагнетита приурочена к повышенномагнитным линзоидным обособлениям в работе и габбро-норитах. Общее количество титаномагнетита в анортитовых участках достигает 20-25%. Содержание окиси титана по химическим анализам бороздовых проб колеблется от 1,98 до 4,4%, а ванадия от 0 до 0,15%. Залежи руд незначительны. По данным В.М.

Немцовича (1966), известно, что в аллювии р.Кукишин (южнее олиговского района) оконтурина площадь, в пределах которой содержание ильменита достигает 13-14кг/м³. При более детальных работах (Ю.И.Колетанов, 1963г.) эти данные не подтверждены, и вопрос с перспективами титаноносности Булкинского массива остается не выясненным.

Хром

Э р г а к с к о е р у д о п р о я в л е н и е (128) находится на правом берегу р.Эргак, в пределах северной границы гипербазитового массива. По данным М.В.Соловянкина (1954г.) известны находки глыб сливных хромитов до 0,7-1м в диаметре. В 1955г. поисковые работы проводили В.М.Немцович. Выходы руд в коренном залегании не найдены. Массив имеет зональное строение, с дунитовым ядром, и потенциально перспективен на хромит.

В т о р о е р у д о п р о я в л е н и е х р о м и т а (144) находится в долине р.Бол.Кандат, в поле набольшого, линейно вытянутого, гипербазитового массива, названного Восточным. Вдоль контактов и в центральной части массива среди дунитов, гарпуритов и серпентинитов встречаются участки с вкраепленностью хромита, пиротита и магнетита. Содержание хрома по данным химического состава 0,3, никеля 0,18, кобальта 0,012%. Шиховых опробований выявлены семь ореолов с повышенным содержанием хромита, но особенно интересен один из них, в бассейне рек Кандат, Эргак и Мал.Эргак (125). Концентрация хромита достигает здесь до 3-4кг/м³, а по данным В.М.Немцовича до 12кг/м³. Кроме того, в шлифах отмечены шесть до 30 знаков, барит, апатит, рутил, циркон и золото. Эргакский массив четко выделяется и по солевому ореолу (127), при содер-

Ц в е т н ы е м е т а л л и Медь

Рудопроявления меди представлены следующими типами: а) небольшие колчеданные залежи, б) вкрапленность халькопирита в порфириях, кварцевых жилах и зонах окварцевания. Все медные рудопроявления представляют минералогический интерес, но наибольшие перспективы из них имеют колчеданные руды, локализующиеся в контактах интрузий Мининского комплекса, в бассейне р.Кандат. В устье р.Таргак (138) и по ключу Голубому (139) в элю- и экзоконтактах Мининского массива встречаются кварци-сулфидные образования и пиритовые колчеданные залежи в виде небольших линз (2-5x15-20м). Содержания меди незначительны (0,02-0,2%). Следует указать, что общая мощность зоны окварцевания с вкрапленностью халькопирита в районе от р.Таргака до ключа Голубого не менее 150м при протяженности до 6км, что следует учесть при детальных работах. Другие точки известны по р.Сухой Базыбай (40), где кварцево-пирритиновые залежи с вкрапленностью халькопирита были найдены М.А.Елисеевым в 1962г. В нижнем течении р.Конный Таят (80), вкрапленность халькопирита приурочена к порфиритам нижнего кимберг., в районе пос.Ниж.Тридатка (50) - к породам киммерийской свиты. Кварцевые жильи и кварц-карбонатные прожилки с халькопиритом и сфalerитом известны по р.Кузьминке (72), по рекам Ниж. И Мал.Кигатам (41,71), в районе Хайрюзовых озер (69), по р. Таймырке (25), близ озера Тагусукского (2) и на других участках (29,37,99,129). Все они имеют минералогический интерес.

Свинец

Месторождения и рудопроявления галенита подразделяются на сульфидно-колчеданные залежи и кварцево-гальванитовые жилы.

О к у н е з с к о е м е с т о р о ж д е н и е (55) открыто в 1950г. Е.А.Шнейдером и И.Н.Кулиманко. Расположено в 1,5км к юго-востоку от пос.Ниж.Тридатка, на р.Казыр. Разведано в 1951-1952гг. Приурочено к контакту малых массивов щелочных габбритов. Приурочено к контакту малых массивов щелочных габбритов с известняками осыпниковой свиты. На месторождении имеются два типа рудных тел: пирротин-галенитовые залежи и сокущие их флюоритовые тела с горнанитом и лейкоклином. Пирротин-галенитовые залежи вытянуты вдоль контакта интрузии, имеют гнездо-важникообразную форму. Длина основного рудного тела 55м, мощ-

ность до 8,5м, на глубину выклинивается. Руда представлена пиритом, галенитом, халькопиритом и сфalerитом. По химическим в рудах содержатся свинец - от 3,16 до 15,77, цинка - 1,12-10,73, меди - 0,07-0,1%. По генезису месторождение является гидротермально-метасоматическим. Залежи свинца в руде - 66,5 тонн. Является непромышленным.

В пределах Окуневской рудной зоны "звестно также Бахта-скоброво-роязловские селища" (52), аналогичное по генезису Окуневскому месторождению.

Таргакское рудопроизводство (115) расположено в 1км юго-восточнее верхины р.Таргак, в склоне кругого кара. На контакте диоритов и сиенит-порфиров проходит зона боттит-галенит-сфalerитовой руды, мощностью 5м. По данным химического анализа в руде свинца - 4,11, цинка - 3,13, меди - 0,16%. Рудопроявление труднодоступно, вследствие чего не представляет интереса.

Кандатское рудопроизводство (145) расположено в одноименной зоне разлома в 4км к юго-востоку от устья р.Таргак. В контакте расслоенных зоновых эффузивов нижнего кембрия с дайками грейзенизированных гранит-порфиров в зоне интенсивного окварцевания установлены кварцево-пирротиновые тела, имеющие мощность до 120м и протяженность до 1,3км. В рудах встречены галенит, сфalerит, халькопирит, пирротин и арсенопирит. Рудопроявление детально не осмотрено и требует постановки поисковых работ.

В истоках р.Поперечка (111) обнаружена зона дробленых и окварцованных диоритов, прорванных гранитами. Мощность зоны до 30м; породы импрегнированы галенитом, сфalerитом и пиритом, практического значения не имеет.

Наибольшие рудопроявления селища обнаружены в истоках р.Таргак (113,114), где они совпадают с соловьевыми ореолами полиметаллов (112,116), и в вершине р.Прямой Багры (88). Кварцево-галенитовые жилы в гранитах, диоритах и вмещающих породах встречаются в нижнем течении р.Багры (86) и в других районах (36,113,105,130); имеют минералогический интерес.

Николь

В пределах площади листа нам открыты рудопроявления силикатного и сульфидного никеля.

Большое Кандатское рудопроизводство - (141) находится расположено на правом берегу р.Бол.Кандалат, в 2км ниже р.Таргак. Оно приурочено к лиственикам, залегающим среди

нижнекембрийских эффузивно-сланцевых отложений. Тела листвеников

имеют мощность 150-200м и прослеживаются на 5км (133,142,143). Оруденение никеля и хрома представлено минералами пирротитом, халькопиритом, фукситом и хромитом. Содержание никеля по данным 20 химических анализов бороздовых проб колеблется от 0,1 до 0,43, хрома - от 0,2 до 3,56%. Радиоактивный анализ показывает содержание никеля силикатного 0,4 и сульфидного - 0,08%. Указанные рудопроявления фиксируются соловьевыми ореолами никеля, хрома и кобальта (140), с содержанием первых двух элементов в пределах 0,1-1,0, а кобальта - 0,005-0,01%.

Северококсово рудопроизводство (34) расположено в превалах одиночного хребта на водоразделе рек Ник. и Мал.Китатов. Оно открыто в 1962г. Б.П.Зубкус, изучалось в 1963-1964гг. Рудопроявление приурочено к сложно дифференцированному массиву осадочек. Вмещающими породами являются медно-никелевого оруденения являются пироксениты, габбро-пироксениты, горнолентильы и зерлиты, залегающие в подошве массива, а также в верхнем ультраосновном кольце, относящимся к основанию второго мегарита. Наблюдается пространственная разобщенность никелевой и типновой минерализации в результате дифференциации магмы. Медно-никелевое оруденение является вкрашеным, иногда образует небольшие равнины, пещеры и промычки. Параагенезис главных рудных минералов постоянный. Это пирротин, никелистый пирротин, пентландит, халькопирит, кубанит. Рудные выходы находятся в зоне окисления. В составе минералов железных шлаков встречаются лимонит, гидролит, мельникит, марказит и полидимит. Нами обнаружено и определено два основных рудных участка по классу Пирротиновому и ряд отдельных точек в пределах массива. Ультраосновные и основные породы прорваны дайками, сажущими и послойными телами гранитов, пегматитами к радиальному разломам, между ними по клинам Пирротиновому, Лагерному и ДР. Границы контаминируют ультраосновные и основные породы, в неизначительном количестве тоже несут сульфидную минерализацию, оказывая влияние на концентрацию медно-никелевого оруденения. Размеры рудной зоны на нижнем участке 50х1200м, с перерывом до 500м, закрытым мореной. На данном участке отбрано 36 бороздовых проб. Содержание никеля колеблется от 0,001% до 0,47, меди - в пределах 0,005-0,3 и кобальта - 0,001-0,02%. Мощность рудной зоны на верхнем участке от 70 до 110м, по простирию она прослеживается на 500м. Оруденение распределается в зоне негравиометри. Содержание никеля по 14 бороздовым пробам колеблется от 0,001 до 0,1, меди - от 0,001 до 0,2%, кобальта - слади. Низкое содержание ни-

коля объясняется в первую очередь тем, что руды на участках весь-

ма окислены, особенно пирротин, не редко руды превращены в лимониты, черные сажистые и красновато-бурые порошкообразные окхи. Радиоактивный анализ проб с участка Нижнего показывает, что сульфидный никель составляет 0,44, а силикатный - 0,03%, при общей сумме никеля 0,47%. Сульфидная природа никелевого оруденения подтверждается и минералогическими исследованиями. Минераграфическое изучение рудных образований показало, что основными никелевыми минералами являются пентландит, никелистый пирротин и бравоит, а из медных минералов - халькопирит и кубанит. Совместно с сульфидами встречаются алмазит, магнетит, зернистые и тонкие агрегаты титаномагнетита, марказит, мельникит, лимонит, лепидокрокит. Пентландит отмечается всегда в паратензисе с пирротином и халькопиритом в виде мелких пизменовидных, воротнообразных, шнуровидных и игольчатых вростков, являясь несомненно продуктом распада никеля содержащего пирротина. Вростки пентландита распологаются параллельно трещинам спайности в пирротине, давая иногда подобие пересекающие изометричные форд-и. Редкие пластиничатые структуры распада.

Осередокских рудопроявления по своему генезису относятся кмагматогеному вкрашенному и прожилково-вкрашенному сульфидному типу медно-никелевых руд. Оно находится в зоне окисления, имеющей небольшие размеры и невысокое содержание никеля, меди и кобальта, но по своему генезису является перспективным и требует постоянных детальных работ с целью изучения оруднения на глубину. Для юго-западной части Восточного Саяна данный тип минерализации обнаружен впервые.

Благородные металлы

Золото

ривались и не отработывались.

Коренное рудопроявление золота (77) встречено в окварцированных гнейсах Шандынского срезы, в 1,2 км к югу от Баянбайского поселка. Гранатово-биотитовые гнейсы пронизаны системой мелких кварцевых прожилков. По данным минералогического анализа, выполненного в лаборатории СНИИГИМС (Н.Н.Аминский, Л.И.Орлова, А.М.Горбачев, 1964г.) в протолочке из гнейсов обнаружено 230 знаков золота, частично в сростках с кварцем. При постановке геологического-съемочных работ масштаба 1:50 000 это рудопроявление несобходимо опробовать. Золотоносные кварцевые жилы встречены на Баяринском молибденовом рудопроявлении (ЮГ). В протолочках из кварцевой жильи №1 и №2 штокверка было установлено золото в количестве 5,38; 40 п 270 золотника. Жила эта обычно неправильной, изометричной и почковидной формы, размеры 0,03-0,1м. Аналогичные кварцевые жилы в гранито-дах, содержащие молибденит и золото, встречаются в районе ключа Золотого, притока р.Баяры, в долине которого отмечены старательские работы на золото. Данные точки имеют минералогический интерес.

Редкие металлы

Мolibден

Рудопроявления молибдена, обнаруженные нами на территории листа, относятся к кварц-молибденит-серидитовой формации и подразделяются на два типа: кварцево-молибденовые жилы и штокверки.

Баринское рудопроявление (ЮГ) молибдена находится в истоках р.Баяры, в осевой части хребта Шандын, близ озера Аквилей. Представляет собой северо-кварц-молибденитовых жил в систему небольших по площади молибденовых штокверков, залегающих в гранитоидах Шандынского массива. Молибденоносные породы образуют единую рудную зону, мощность от 50 до 150м и протяженность до 2км. Структурным контролем суженияния является разлом субширотного простирания, проходящий в поле гранитного массива. Вдоль этого нарушения наблюдаются серии кварц-молибденовых жил, ... как бы стержневой частью месторождения, по обе стороны которой, как от подводного ручного канала, размещаются молибденовые штокверки. Последние имеют изометричную и линзобриванную форму, мощность тяг от 25 до 50м и простирание до 150м, с пологим падением на юг и юго-восток. Кварцевые жилы, в промежутках зоны расположены в виде тонких параллельных тяг. Они имеют мощность от 2-3 до 40 см и протяженность от 200 до 1550м, простираясь в участ-

В районе работ имеются россыпные и коренные рудопроявления золота. К первым из них относятся давно отработанные россыпи в истоках р.Табрат, у подножия хребта Покровского (28), по ключу Гусевскому, правому притоку р.Ниж.Карат (35) и по ключу Золотому (87), правому притоку р.Баяры. Первый участок приурочен к контакту гранитного массива хребта Козя с эфузивами нижнего камбрия, второй связан с системой мелких квартовых жил в куйвайских сланцах, а третий - с кварцевыми жилами в юго-западном контакте останца кровли Шандынского массива. Золото на этих участках добывали из плоскости второй и первой террасы. Указанные точки детально не осмат-

ках, закрытых курчами. Число кварцевых прожилков в штокверках на один метр колеблется от 10 до 45. Содержание в них молибдена изменяется от 0,003 до 0,2, в среднем 0,05%. В кварцевых жилах - от 0,12 до 3,25, в грейзенизованных гранитах - 0,015-0,07, а в давленых окварцованных гранитах - 0,028-0,37%. Молибденит имеет две генерации. В первом случае он равномерно рассеян в гранитах, с усилением в пиритизированных, окварцованных и грейзенизованных породах, во втором - образует сплошные ленточки, гнезда и крупные чешуи в кварцевых жилах, в гранитах и пегматоидных вынтах. Вместе с молибденитом обычно встречаются пирит, халькопирит, реже варцит, пиротин, магнетит. В зоне окисления - ветвистыи велита, ферримолибдита и лимонита.

Залежи молибдена, подсчитанные по кварцевым жилам, составляют около 180 т. Штокверковые руды в подсчет не входят, виду очень редкого сечения опробования. Поверхность рудопроявления изучена слабо. Рудная зона полностью не вскрыта и не оконтурена, на глубину месторождение не изучалось, и будет одним из объектов поисковых работ в 1965-1966 гг. Судя по размерам рудных тел и количеству залежей, подсчитанных по кварцевым жилам, Багринское рудопроявление относится к категории нетронутых. Экономически труднодоступно.

О з в р и о р у д о п р о я в л е н и ю (91) находится в ЗАМ к западу от Багринского и является очевидно его продолжением. Представляет собой сланцы богатых кварц-молибденитовых жил и обильное количество кварцевой сыпучки среди гранитов. Характер минерализации аналогичен Багринскому рудопроявлению.

Б е р е з о в с к о е р у д о п р о я в л е н и ю (91) находится в истоках р. Левая Березовая. Близ зодораздела в южном секторе встречены зоны гидротермально измененных гранитов с выраженной приностью пирита и галенита. Здесь же в осыпи найдены обломки кварцевых жил с богатой аквапленностью молибдена и пирита. Рудопроявление имеет минерологический интерес, но при детальных работах необходимо осмотреть этот участок, весьма богатый выходами кварцевых жил с сульфидами. Молибденовое оруденение района связывается с девонскими гранитоидными интрузиями.

Бересик, реже земли

Бериллиевая, циркониевая, иттриевая, лантановая и ториевая минерализация встречается в пределах Окуненской и Лево-Четской рудных зон (Шнейдер и др., 1964).

О к у н е с к о е р у д о п р о я в л е н и ю (57) бериллиевая и редких земель находится в пределах известного смычкового месторождения (56), описанного выше. Оно расположено в 2 км к юго-востоку от залежи Ниж. Триадата, на левом берегу р. Казыр. Разведается. Бериллиевая минерализация приурочена к флюоритовым залежам и флюорит-содалитовым скважинам в контакте известников с малыми массивами рибекитовых гранитов. Флюоритовые тела имеют неправильную линзовидную и жилогоризонтальную форму. Количество тел разна 0,2-5,2 км, длина от 6 до 53 м. Основным бериллиевым минералом является лейкосфен, содержание которого во флюорите колеблется от 1 до 12%. Реже встречаются минералы гельвин, гонгтэльвин, данолит. Содержание окиси бериллия по бороздовым пробам равно 0,08-2,24, при среднем из 69 проб 0,35% (Р.Г. Жданов, Ю.М. Евланов, 1964г.). Во флюорит-содалитовых скважинах окись бериллия составляет 0,005-1%. Перспективные запасы на I/I. 1965г. оцениваются не менее 450 тонн окиси бериллия. Разведочные работы продолжаются.

Циркониевая минерализация (эльпидит, циртолит) выявлена в зонах дробления рибекитовых гранитов. Мощность зон достигает 30 м, при просстирании 400 м. Ориентировка зон северо-восточная, параллельная контакту. Оруденение распределено достаточно равномерно. Содержание эльпидита составляет от 1 до 20%. По данным химического анализа содержание окиси циркония колеблется от 0,01 до 0,6%.

Редкоземельная и ториевая минерализация встречена в пределах флюоритовых тел Окуненского рудопроявления. Здесь установлены минералы боритолит, торианит, оренжит, иттроборит. Содержание суммы окислов редких земель по химанализам бороздовых проб составляет от 0,05 до 10,52%, при этом окиси церия от 0,11 до 3,66%, а суммы окислов иттрия и граната группы от 0,24 до 2,78%. В целом иттриевая группа преобладает над цериевой (по данным химанализов) в 1,5-2 раза. Флюоритовые тела содержат также ниобий, торий, иттербий в количествах значительно выше клараковых, а лантан в количестве от 0,5 до 1%, причем не только во флюорите, но в скважинах и гранатах. Соляные ороволы редких земель иттрия и ниобия сопровождают симма-аномелиями, а иногда и с ореолами бериллиевых руд. Дальнейшие поисково-разведочные работы в пределах Окуненской рудной зоны необходимо продолжать, с выходом к вершину р. Казыр, где неладно горюческой экспедицией обнаружены радиоактивные аномалии и флюоритовые тела.

Рудопроявление бериллия Сухой Лог (или флюоритовое) находится на правом берегу р. Казыр, в ЗАМ к юго-востоку от Окуненского месторождения, на продолжении его рудной зоны, и приурочено к контакту малого массива рибекитовых, высоко активных, гранитов с из-

вестниками и сланцами верхнего протерозоя. Оно представляет собой восьмь небольших залежей флюорита и флюоритовых скарнов с лейкократом, мощности от 0,3 до 7 м. Содержание окиси бериллия колеблется от 0,048 до 0,7%. Запасы его составляют не более 50 т (Р.Г.Джанов, 1964г.). Флюоритовые тела мало активные и в отличие от Онуенки не содержат высокой концентрации редких земель (не более 0,8% суммы окислов редких земель).

Лево-Четско-рудопроявление (97) редких земель находится в среднем течении одноименной реки, приурочено к зоне дробления в красных щелочных гранитах Лутагского комплекса. Границы гидротермально перекристаллизованы со-ою зону карбона гипсов, состоящих из белого и розового кальцита и красного полевого шпата. В зоне дробления наблюдается интенсивная гематитизация, встречающая вкрапленность галенита, халькопирита, а по трещинам в гранитах сильное радиоактивная землистая порода (до 50 мкР/час). Минерализация установлена в двух точках зоны, имеющей протяженность до 1 км. По данным спектрального анализа отмечается наличие иттрия, лантана, тория, урана, мышьяка, сцинца и молибдена.

НЕМЕТАЛЛИЧЕСКИЕ ИСКОПАЕМЫЕ

Химический сырье

Серный колчедан

Мало-Кандацкое месторождение серного колчедана (102) находится в зонах р.рудный Кандат. Здесь в порогах верхнеколпинской подошвы проходит зона пиритизации, мощность 75 см. Одна ее часть сложена известковистыми сланцами, с густой и средней вкрапленностью пирита (до 6000% мощности). Вторая часть — зона окварцевания с вкрапленностью гематита, пирита, пиротита и халькопирита, иногда в виде сплошных гнезд. Одна из проб показала содержание золота 0,2 г/т. Данная рудная зона оценивается как непромышленное месторождение. Необходима проверка ее золотоносности при детальных работах.

Флюорит (флюс и химсыре)

Окуневское рудопроявление (57) представляет известный интерес как химсыре, при комплексной разработ-

ке. Флюоритовые тела и флюорит-содержащие скарны ориентированы вдоль контакта мраморов с рибекитовыми гранитами, имеют неправильную и линзовидную форму. Размеры тел от 1 до 5 м по мощности и от 6 до 50 м по протяжению. Количества флюорита колеблются от 36,27 до 64,02%, а в флюорит-содержащих скарнах от 0,5 до 19,4%. Флюорит по отношению к галениту является более поздним. Запасы химсыре не значительны. Аналогичные линзы флюорита в сухом лоту имеют малородильское значение.

Керамическое сырье

Андалузит, алунит

Маратинское рудопроявление (120) находится в среднем течении р.Ниж.Марата, притока р.Канкат. Открыто Л.А.Лира в 1963г. Высокоглиноземистое сырье в виде андалузита, алунита, корунда, диаспора и топаза встречается во вторичных кварцитах, образовавшихся за счет гидротермально перекристаллизованных флюзит-порфиров и албигит-порфиров имирской свиты. Участки вторичных кварцитов распространяются вдоль дисьюнктивных нарушений. Содержание полезных минералов, подсчитанное по шлифам (Л.А.Лира, 1964г.) равно: алунит — 35-50, андалузит — 15-45, корунд — 0,5-3, топаз — 0,5-5, диаспор — 0-1%, кварц — 50-80%. По данным штуфного опробования содержание глиноэма колеблется от 14,6 до 21,92%. Аналогично по геологическому строению и Верхне-Марматинское рудопроявление (122).

СТРОИТЕЛЬНЫЕ МАТЕРИАЛЫ

Работы по оценке качества изверженных и осадочных пород в данном районе не производились. Однако следует указать ряд месторождений, которые могут быть использованы для прокладки дорог и других целей.

Извещенные породы пригодные для кладки фундаментов и как балластное сырье известны в следующих точках: граниты в Тобрукульском месторождении (11), диориты в Канкатском (123), диабазы в Тагосукском (8), диориты и габбро — в Таятском (24) и Базибайском (76), порфиры в Верх.Марматинском (124) и др.

Карбонатные породы

Обломочные породы

Известники

Можарское месторождение (Г) находится на берегу однотипного озера, в белых и серых известняках балахтинской свиты. Качество известняков среднее (в %) SiO_2 - 3,4, CaO - 52,5, MgO - 0,87, Fe_{2}O_3 - 0,99, п.п.п. - 42,09, H_2O - 0,06. Используется для облицовки.

Верхне-Тагусукское (5) расположено на восточном берегу озера, сложено известниками верхнеколинской подсвиты. Качество известняков низкое: SiO_2 - 10,34, CaO - 42,83, MgO - 4,09, Fe_{2}O_3 - 2,29, Al_2O_3 - 4,98, п.п.п. - 38,06, H_2O - 0,06%.

Большое - Тибекульское (Табратское - 50) (13) приурочено к известнякам овсянниковской свиты. По химическому составу известняков высокое: SiO_2 - 0,48-0,76, CaO - 53,76-54,32, MgO - 0,79-1,44, Fe_{2}O_3 - 0,39-1,09, Al_2O_3 - 0,42-0,70, п.п.п. - 43,4-43,7, H_2O - 0,05-0,07%. Известники могут применяться как флюс II и III сорта в черной металлургии, для воздушной известки марки А и Б, в цементной промышленности. К породам овсянниковской свиты относятся также месторождения Мало-Кытасков (42), в районе озера Печально (59), Окуниевского и др.

Выходы мраморов (70) известны по долине р.Ниж.Кытас, в породах саянобайской свиты, где они слагают хорошо выдержаный горизонт.

Глинистые породы

В результате проведенных геологических работ установлена определенная закономерность в размещении полезных ископаемых на территории листа № 46-ХХII и выделены Хабалыкско-Талыкская, Окуниевская и Канакская структурно-метатектонические зоны, а также потенциально-перспективные участки для постановки более детальных работ.

Ниже дается прогнозная оценка по основным полезным ископаемым.

Канакское месторождение (44) находится в нижнем течении р.Канакский Талык. В основном второй надпойменной террасы залегает пласт светло-серых ленточных глин ледникового происхождения. Мощность 2,3м. Качество глины хорошее. Пригодно для производства кирпича.

Песок строительный ОБЩАЯ ОЦЕНКА ПЕРСПЕКТИВ РАЙОНА

Казырское месторождение (67) находится в 2-м ниже устья р.Дремучки на обширной косе, в основании первой террасы и выше островов р.Казыр. Площадь выхода 4,2км²; галька и гравий хорошо сортированы, вполне пригодны для строительных работ и дорожного покрытия. Аналогичные участки известны у пос. Верх.Тридатка и в др.районах.

Песок строительный

Мало-Тибекульское (10) и Большое - Тибекульское (12) месторождения представляют собой большие по площади шлейфы песчаных пляжей по берегам однотипных озер. Представлены кварцевыми и аркозовыми песками без органических и пылеватых частиц. Суммарные запасы песков не более одного млн.кубометров (соответственно 0,4 и 0,6 млн.м³).

Аналогичные месторождения строительных песков встречаются по берегам р.Казыр в породах II и III террас (53,58,66).

Галька и гравий

Суммарные запасы магнетитовых руд района оцениваются в 440 млн.т., из них 210 млн.т. на известных рудных месторождениях (Таятское - 50, Табратское - 120, Хабалыкское I, II и Болотное - 40 млн.т.) и 230 млн.т. на перспективных anomалиях (Канакская и Хайровская I, II и III - 90 млн.т.). Дальнейшие работы по поискам magnetita следует проводить в зоне Таят-Табрат-Хабалыкского скрытого рудоисконтролируемого разлома и в зоне перспективных аномалий. Рекомендуются также поиски осадочных гематитовых руд в благоприятных структурах нижнеколинской подсвиты. Поясни хрома следует продолжить в Эргакском массиве, исходя из зоны дунитового ядра.

При детальных работах 1:50000 масштаба нужно охватить эндогеноконтакты Мало-Кандатского массива, с целью поисков колчеданых руд.

Рекомендуется проявление поисково-разведочных работ на Освирдской рудопроявлении судьбидного никеля с целью изучения его на глубину.

При детальных работах следует опробовать древние террасовые отложения, в том числе по кругу Гусевскому, а также пролести поиски в районе Байдыбайского рудопроявления.

Байдыбайская зона молибденовых рудопроявлений рекомендуется как объект для оценки штокверковых руд и поисков новых молибденовых полей, особенно в источниках р. Прямой Багры, на линии сооружений разломов.

Комплексная редкометальная минерализация, найденная в Окуневской рудной зоне, является весьма перспективной. Необходима дальнейшая разведка рудных тел на глубину, а также расширение поисковых работ на торий, уран, бериллий и редкие земли в вершину р. Колб.

ПОДЗЕМНЫЕ ВОДЫ

Подземные воды и их выходы на дневную поверхность наблюдаются среди осадочных, вулканогенных и интрузивных пород. По условиям залегания и циркуляции подземные воды подразделяются на болотные (верховодка), грунтовые, трещинные, трещинно-пластовые и карстовые.

Болотные воды характеризуются особыми формами залегания. Болота на плоскости образуются при заболачивании лесов, при зарастании и затоплении водоемов и в результате избыточного увлажнения участков почвы на плоских водоразделах и в речных долинах. По условиям питания водой болота делятся на следующие типы: 1) низменные, питавшиеся атмосферными, грунтовыми, озерными и речными водами. Эти болота развиты по долинам крупных рек, их притоков и близ больших озер (Тобратские, Убинские, Горьковские и др.). Вода имеет застывший застывший и не пригодны для питья. 2) верховые (страгновые) болота, питавшиеся преимущественно атмосферными осадками и имеющие окна свободной воды. К этому типу относятся заболоченные участки субальпийских лугов на хребтах Шандын, Крыжина, Покровского, Паркиного Белька и на водоразделах рек (Таян-Шандын и др.). Вода в них прозрачная, с чистым замятным болотным запахом, пригодна для питья. 3) висячие болота приурочены к склонам водораздельных поднятий и хребтов, встречаются часто и

занимают небольшие участки в местах выхода грунтовых и трещинных вод. Эти болота имеют свой сток в виде ручеек со средним объемом 0,1-0,2 л/сек. Вода имеет никакую температуру и приятный вкус. Воды ультрапрочные гидрокарбонатные кальциевые, гидрокарбонатные натриевые.

Грунтовые воды по условиям залегания подразделяются на алювиальные, делювиально-моренные и воды меандрических долин и владин. Грунтовые воды алювиальных отложений отмечаются в долинах рек Казыра, Кандата и их притоков. Они носят характер водноносных горизонтов. По В.В.Бернгиллову (1951г.) уровень грунтовых вод в речных террасах соответствует уровню потока, дренирующего эту террасу; основной водоносный горизонт приурочен к первой надпойменной террасе. Двигаясь различно и колебляясь от сотых долей до 1-3 л/сек. В делювиально-моренных отложениях грунтовые воды циркулируют по поверхности коренного ложа и приурочиваются к нижнему слою отложений. Приток воды небольшой - от 2 до 5 л/час. Зеркало грунтовых вод отмечено на глубине от 1,5 до 3 метров. Грунтовые воды меандрических долин и владин имеются на северо-западе территории листа, между горами Козя и Козёнок. Грунтовые воды обычно имеют свободную поверхность и хорошую гидравлическую связь с другими водотоками. Питание их происходит за счет инфильтрации атмосферных осадков и выходов трещинных вод. Воды гидрокарбонатные натриево-кальциевые, ультрапрочные, очень мягкие,нейтральные, иногда слабокислые. В районе Таянского месторождения характер грунтовых вод несколько изменен. Это гидрокарбонатные магниево-кальциевые и магниево-натриево-кальциевые воды, иногда углекислые (CO_2 свободного до 9 мг/л); общая минерализация 0,9-0,15 г/л, общая жесткость 1,0-2,01 мг.экв./л; воды нейтральны (рН=7,1-7,4), редко слабо кислые (рН=6,6).

Трещинные воды имеют ведущее значение; циркулируют в породах протерозоя, кембрия и девона. Многочисленные зоны трещинности, трещинные отдельности и сланцеватости благоприятны к наблюдению, трещинные зоны способствуют образованию горизонтов склонов подземных вод и способствуют формированию крутизны склонов хребтов, уступам водораздельного пространства и бортам долин. Дебит источников колеблется от 3 до 5 л/сек. Подземные воды в эфузивах девона, обладающих меньшей трещиноватостью, имеют вид исходящих источников с небольшим дебитом (от 0,3 до 0,6 л/сек). В интрузивных массивах наибольшей водоснабженностью обладают эндогенные зоны и участки повышенной трещиноватости.

По данным химического анализа трещинные воды относятся к типу гидрокарбонатные зоны и участки повышенной трещиноватости.

карбонатно-кальциевых. Изредка в зонах нарушений встречаются гидрокарбонатно-хлоридные натриевые воды. Водыультрапресные с общей минерализацией 50-150 мг/л, очень мягкие, реже мягкие, преимущественно нейтральные ($\text{pH}=6,8-7,3$). В зонах нарушений циркулируют слабокислые и кислые воды ($\text{pH}=6,3-4,7$).

Трещинно-пластовые воды связаны с песчано-сланцевыми породами осиновской и альсугской свит. Характер вод этого типа не изучен в связи с обильно развитыми в этих местах грунтовыми водами.

Картостроительные разрывы в известняках и карбонатно-сланцевых породах осиновской, балахтинской и башкайской свит. Благодаря активному действию этих вод возникает весьма характерные формы рельефа: карстовые якорники, провалы пещеры. Довольно крупные якорники встречаются в истоках реки Китят, в районе Ижуновки, нижнего течения р. Тайменки, близ Осередка, в среднем течении р. Базыбай. Весьма интересным карстособразованием является провала в левом берегу р. Мал. Китят, с выходом небольшого водопада, имеющего дебит 3-4 литра в секунду.

Подземные воды, залягающие на разных стратиграфических и гипсометрических уровнях, вследствие повышенной трещиноватости пород, наличия зон дробления и участков карстообразования связаны между собой постоянными переходами и находятся в сложных гидрологических взаимоотношениях. В целом вся исследованная территория является хорошо обводненной.

ЛITERATURA

О ПУБЛИКАЦИЯ

БУЛЫНИКОВ А.Д. Геологические исследования в Нижне-Кизирском районе Минусинского округа в 1926г. Изв. Соб. отд. геол. ком., т. IХ, вып. 2, 1929.

ВОЛОГДИН А.Г. Кизир-Казырский район. Труды ГГРУ ВСНХ СССР, вып. 92, 1931.

ЗУБКОВ И.М., ИЗАНОВ В.М. Лысогорский габбро-пироксенит-диунитовый интрузивный комплекс Западного Саяна. Изд. СО АН СССР, 1963

ЗУБКОВ Б.П., ШНЕЙДЕР Е.А. Геологическая карта СССР, масштаба 1:200 000, серия Минусинская, лист № 46-ХУ. 1960

ЗУБКОВ Б.П., ШНЕЙДЕР Е.А. Стратиграфия кембрийских отложений юго-западной части В. Саяна. Сб. новые данные по геологии Красн. края. 1963

ЗУБКОВ Б.П., ШНЕЙДЕР Е.А. Вулканогенно-осадочные отложения кембрия юго-западной части Восточного Саяна и их металлогения. Труды СИИТИМС, вып. 35, 1964

КОНИКОВ А.З. К стратиграфии докембрийских и кембрийских отложений Артемовского района (Восточный Саян). Инф. сб. ВСЕГЕИ, № 6, 1960

КУЗНЕЦОВ Ю.А. Главные типы магматических формаций. М., 1964

ЛЕБЕДЕВ А.П., БОГАТИКОВ У.А. Петрология Кизирского габбро-сиенитового plutona (Восточный Саян), Труды ИГРМ, вып. 97, 1963

МОЛЧАНОВ И.А. Восточный Саян. очерки по геологии Сибири. Изд. АН СССР, 1934.

ОГИЛОВ Д.М. Булкинская стратифицированная интрузия габбро-анортитов в Западном Саяне и механизм ее формирования. Автореферат диссертации, Л., 1964

ПИНУС Г.В., КУЗНЕЦОВ В.А., ВОЛОГОДИН И.М. Габброребазиты Алтай-Саянской складчатой области. Изд. АН СССР, М., 1958

С т а л ь н о в Г.И. К вопросу о современных Саянских пе-
никах. Вестник геол. ком., № 4, 1925

Х е с с Г.Г. Серпентиниты, ортофенез и эпайрогенез. Сб. Зем-
ной коры. Изд. иност.литер., М., 1957

Ш н ө й д ө р Е.А., З у б к у с Б.П. Стратиграфия нижне-
и среднедевонских отложений Северо-Минусинской и Сынко-Боринской
впадин. Матер. по геол. и полезн.ископ. Красноярского края, вып.2,
1962.

Ш н ө й д ө р Е.А., З у б к у с Б.П. Геологическая карта
СССР, масштаб 1:200 000. Серия Минусинская, лист №46-УШ. Объяс-
нительная записка, 1960.

Ш н ө й д ө р Е.А., З у б к у с Б.П. Вырисы тектонических
по развитию юго-западной части Восточного Саяна. Тектоника Сибири,
т.П., изд. Сиб.отд.АН СССР, 1963

Ф о н д о в а я +/

Б ө д р ջ ի չ կ ա յ Կ.Բ., Չ օ ր ն ի շ օ զ Հ.Մ. Отчет Мину-
сийской партии по геологическим работам 1958г. (Материалы к составлению
геологической карты №-са 1:500 000 восточной части Саяно-Алтайс-
кой складчатой области - фактические данные), 1959

Б օ ր ն ի լ օ վ Ա.Վ., Բ օ ր ն ի լ օ վ Վ.Ի. Гео-
логическое строение правобережья р.Барабай и р.Нижний Кизир (от-
чет Китатской поисково-съемочной партии за 1950г.), 1951

В օ լ օ ր դ ի ն Ա.Գ. Кизир-Казарский район. Отчет о резуль-
татах работ по данным исследований 1929-1931гг. 1931

Յ ս կ յ ս Բ.Պ., Շ ն օ յ լ օ ր Ե.Ա. и др. Геологическое
строение и полезные ископаемые листа №-46-ԽՄ (отчет о работах Иди-
ринской партии за 1958-1960гг.), 1961

Կ օ ն ն ի կ օ Վ.Զ. Стратиграфия и метаморфизм поздне-ким-
брейских и нижнепалеозойских отложений среднего и верхнего тече-
ния р.Казыр (западная часть Восточного Саяна). Отчет Кизирского
отряда за 1961г., 1962

+/- Все работы хранятся в ТГУ Красноярского территориального
геологического управления.

М и т ր օ լ օ յ չ ս կ մ ի Ա.Ս. Геологическое строение край-
ней восточной части Западного Саяна (отчет о работах 1933г.), 1934

Ն օ մ ծ օ չ ի Յ.Ա., Ա ս լ ի գ ի ն Բ.Լ. Геологическое
строение и полезные ископаемые междуручья Кукшин-Канда. Отчет о
поисково-съемочных работах Булкинского тиганового отряда ГРП №50
за 1955г., 1956

Տ օ մ ա շ պ ո լ օ ւ ս կ ա յ Վ.Դ. Гиперразитовая интрузия За-
падного Саяна, 1938.

Շ ե լ օ մ օ վ Ո.Ի. Отчет Таятской геолого-съемочной партии
по работам 1959-1961гг. (геологическое строение листа №46-Ֆ-Ա
и №46-Ց-Բ), 1962

Շ ն օ յ լ օ ր Ե.Ա., Ե լ ի ս օ բ Մ.Ա., Ս ա պ ր օ ն օ վ Հ.Լ.
Предварительный отчет Тибетркульской ГСП за 1961г. (геологическое
строительство и полезные ископаемые водораздела рек Казыра, Канда та и
Систиг-Хема), 1962

Շ ն օ յ լ օ ր Ե.Ա., Զ ս կ յ ս Բ.Լ. и др. Предваритель-
ный отчет Тибетркульской партии за 1962г. (геологическое строение
и полезные ископаемые Кизир-Казырского водораздела), 1963

Շ ն օ յ լ օ ր Ե.Ա., Զ ս կ յ ս Բ.Լ., Ս ա պ ր օ ն օ վ Հ.Լ.
Отчет Балынского отряда Тибетркульской партии о поисковых работах
на молибден, хром, никель и железо в районах верхины р.Багры,
среднего течения р.Б.Канда и р.Черной, 1964.

Շ ն օ յ լ օ ր Ե.Ա. Геологическое строение и полезные иско-
паемые восточной части Восточного Саяна в районе хребта Крыжина
(отчет о работах Базыбайской поисково-съемочной партии за 1950г.)
1951

Յ ր օ շ օ չ ի Յ.Մ. Геологическое строение средней части
междуречья рек Казыр и Кизир (отчет о работе Тебратской поисково-
съемочной партии за 1950г.), 1952

Приложение I

Список материалов, использованных для составления карты
полезных ископаемых

№	Фамилия и инициалы автора	Название работы	Год состав- ления для изда- ния	Местона- хождение материала
1	2	3	4	5
1	Берентилова В.В. Берентилов В.И.	Геологическое строение пра- вобережья р.Базыбай и р.Ниж. Ките. Отчет Китайской по- исково-съемочной партии	1951	Фонды КГГУ
2	Бернштейн П.С.	Предварительный отчет Тувин- ской геологической партии НИГИЗОЛОГО	1945	То же
3	Булгоменцевый В.И. Шутак Л.М.	Отчет о результатах работ Саянской аэромагнитной пар- тии № 23/60	1960	"
4	Булынников Л.Я.	Геологические исследования в Никан-Казырском районе	1929	Изв. СОИК Р.ГХ.в.2
5	Долингер Ю.А. Хожиков В.С. Холандра А.И.	Результаты геофизических работ, выполненных в юго- западной части Западного Саяна и юго-западной части Восточного Саяна	1958	Фонды КГГУ
6	Зубкус Б.П. Шнейдер Е.А.	Вулканическо-осадочные от- ложения кембрия юго-запад- ной части Восточного Саяна и их металлогения	1964	Труды СИМГРИМС, вып.35
7	Калинин Д.В.	Некоторые особенности ми- нералогии и генезиса Таят- ского месторождения	1962	Изд.ПГУ
8	Каныгин Л.И. Горшков Г.С.	Промежуточный отчет о ре- зультатах поисково-разве- дочных работ на Таятском и Тасратском месторождениях	1963	Фонды КГГУ

1	2	3	4	5
9	Князева В.Н. Жданов Р.Г.	Результаты геолого-геофи- зических работ, проведен- ных в районах Казыр-Кизир- ского междууречья на планах- так № 46-79, 80, 81 (отчет о работах Тасратской геодиэй- ческой партии за 1958г.)	1959	Фонды КГГУ

1	2	3	4	5
9	Князева В.Н. Жданов Р.Г.	Результаты геолого-геофи- зических работ, проведен- ных в районах Казыр-Кизир- ского междууречья на планах- так № 46-79, 80, 81 (отчет о работах Тасратской геодиэй- ческой партии за 1958г.)	1959	Фонды КГГУ
10	Лира Л.А. Турбинов Ю.В.	Результаты геолого-геофи- зических работ, проведен- ных на Амель-Кандатском междуречье	1964	То же
11	Немцович В.М. Булагин Б.П.	Геологическое строение и полезные ископаемые между- речья Кукшин-Кавыл Тувин- ской ГРЭ	1955	"
12	Соловьев Д.К.	Саянский промысловодо- хотничий район и соболинский промысел в нем	1921	ИКЗ, с-х., ученый совет, ТИЗ
13	Соловкин М.В. Аграрнов М.С. Лезин С.И.	Отчет о специальных поис- ках "Севинца" и полутиных поисках других полезных ископаемых в верхнем тв- ечении р.Амель и среднем течении р.Казыр	1953	Фонды КГГУ
14	Тарасевич А.В. Холмов М.А.	Результаты геофизических исследований в Западном Саяне. Сводный отчет по работам Таштыпской аэро- геофизической партии за 1956г., Саянской и Кордас- ской геофизических пар- тий за 1957г.	1957	То же
15	Терехов Б.И. Гилько М.К.	Отчет о работах Китайской и Восточно-Саянской ГРЭ- физических партий	1958	"

Приложение 2

СПИСОК ПРОМЫШЛЕННЫХ МЕСТОРОЖДЕНИЙ ПОЛЕЗНЫХ ИСКОПАЕМЫХ,
ПОКАЗАННЫХ НА ЛИСТЕ КАРТЫ ПОЛЕЗНЫХ ИСКОПАЕМЫХ
МАСШТАБА 1:200 000

I	2	3	4	5
№	Индекс по кар- те	Наименование месторож- дения и вид полезного ископаемого	Состояние эксплуатации	Тип месторож- дения (к-ко- ренное) использован- ного материала по списку
16	Чайкин В.М. Радионова В.Г.	Геологическое строение лев- обережья р.Казыр в бассей- не рек Конного Тата, Багры и Чёт	1952	Фонды КГГУ
17	Чураков А.Н.	Подводный отчет о работах 1916г.	1917	Изв.ТК т.ХХХI, стр.448, Фонды КГГУ
18	Шеломов Ю.И.	Отчет Таятской ГСИ по ра- ботам 1959-1961гг. (геоло- гическое строение листа №46-81 А и Б)	1962	
19	Шеломов Ю.И. Жданов Р.Г.	Промежуточный отчет Канак- ской ГСИ по работам 1963г.	1964	To же
20	Шнейдер Е.А. Елисеев М.А.	Предварительный отчет Ти- беркульской партии за 1961г.	1962	"
21	Шнейдер Е.А. Зубкус Б.П. Сапронов Н.Л.	Предварительный отчет Ти- беркульской партии за 1962г.	1963	"
22	Шнейдер Е.А. Зубкус Б.П. Сапронов Н.Л.	Отчет Багринского отряда за 1963г.	1964	"
23	Шнейдер Е.А.	Геологическое строение и полезные ископаемые вос- точной части Восточного Саяна в районе хр.Крыжина. Отчет о работах Базыбайс- кой поисково-съемочной партии	1950	"
24	Яромевич В.М.	Геологическое строение средней части междууречья р.Казыр и р.Кизир. Отчет о работе Таборской ГСИ за 1949г.	1950	"
I	2	3	4	5
№	Индекс по кар- те	Наименование месторож- дения и вид полезного ископаемого	Состояние эксплуатации	Тип месторож- дения (к-ко- ренное) использован- ного материала по списку
124	ЛУ-2	Кисловые породы	К	21
123	ЛУ-1	Верхне-Мамратское	К	20
II	I-1	Кандышское	К	21
		Тиберкульское месторож- дение	К	

Приложение 3

СПИСОК НЕПРОМЫШЛЕННЫХ МЕСТОРОЖДЕНИЙ ПОЛЕЗНЫХ ИСКОПАЕМЫХ,
ПОКАЗАННЫХ НА ЛИСТЯХ 0-46-ХХИ КАРТЫ ПОЛЕЗНЫХ ИСКОПАЕМЫХ
МАСШТАБА 1:200 000

1	2	3	4	5	6
1	2	3	4	5	6
Основные породы					
76	II-4	Базыбайское	Не эксплуатируется	K	20
24	I-2	Таятское	To же	K	18
8	I-I	Тагосукское	"	K	21.
О б л о м о ч н ы е п о р о д ы					
67	II-2	Галька и гравий			
		Казырское	"	K	21
		Песок строительный			
12	I-I	Больше-Тиберкульское			
58	II-1	Верхне-Гридицкое	"	K	18,21
66	II-2	Канакское	"	K	21
10	I-I	Мало-Тиберкульское	"	K	21
53	II-1	Нижне-Гридицкое	"	K	21
МЕТАЛЛИЧЕСКИЕ ИСКОПАЕМЫЕ					
		Благородные металлы			
		Золото			
12	I-1	Ключ Гусевский			
58	II-1	Ключ Золотой, правый			
66	II-2	Приток р.Багра			
10	I-I	Ключ Лево-Табратский			
53	II-1	Ключ Лево-Табратский			
НЕМЕТАЛЛИЧЕСКИЕ ИСКОПАЕМЫЕ					
		Химическая ссыпка			
		Серный колчедан			
102	III-3	Мало-Канадское	Не эксплуатируется	K	20
		СТРОИТЕЛЬНЫЕ МАТЕРИАЛЫ			
		Карбонатные породы			
		Известники			
13	I-I	Большое Тиберкульское	Добыча китевыми	K	18,21

Приложение 4 СИЛЫ ПРИЛАДЫХ.

СИСТОМЫ ПРОИЗВЕДЕНИЙ ПОЛЕЗНЫХ ИСКОПАЕМЫХ,
ПОКАЗАННЫХ НА ЛИСТЕ № 46-ХХИ КАРТЫ ПОЛЕЗНЫХ ИСКОПАЕМЫХ.

MACHTAEA I:200 000

I	2	3	4	5
I	2	3	4	5
109	Ш-4	Поповченская	На контакте диоритов с породами кембрия интенсивностью 1500-2180 гамм. Сопадает с повышенным содержанием магнетита в шлифах	20
7	I-1	Тагосуцкое	Гематитовые руды	
6	I-1	Чернореченское	Среди диасаозов нижнего кембрия тургоянны породы с гематитовыми рудами	22
60	II-1	Больша озера Верхнего Триадского	То же	22
61	II-1	Истоки р.Ниж.Триад-	Пирротиновая вкрашенность в черных сланцах и известниках.	21
84	III-1	чатки	Свальи сливных пирротиновых руд в алевитах	21
27	I-3	Марганец		
27	I-3	Тайменско-	Делюизиальные свалы стяжений пиромилита в зоне разлома	21
30	I-3	Истоки р.Тихой	Простолы черных сланцев и суручных яшм с повышенным содержанием марганца и ванадия	21
		Титаномагнетито- вые руды		
135	IV-3	Булкинское	Вскрытность магнетита и титаномагнетита в пабборо и боритах и перидотитах	11,20
33	I-3	Осаредское	То же	21

I	2	3	4	5
I	2	3	4	5
26	I-3	Район р.Таймырки	Шлиховые ореолы ильменита от I до 4 кг/м ³ , магнетита I-3 кг/м ³ , циркон, сфин, шеелит, лигнит, корунд в одинарных знаках.	21
31	I-II-3	р.Ниж.Китят	Ильменита от I до 4 кг/м ³ , магнетит, сфин, хром-шиллингит, шеелит, золото	21
38	I-II-3-4	р.Мал.Китят	То же	21
43	I-II-4	р.Базыбай	"	21
48	II-I	Реки Каменушка и Бахтат	Небольшие количества ильменита, магнетита, циркона, а также граната и шеелита (20-30 знаков)	21
51	II-III-I-2р.Казыр		Ильменит и магнетит от I до 3 кг/м ³ , знаки циркона, апатита, шеелита и золота	21
62	II-2	Реки Канак и Древесная	То же	21
68	II-III-2-3	Реки Багра и Чёт		20
83	III-1	Район озера Верх. Триадский	"	21
73	II-3	Реки Казыр, Баренцева и Кузьминка	По р.Кузьминке содержание шеелита до 13% знаков, по р.Баренцевой знаки молибденита	15,20
85	III-IV-I-2	Реки Конный и Мал. Таят	Кроме магнетита и ильменита повышенные содержания титаномагнетита, апатита, циркона, лимонита, марилита. Апатит местами даёт повышенную концентрацию, повышенно присутствует пиромит, отдельные знаки шеелита, золота и хромита	21

I	II	III	IV	V
IU7	III-4	р.Поларка, при- ток Рыбной	Хром	
144	IV-4	Восточное	Высокая концентрация иль- менита и магнетита софта – дает с магнитной аномалией IO9, знаки хромита, шеели- та, молибденита, монацита	20
128	IV-2	Эргакское	Вокругленность хромита и никеллоодержащего пирро- тина в дунитах и лардо- литах.	20
3	I-I	В районе озера Варх Тагосук	Вокругленность хромита в тигрофазах, наблюдаются отдельные гнёзда и обособления хромита до 20%. В сводах – сливные хромиты, глыбы до 1,0м в диаметре	II, I53
9	I-I	В районе озера Ти- беркуль	Шлиховые ореолы	21
15	I-II-I	р.Табрат	Повышенные содержания хромита, магнетита, рене- тита, ильменита, апатита, и пироломита	21
16	I-II-I-2	Реки Табрат и Ка- вакский Таят	To же	21
118	IV-I-2	р.Варх.Мамрат	"	21
121	IV-I	р.Черкасль	"	21
125	IV-U-I-2-3	Реки Кандалт, Эргак	По р.Кандалт знаков 8 и местами повышенное содер- жание хромита, иногда до 25% от веса щебяккии, щебни- та от I до 20 знаков, а па-	20

			1	2	3	4	5
99	Ш-3	Багринское	Медь				
2	I-I	Верх.-Лагосукское	Вкрапленность халькопирита и галенита в извастко-вистых пессапниках (железные шпаты)	20			
137	IV-4	Ключ Голубой	Вкрапленность халькопирита в породах осиновской синты	21			
139	IV-4	То же	Вкрапленность халькопирита в плагиогранатах.	20			
129	IУ-2	Кандашское	Зона пиритизации с вкрапленностью халькопирита и налетами малахита	20			
37	I-4	р.Китаг (верховья)	Вкрапленность халькопирита в граносенитах	20			
80	Ш-1	р.Конный Таят	Кварцевая жила с халькопиритом и другими сульфидами	21			
72	П-3	Кузьминское	Вкрапленность халькопирита в эйнзенах нижнего ююории кварцевая жила с вкрапленностью халькопирита друг	15			
4	I-4	Мало-Китатское	Гибк. сульфидов	1,15,			
			То же				

I	2	3	4	5
I	2	3	4	5
50 П-1 Нижне-Казырское	Вкрапленность халькопи- рита в эфузивах кизирс- кой свиты	24	145 IУ-4 Шандынское	На контакте с гранитопор- фирами зоны кварцево-ди- ротиновых руд с галенитом, арсенопиритом и халько- ритом. Мощность 120м, про- тяжность до 1,5км.
71 П-3 Нижне-Китатское	Кварцевая жила с вкрап- ленностью халькопири- та в скарновой зоне на контакте известняков и гранитов Солнечного мас- сива	1,21	97 Ш-3 Лево-Чётское	В зонах красных грано- сиенитах вкрапленность галенита и халькопирита. Здесь же редкие залежи кварцевая жила с галени- том и халькопиритом
40 I-1У р.Сухой Базыбай	Пирротиновые линзы не- больших размеров, вкрап- ленность халькопирита в кварцевом контакте с гра- нитами	21	86 Ш-2 Нижне-Багринское	В зонах красных грано- сиенитах вкрапленность галенита и халькопирита. Здесь же редкие залежи кварцевая жила с галени- том и халькопиритом
29 I-3 р.Табрат (левый приток)	Кварцевая жила с вкрап- ленностью халькопири- та на контакте с гра- нитами	21	III Ш-4 Попереченское	Вкрапленность галенита на контакте диоритов с грани- тами. Зона оруденения не прослежена
25 IУ-4 р.Таргак	То же	21	36 I-4 Нижне-Китатское	Кварцевая жила с галени- том и пиритом
69 П-3 р.Хайдузовая	Кварцевая жила с вкрап- ленностью халькопирита	21,15	113 Ш-4 Право-Таргакское	То же
IУ3 Ш-3 Багринское	Свинец	20	114 Ш-4 Таргакское (по ле- вому истоку)	То же
105 П-1 Бахташское	Кварцевая жила с галени- том и др.сульфидами сре- ди граносилинтов	21	115 Ш-4 Таргакское	Кварцевая жила в диоритах с галенитом и др.сульфи- дами
52 Ш-3 Багринское	Вкрапленность галенита и сульфидных руд в скарни- ческих породах на контак- те с гранитами	20	130 IУ-3 Шандынское	Вкрапленность халькопири- та в порфиритах имирской свиты
88 Ш-2 Верхне-Багринское	В истоках правой Багры сплавы пирротиновых руд с вкрапленностью галенита и халькопирита	20	108 Ш-4 Вершина р.Попереч- кий	Соловые ороволи
			112 Ш-4 Истоки р.Правый Таргак	Ореол свинца, цинка, ит- трия и циркония в районе рудопроявления II
				Ореол свинца, цинка и ме- тила в районе рудопроявле- ния II

1	2	3	4	5
IIб	Ш-ГУ-4	Истоки р.Таргак	Ореол свинца, цинка, меди, молибдена и мышьяка в районе рудопроявления Г15	20
I4I	ГУ-4	Больше-Кандацкое	Вкрапленность никеля, фуксита и треморита в лиственицах	20
I33	ГУ-3	To же	To же	20
I42	ГУ-4	"	To же	20
I43	ГУ-4	"	To же	20
34	I-3	Осаредокское	Лентвандит, пирротин и халькопирит в пироксенитах массива Осаредок	21
32	I-3-4	Район горы Осаредок	Ореол никеля, кобальта, свинца и цинка вокруг габбро-пироксенит-перидотитового массива	21,21
I40	ГУ-4	р.Бол.Кандац	Линейный солевый ореол никеля, кобальта и хрома в зоне лиственитов с никелевым оруднением	20
77	II-4	Базыбайское	Мелкое золото в кварцевых прожилках среди гнейсов	21
4	I-1	р.Черная	Шлиховые ореолы	92
I7	I-2-3	Истоки р.Табрат	Знаки золота и шеелита (до 70 знаков), касситерита, халькопирита и молибдита	18

1	2	3	4	5
II-Г	Ш-ГУ-4	р.Табрат	Редкие знаки золота	18,20
		Ключ Малиновый	По же	20
		р.Ниж.Мамрага	"	21
		To же	Знаки золота, шеелита и хромита	21
		r.Верх.Мамрага	To же	21
		Вольфрам	Шлиховые ореолы	
		Левые безымянные притоки р.Табрат	Знаки шеелита, киновари, золота, циркона	21
		r.Канакский Таят	Знаки шеелита, циркона	21
		r.Сухой Базыбай	Знаки шеелита, хромита, пирита, гематита, мартина, лимонита	21
		r.Березовая	Шеелит до 10 знаков. Знаки золота, пирита, циркона, сбера, апатита	20
		реки Рыбная и Каменушка	To же	20
		Район озер Нижних Триадах	Локальный ореол шеелита до 35 знаков, пироклорит-13 знаков, граната в отдельных шлихах до половины, что указывает на близость скарновой зоны. Здесь же образцы с повышенной радиоактивностью	21
			Знаки шеелита, золота, пирита, молибденита	20
		Правые притоки р.Мал.Кандаца	Шеелит до 50 знаков, корунд, хромит, апатит, магнетит, ильменит	20
		r.Торчик	Знаки шеелита, пирита	136

1	2	3	4	5
134	Ш-ЛУ-З-4	Реки Бол.Канат и Таррак	Шеелит повсеместно от первых знаков, в отдельных точках до 30-55 знаков: золота, хромита, корунда, киновари и молибденита. Повышенное содержание пирита, барита, магнетита (до 2 кг/м ³), титано-магнетита, лимонита и граната	20
146	ЛУ-З-	Истоки р.Систиг-Хэм	Четкий ореол шеелита с содержанием от первых до 150-170 знаков. Встречены знаки золота, хромита, корунда, турумелина молибдена	2,20
101	Ш-Э	Багринское	Кварцево-молибденитовые жилы и штокверковые тела в гранитомицкх хребта Шандын. Зона имеет размеры 150м х 3,0км	20
16	Ш-Э	Березовское	Сланцы кварцевых жил с молибденитом	20
96	Ш-Э	Ключ Золотой	Сланцы кварцевых жил с молибденитом, галенитом и халькопиритом	20
90	Ш-Э-4	Вершина р.Березовой	Сланцы кварцевых жил и гравийнизованные гравититы с молибденитом	20
98	Ш-ЛУ-З	Водораздел рек Багры и Мал.Канат	Соловой ореол молибдена, сланца, цинка и циркония Соловой ореол молибдена, мышьяка, цинка, меди, кония	20

1	2	3	4	5
		Бериллий		
54	П-1	Сухой лог (Флоритовая)	Редкие земли в эндо- и экзоконтактах массива рибокитовых гранитов	19,20
57	П-1	Окунёвское	То же	23,13
		Редкие земли	Шлиховые и соляевые ореолы	20
55	П-Ш-1	Район Окунёвской зоны	Соляной ореол лантана, церия, иттрия, итербия, свинца и цинка	19,21
89	Ш-2-3	Истоки р.Правой Бары	Небольшой ореол с редкими знаками тантало-ниобатов	20
94	Ш-Э	р.Левый Чёт	Бурый циркон	20
95	Ш-2-3	Ключ Золотой	То же	20
93	Ш-Э	Левый приток р.Чёт	Монацит и циркон	20
110	Ш-4	р.Попарёшка	То же	
147	ГУ-4	р.Айна, в истоках Барий	"	
106	Ш-ЛУ-З	Вершина р.Мал.Канат	Шлиховой ореол с баритом и пиритом	20
132	Ш-ЛУ-З	р.Мал.Канат	Шлиховой ореол барита с пиритом	20
		Керамическое сырье		
120	ГУ-1	Верхне-Марголинское	Андалузит, силлиманит и корунд в окварцованных порфирах имирской свиты	10
122	ГУ-1	Нижне-Марголинское	То же	21

С О Д Е Р Ж А Н И Е

	Стр.
Введение	3
Стратиграфия	6
Интрузивные образования	31
Тектоника	57
Геоморфология	65
Полезные ископаемые	68
Полезные воды	84
Литература	87
Приложения	90

В брошюре пролуксировано 108 стр.

Редактор И.А. Санжар
Технический редактор П.С. Левинан

Сдано в печать 9/XI 1972 г. Подписано к печати 19/II 1973 г.
Тираж 150 экз. Формат 60х90/16 Печ.л. 6,75 Заказ 372c

Копировально-картоографическое предприятие
Всесоюзного геологического фонда

1